Федеральное государственное бюджетное образовательное учреждение высшего образования

«Алтайский государственный медицинский университет» Министерства здравоохранения Российской Федерации

На правах рукописи

БОРОВКОВ

Владимир Анатольевич

ПОЭТАПНОЕ ПРОГНОЗИРОВАНИЕ ВРАСТАНИЯ ПЛАЦЕНТЫ У ЖЕНЩИН С РУБЦОМ НА МАТКЕ

14.01.01 – акушерство и гинекология

ДИССЕРТАЦИЯ

на соискание ученой степени кандидата медицинских наук

Научный руководитель:

Игитова Марина Борисовна

доктор медицинских наук, доцент

ОГЛАВЛЕНИЕ

ВВЕДЕНИЕ	4
Глава 1 СОВРЕМЕННЫЕ ПРЕДСТАВЛЕНИЯ О ВОЗМОЖНОСТЯХ	
ПРОГНОЗИРОВАНИЯ ВРАСТАНИЯ ПЛАЦЕНТЫ, ДИАГНОСТИКЕ	
И ОРГАНОСОХРАНЯЮЩЕЙ ТАКТИКЕ (ОБЗОР ЛИТЕРАТУРЫ)	15
1.1 Эпидемиология, факторы риска и патогенез врастания плаценты	15
1.2 Диагностика врастания плаценты визуализирующими методами	20
1.3 Возможности прогнозирования врастания плаценты	
с использованием биохимических маркеров	23
1.4 Родоразрешение беременных с врастанием плаценты	28
1.5 Резюме	31
Глава 2 МАТЕРИАЛ И МЕТОДЫ ИССЛЕДОВАНИЯ	33
2.1 Клиническая характеристика обследованных женщин	38
2.1.1 Клинико-анамнестическая характеристика пациенток	
I и II групп	38
2.1.2 Клинико-анамнестическая характеристика женщин	
III, IV и V групп	44
2.2 Методы клинических, инструментальных	
и лабораторных исследований	50
2.2.1 Анализ медицинской документации	
и методы клинического обследования	50
2.2.2 Инструментальные методы исследования	51
2.2.3 Морфологическое исследование	52
2.2.4 Лабораторные методы исследования	53
2.3 Статистическая обработка результатов	55

Глава 3 ПРОГНОЗИРОВАНИЕ И ДИАГНОСТИКА	
ВРАСТАНИЯ ПЛАЦЕНТЫ У ЖЕНЩИН С РУБЦОМ НА МАТКЕ 5	57
3.1 Клинико-анамнестические факторы риска врастания плаценты	
у беременных с рубцом на матке	57
3.2 Сывороточные концентрации специфических белков	
беременности у женщин с рубцом на матке	
и врастанием плаценты	59
3.3 Результаты ультразвуковой диагностики у женщин	
с рубцом на матке и врастанием плаценты	64
3.4 Составление прогноза врастания плаценты у беременных	
с рубцом на матке	70
3.5 Результаты оценки риска врастания плаценты	
и ультразвуковой диагностики у женщин с рубцом на матке	
(проспективное исследование)	76
3.6 Результаты исследования сывороточных концентраций	
альфа-фетопротеина и фактора роста плаценты у беременных	
с врастанием плаценты (проспективное исследование)	80
Глава 4 АКУШЕРСКИЕ И ПЕРИНАТАЛЬНЫЕ ИСХОДЫ У ЖЕНЩИН	
С РУБЦОМ НА МАТКЕ И ВРАСТАНИЕМ ПЛАЦЕНТЫ	87
4.1 Особенности течения беременности и сроки родоразрешения	
женщин с врастанием плаценты	87
4.2 Родоразрешение женщин с врастанием плаценты	92
4.3 Перинатальные исходы у женщин с врастанием плаценты	11
ЗАКЛЮЧЕНИЕ	15
ВЫВОДЫ	28
ПРАКТИЧЕСКИЕ РЕКОМЕНДАЦИИ	30
СПИСОК СОКРАЩЕНИЙ И УСЛОВНЫХ ОБОЗНАЧЕНИЙ	31
СПИСОК ЛИТЕРАТУРЫ13	33

ВВЕДЕНИЕ

Актуальность темы исследования

Одной из актуальных проблем акушерства в настоящее время является проблема ведения беременности у женщин с рубцом на матке после кесарева сечения, частота которого в РФ достигла в 2017 году 29,3% [20, 45]. Неминуемым следствием высокой частоты оперативного родоразрешения является увеличение распространенности патологической плацентации и врастания плаценты у беременных с рубцом на матке [114]. В настоящее время аномалии прикрепления плаценты встречаются с частотой 2-6‰, сочетаются с её предлежанием в 75-90% случаев и повышают риск материнской летальности и количество случаев критических акушерских состояний («Near miss») вследствие профузного кровотечения с массивной кровопотерей [7, 8, 12, 15, 41, 125, 137].

Женщины с врастанием плаценты находятся в группе высокого риска не только по массивным акушерским кровотечениям, но и разрыву матки, травме мочевого пузыря или мочеточников [51, 77, 166]. Кроме того, в современном патология является ведущей причиной акушерстве данная выполнения гистерэктомий. Масштабное исследование показаний для удаления (18 838 родов) в двух временных отрезках (2004-2010 гг. и 2011-2014 гг.) выявило как общее увеличение частоты акушерских гистерэктомий (с 0,8% до 1,5%), так и возрастание их количества по поводу врастания плаценты (с 20,0% до 77,8%) [73]. В то же время, сохранение матки в процессе оперативных родов возможно посредством выполнения метропластики при условии использования технологий, обеспечивающих минимизацию кровопотери [31, 42, 44, 126, 132, 185], однако, данный подход к родоразрешению возможен только при условии точной верификации врастания плаценты на антенатальном этапе. Золотым стандартом диагностики является УЗИ с использованием режима ЦДК, но многие ультразвуковые критерии имеют неоднозначную оценку [31, 90, 93, 130, 156] более 20% случаев и в настоящее время данного осложнения остаются не выявленными до момента родоразрешения [15, 79]. Поэтому важное значение приобретает изучение возможностей прогнозирования и ранней диагностики врастания плаценты, что может способствовать антенатальной верификации патологической инвазии, своевременной госпитализации пациентки в стационар III уровня для проведения предоперационной подготовки и выбора оптимальной технологии оперативного родоразрешения.

Степень разработанности темы исследования

Еще в 1985 году S.L. Clak et al. представили данные об ассоциированности врастания плаценты не только с ее предлежанием, но и с наличием абдоминальных родов в анамнезе, причем авторы отметили увеличение вероятности врастания плаценты с 24% при наличии одного рубца на матке до 67% при наличии 4-х и более рубцов [88]. Первые публикации по вопросу прогнозирования врастания плаценты путем оценки факторов риска появились в 90-х годах XX века [168]. На сегодняшний день имеются многочисленные научные работы, указывающие на основные факторы риска врастания плаценты – рубец на матке после кесарева сечения и предлежание плаценты, причем большинство исследователей отмечает возрастание риска по мере увеличения числа абдоминальных родов в анамнезе [99, 100, 119, 120, 140, 183]. Ряд авторов подчеркивает значение и других клиникоанамнестических предикторов [75, 111], но все исследования ограничиваются оценкой отдельных факторов риска. Возрастающее количество пациенток с предшествующим кесаревым сечением диктует целесообразность оценки не только клинико-анамнестических данных для формирования стратегии риска, особенно при выявлении формирования плаценты в проекции рубца по данным первого ультразвукового скрининг-обследования. В связи с ограниченной прогностической эффективностью монофакторных предикторов и недостаточной диагностической информативностью визуализирующих методов в первой половине беременности [11, 31], для повышения точности прогноза врастания плаценты оправданным является использование многофакторного подхода с учетом комплексной оценки

ряда клинико-анамнестических и лабораторных критериев. В настоящее время очевидна необходимость верификации биохимических предикторов аномальной инвазии, основанных на изучении патогенеза данного осложнения. Имеющиеся научные работы, посвященные биохимическому тестированию беременных на ранних этапах гестации, ограничивались небольшой выборкой пациенток с врастанием плаценты, а полученные данные демонстрируют противоречивые [82, 101, 106, 118, 146, 161, 165]. Более точные способы результаты прогнозирования посредством определения маркеров патологической плацентации (матриксных металлопротеиназ MMP-2, MMP-9 и их ингибиторов TIMP-1, TIMP-2) предполагают обследование женщин только во второй половине беременности [50]. Среди дополнительных лабораторных предикторов врастания плаценты рассматриваются определение сывороточного уровня креатинкиназы, внеклеточной плодовой ДНК и м-РНК человеческого плацентарного лактогена [10, 96, 146, 165], однако, подобное тестирование имеет сугубо научное значение и не используется в клинической практике. Обзор современной отечественной и зарубежной об литературы позволяет сделать вывод отсутствии высокоинформативных и доступных способов прогнозирования врастания плаценты с ранних сроков гестации, что послужило поводом для проведения данной работы.

Цель исследования

Повышение эффективности прогнозирования врастания плаценты у беременных с рубцом на матке после кесарева сечения на основе комплексного подхода к формированию группы риска и разработки алгоритма акушерского мониторинга.

Задачи исследования

1. Определить факторы риска врастания плаценты у женщин с рубцом на матке на основании клинико-анамнестических данных, результатов ультразвукового

- и биохимического скрининг-обследования беременных в I начале II триместров гестации.
- 2. С помощью математического моделирования разработать шкалу прогноза врастания плаценты у женщин с рубцом на матке и оценить ее эффективность.
- 3. Изучить клиническую информативность определения альфа-фетопротеина и фактора роста плаценты для прогнозирования аномальной инвазии плаценты у пациенток рубцом на матке после кесарева сечения.
- 4. Оценить взаимосвязь между уровнем специфических белков беременности и морфологическими вариантами врастания плаценты.
- 5. Разработать алгоритм акушерского мониторинга женщин с рубцом на матке после кесарева сечения для поэтапной оценки риска врастания плаценты.

Научная новизна исследования

Выявлены значимые факторы риска врастания плаценты при рубце на матке на основании анализа клинико-анамнестических данных и результатов лабораторных методов исследования плацентарного гомеостаза с ранних сроков беременности. Показана высокая прогностическая информативность определения сыворочных концентраций ассоциированного с беременностью плазменного протеина А и альфа-фетопротеина для оценки риска врастания плаценты у женщин с рубцом на матке после кесарева сечения.

Расширены представления о патогенезе врастания плаценты на основании изучения проангиогенного фактора роста и биохимических маркеров формирования и функционирования плаценты.

Предложена методика прогнозирования врастания плаценты у беременных с рубцом на матке на основании многофакторного анализа клинико-анамнестических данных, дополненных ультразвуковыми и лабораторными предикторами с помощью математического моделирования.

Впервые разработана шкала прогноза врастания плаценты, позволяющая с чувствительностью 82,7% и специфичностью 99,3% прогнозировать риск данного осложнения у беременных с рубцом на матке.

Теоретическая и практическая значимость исследования

Доказана высокая значимость клинико-анамнестических критериев, совокупность которых позволяет прогнозировать риск врастания плаценты у беременных с рубцом на матке после кесарева сечения в ранние сроки беременности.

Результативно использованы определяемые в рамках стандартной скринингпрограммы диспансеризации показатели специфических белков беременности (РАРР-А, АФП и ХГЧ), установлено их прогностическое значение на основании определения диагностических пороговых показателей. Установлена информативность определения сыворочной концентрации альфа-фетопротеина в сроки гестации 20-25 недель для повышения точности прогноза врастания плаценты.

В соответствии со шкалой прогноза врастания плаценты разработан алгоритм последовательного мониторинга беременных с рубцом на матке и высоким риском врастания плаценты.

Методология и методы исследования

Научно-исследовательская работа выполнена в период с 2018 по 2020 гг. на кафедре акушерства c И гинекологии курсом дополнительного профессионального образования Федерального государственного бюджетного образовательного учреждения высшего образования «Алтайский государственный медицинский университет» Министерства здравоохранения РФ (зав. кафедрой – д.м.н., доцент Ремнева О.В.). Клинические наблюдения и сбор материала выполнены на клинической базе кафедры – в КГБУЗ «Алтайский краевой клинический центр охраны материнства и детства. Перинатальный центр» (главный врач – к.м.н. Смирнов К.В.).

Для решения поставленных в исследовании задач работа проводилась в два этапа. Дизайн исследования представлен на рисунке 1.

ПАТЕ І

Ретроспективное аналитическое исследование.

Сравнительный анализ клинико-анамнестических данных и уровня специфических белков беременности у пациенток с рубцом на матке и врастанием плаценты (**I группа**, n=75) и у женщин с рубцом на матке без аномалий прикрепления плаценты (**II группа**, n=150)



ПАТЕП

Проспективное когортное исследование.

Оценка уровня фактора роста плаценты и альфа-фетопротеина в динамике гестации у 120 пациенток с рубцом на матке.

III группа – 23 пациентки с врастанием плаценты.

IV группа — 60 женщин с формированием плаценты в проекции рубца по результатам первого скрининг-УЗИ без аномалий прикрепления плаценты.

V группа — 37 беременных без аномалий локализации и прикрепления плаценты



Оценка факторов риска и предикторов врастания

плаценты у беременных с рубцом на матке. Ретроспективное исследование «случай — контроль».

Однофакторный анализ: OR, 95% CI, ROC-анализ



Многофакторный анализ:

Множественная логистическая регрессия



Оценочно-прогностическая шкала

риска врастания плаценты у пациенток с рубцом на матке



Разработка алгоритма

поэтапного прогнозирования и диагностики врастания плаценты у беременных с рубцом на матке На первом этапе работы (2012-2017 гг.) выполнена верификация клиникоанамнестических факторов риска врастания плаценты и проведена оценка клинической информативности биохимических предикторов данного осложнения у беременных с рубцом на матке после кесарева сечения (I группа, n=75). Группа была сформирована методом целенаправленной выборки, у всех пациенток врастание плаценты было подтверждено методом гистологического исследования: placenta accreta выявлена у 29 женщин, placenta increta – у 44 и placenta percreta – у двух пациенток.

Оценка клинико-анамнестических факторов риска врастания плаценты была выполнена на основании сравнения с показателями 150 женщин с рубцом на матке после кесарева сечения без аномалий прикрепления плаценты (II группа). Все пациентки были обследованы согласно нормативным документам Минздрава России (приказ № 572н) и Алтайского края (приказ № 166 и приказ № 579) [55, 58, 59].

В соответствии с задачами работы, по результатам первого этапа исследования выполнено определение отношения шансов врастания плаценты с помощью однофакторного анализа, по результатам которого был проведен многофакторный логистический регрессионный анализ с включением всех потенциальных факторов риска, установленных при проведении однофакторного анализа. Конечной точкой данного этапа исследования явилось составление оценочно-прогностической шкалы риска врастания плаценты у пациенток с рубцом на матке после кесарева сечения.

На втором этапе работы (2018-2020 гг.) выполнена оценка уровня фактора роста плаценты и альфа-фетопротеина в динамике гестации у 120 пациенток с рубцом на матке после кесарева сечения, в том числе у 83 женщин с формированием плаценты в проекции рубца по результатам УЗИ в 12-14 недель гестации. У всех беременных выполнена оценка риска врастания плаценты по предложенной шкале. После завершения беременности из числа женщин, обследованных на втором этапе работы, были сформированы три группы: группа пациенток с гистологически верифицированным врастанием плаценты (Ш группа

— 23 женщины) и две группы сравнения: IV группа — 60 беременных с формированием плаценты в проекции рубца по результатам УЗИ в 12-14 недель гестации без аномалий прикрепления плаценты; V группа — 37 беременных без аномалий локализации и прикрепления плаценты. После анализа результатов обследования и родоразрешения женщин III, IV и V групп был разработан алгоритм поэтапного прогнозирования и диагностики врастания плаценты.

Основные положения, выносимые на защиту:

- Врастание плаценты у беременных с рубцом на матке является мультифакторным осложнением гестации, риск которого сопряжен в равной мере с неоднократными эпизодами предшествующего абдоминального родоразрешения и факторами отягощенного акушерско-гинекологического анамнеза.
- 2. Оценочно-прогностическая составленная шкала, \mathbf{c} учетом клиникоанамнестических факторов и специфичных для гестационного процесса биохимических маркеров, позволяет прогнозировать риск врастания плаценты беременных с рубцом на матке c чувствительностью 82,7% специфичностью 99,3%.
- 3. Более точное формирование группы риска врастания плаценты возможно посредством определения сывороточной концентрации альфа-фетопротеина во втором триместре беременности, показатели которой находятся в прямой корреляционной зависимости с экспрессией фактора роста плаценты и ассоциированы с глубиной инвазии плаценты по данным гистологического исследования.

Степень достоверности результатов исследования

Достоверность полученных результатов, обоснованность выводов практических рекомендаций определялась большим количеством единиц наблюдения и достигнута посредством использования современных методов обработки цифрового математической материала c помощью пакета

статистического программного обеспечения MedCalc Version 18.2.1 (лицензия Z2367-F3DD4-83E2E8-A6963-ED902). Характер распределения количественных Шапиро-Уилка (W-тест). Корреляцию признаков определяли методом количественных показателей оценивали с использованием коэффициента ранговой корреляции (r) Spearman. Для оценки достоверности различий в распределении качественных показателей дополнительно вычислялся критерий согласия χ^2 . При оценке факторов риска врастания плаценты эффект воздействия фактора оценивался по величине отношения шансов каждого относительного риска (RR). Моделирование вероятности врастания плаценты осуществлялось методом логистической регрессии с включением потенциальных ранжирование проводилось предикторов, a ИХ ПО стандартизированным коэффициентам регрессии В. Для определения пороговых значений концентраций специфических белков беременности оценивали чувствительность специфичность посредством ROC-анализа. Критический уровень значимости различий определен как ≤0,05.

Личный вклад автора

Автор принимал непосредственное участие в постановке цели и задач, разработке дизайна исследования, систематизации литературных данных по теме диссертации. Автор лично принимал участие в качестве хирурга в большинстве операций (более 90%), осуществлял забор и подготовку тканей, полученных в ходе операции кесарева сечения (послед с резицированной стенкой матки в области врастания плаценты), а так же удаленные ткани в случаях проведения гистерэктомии, участвовал в подготовке проб для определения сывороточных концентраций альфа-фетопротеина и фактора роста плаценты. Диссертантом проведен анализ медицинской документации, статистическая обработка данных и научное обобщение полученных результатов. Непосредственное участие автора в получении исходных данных, их обработке и интерпретации – более 90%; участие в обобщении, анализе и внедрении в практику результатов работы, подготовка

основных публикаций по выполненной работе – 100%. Все представленные в работе выводы и положения получены лично автором.

Внедрение в практику и апробация результатов исследования

Основные положения и рекомендации для практического здравоохранения апробированы и внедрены в клиническую практику женских консультаций и акушерских стационаров КГБУЗ «Родильный дом № 1, г. Барнаул», КГБУЗ «Городская клиническая больница № 11, г. Барнаул» и КГБУЗ «Алтайский краевой клинический центр охраны материнства и детства. Перинатальный центр». Результаты работы используются при проведении сертификационных циклов и в программах НМО для врачей, находят отражение в лекциях и на практических занятиях со студентами, а также на семинарах и конференциях с клиническими ординаторами акушерами-гинекологами, проводимых на кафедре акушерства и гинекологии с курсом ДПО ФГБОУ ВО АГМУ Минздрава России.

Материалы диссертации доложены и обсуждены на Международном форуме по здоровью материнства и младенчества Центрально-азиатского региона «Шелковый путь», Китай, (г. Урумчи, 2016); Всероссийской конференции акушеров-гинекологов с международным участием «60 лет на страже здоровья матери и ребенка», посвященной 60-летию кафедры акушерства и гинекологии АГМУ (Барнаул, 2017); II международной конференции «Гемостаз, тромбоз и междисциплинарный (Санкт-Петербург, 2018); репродукция: подход» XXIII Международной научно-практической конференции «Доказанное сомнительное в акушерстве и гинекологии» (Кемерово, 2019); краевой научнопрактической конференции «Итоги работы акушерско-гинекологической службы Алтайского края за 2019 год и задачи на 2020 год» (Барнаул, 2020).

Публикации по теме диссертации

По материалам диссертации опубликовано 9 работ, из них 4 – в рецензируемых журналах из списка ВАК РФ.

Структура и объем диссертации

Диссертация изложена на 156 страницах машинописного текста и состоит из введения, четырех глав, заключения, выводов, практических рекомендаций, списка сокращений и списка литературы. Работа иллюстрирована 23 рисунками и 31 таблицей. Список литературы состоит из 190 источников (71 отечественных и 119 иностранных).

Глава 1

СОВРЕМЕННЫЕ ПРЕДСТАВЛЕНИЯ О ВОЗМОЖНОСТЯХ ПРОГНОЗИРОВАНИЯ ВРАСТАНИЯ ПЛАЦЕНТЫ, ДИАГНОСТИКЕ И ОРГАНОСОХРАНЯЮЩЕЙ ТАКТИКЕ (ОБЗОР ЛИТЕРАТУРЫ)

1.1 Эпидемиология, факторы риска и патогенез врастания плаценты

Врастание плаценты впервые было описано в 1937 году С. Irving and А.Т. Hertig как «невозможность отделить плаценту от стенки матки после рождения плода» и на протяжении многих десятилетий считалось крайне редким патологическим состоянием [113]. В последние годы регистрируется многократное увеличение числа случаев врастания плаценты, которое в 75-90% наблюдений сочетается с ее предлежанием [81, 131, 137, 147, 159]. По мнению многих авторов, атипичные плацентации стали всемирной «эпидемией» ятрогенного характера, поскольку напрямую сопряжены с неуклонным ростом количества предыдущих кесаревых сечений и других внутриматочных вмешательств [13, 37, 88, 114, 115, 125]. К аномальному прикреплению плаценты относят плотное прикрепление (placenta adhaerens) и врастание плаценты. Структурные особенности различных разновидностей врастания (placenta accreta, increta, percreta) в практическом акушерстве объединяются термином «placenta creta» [8, 124, 152]. Согласно наблюдениям H.S. Wong al. (2008),наиболее et распространенной морфологической формой врастания плаценты является placenta accreta, которая встречается в 75% случаев и характеризуется проникновением ворсин трофобласта до мышечного слоя матки. Placenta increta, или погружение элементов плаценты в миометрий, регистрируется в 18% случаев [102]. И только у 7% беременных с врастанием при гистологическом исследовании верифицируется placenta percreta, характерной особенностью которой является инвазия ворсин, доходящая до серозного слоя и/или соседних органов [102]. Дифференцировать различные

виды врастания плаценты основании макроскопического даже на гистологического исследования довольно сложно, однако независимо ОТ морфологического варианта placenta creta может являться причиной акушерских осложнений, ассоциированных c материнской летальностью вследствие профузного кровотечения с массивной кровопотерей [8].

В течение последних десятилетий практически во всех странах мира отмечалось значительное увеличение частоты абдоминального родоразрешения [20]. А.Р. Веtran et al. (2016) проанализировали показатели 121 страны и установили, что в период с 1990 по 2014 год глобальный средний уровень кесарева сечения вырос на 12,4% (с 6,7% до 19,1%) со среднегодовым темпом роста на 4,4% [178]. В нашей стране частота кесарева сечения также имела неуклонную тенденцию к росту и в 2017 году достигла 29,3% [45].

По мировой статистики, распространенность placenta данным увеличивалась пропорционально мировой тенденции роста частоты кесарева сечения и за последние 50 лет возросла более чем в 170 раз [10, 61, 117, 119, 125, 137, 173]. Многие авторы сообщают, что если в 1970-х годах врастание плаценты встречалось в одном случае на 4 027 беременностей, то в 2002 году данное на 500-2500 осложнение регистрировалось уже в одном случае [123, 158, 190]. Исследования Т. Angstmann et al., опубликованные в 2010 году, констатировали, что различные варианты врастания наблюдаются в одном случае на 2500-7000 родов и составили прогноз вероятности их роста в будущем до одного случая на 533-2500 родов [174]. Многоцентровое рандомизированное исследование, проведенное в скандинавских странах с 2009 по 2012 гг., подтвердило данную тенденцию и показало, что средняя частота врастания плаценты составляет 3,4 на 10 000 родов [79].

Сопряженность увеличения числа случаев врастания плаценты с неуклонным ростом количества кесаревых сечений подтверждается многими исследователями: отмечено, что в странах с высоким уровнем абдоминального родоразрешения частота данного осложнения имеет наиболее высокие значения [61, 117, 119, 125, 137, 173]. По мнению большинства исследователей, наиболее

важным фактором риска врастания плаценты является количество предыдущих кесаревых сечений [71, 99, 120, 149, 183]. С. R. Warshak et al. (2010) представили данные, что одно кесарево сечение в анамнезе увеличивает риск врастания плаценты в семь раз, а три и более – в 56 раз [99]. Ряд исследований констатирует, что риск врастания плаценты при одном кесаревом сечении составляет 11-24% и увеличивается до 67% после четырех и более перенесенных операций [71, 183]. В работе R.M. Silver et al. (2006) убедительно показано, что у пациенток с шестью случаями предшествующих абдоминальных родов отношение шансов врастания плаценты увеличивается в 30 раз в сравнении с женщинами после однократного кесарева сечения [119].

Вместе с тем, в доступной литературе встречаются работы, подвергающие сомнению исключительную роль предшествующего кесарева сечения в формировании врастания плаценты. В 2019 году В.Б. Цхай и соавт. представили два клинических наблюдения врастания плаценты во внутренний зев шейки матки у беременных с предлежанием плаценты, не имеющих рубца на матке [51]. Некоторые авторы указывают на низкую частоту предыдущего абдоминального родоразрешения у пациенток с врастанием плаценты, составляющую 12-16% [75, 147].

случаев врастания плаценты также указывает, ЧТО Анализ данное осложнение часто сочетается не только с наличием рубца на матке, но и с предлежанием плаценты [31, 100, 119, 137]. В работе К.Е. Fitzpatrick et al. (2012) в 62% наблюдений имеет место сочетание отмечено, что [1111].Многоцентровое патологических факторов рандомизированное исследование, опубликованное в 2016 году, позволяет сделать заключение, что предлежание плаценты является самым важным фактором риска: об этом сообщалось в 49% всех случаев врастания плаценты [79]. А по мнению И.В. Бариновой и соавт. (2018), локализация плаценты в области рубца на матке в большинстве случаев сопровождается патологией ее прикрепления [8].

Таким образом, доминирующими факторами риска врастания плаценты в настоящее время считаются перенесенные ранее операции кесарева сечения

и предлежание плаценты, хотя сведения о вероятности их сочетания противоречивы, а частота, по данным разных авторов, колеблется в диапазоне от 4% до 100% [31, 140, 147].

К дополнительным факторам риска врастания плаценты многие исследователи относят «болезни оперированной матки», под которыми понимают любые вмешательства, нарушающие гистоархитектонику ее стенок (кюретаж, миомэктомия, гистероскопия, аблация эндометрия и др.) [39, 120, 138, 166]. В работе C.R. Warshak et al. (2010) показано, что послеродовое кровотечение в анамнезе увеличивает частоту врастания плаценты в 6 раз [99]. В публикации Л.Д. Белоцерковцевой и соавт. (2017) риск врастания плаценты ассоциируется с высоким акушерским паритетом, осложнениями послеродового периода, наличием гинекологических инфекционно-воспалительных заболеваний в анамнезе [61]. Ряд исследователей указывают на прямую зависимость между риском врастания плаценты и возрастом женщины старше 35 лет, а также курением [71, 110, 123, 144, 150, 165, 183, 190]. Однако не все исследования подтверждают значение данных факторов риска [111]. Отдельными авторами констатируется, что среди пациенток врастанием плаценты встречаются первобеременные отсутствием внутриматочных вмешательств в анамнезе [12, 143].

Несмотря на существующие противоречия, большинство исследователей сходятся во мнении, что первостепенное значение в процессе патологической инвазии трофобласта принадлежит материнским факторам, ассоциированным с эндометрия, развившейся неполноценностью В результате различных повреждений, механических воспалительных изменений расстройств микроциркуляции [85, 116, 175, 189]. Наличие морфологического дефекта децидуальной оболочки матки способствует нарушению регуляторных процессов роста и торможения, избыточному гравидарному ангиогенезу сосудов матки и существенно искажает процессы инвазии, пролиферации и миграции трофобласта [87, 92, 141, 145, 175]. В литературе подробно описаны такие макрои микроскопические изменения, характерные для данного патологического состояния, как аномальная маточно-плацентарная васкуляризация в месте

врастания плаценты и бесконтрольная инфильтрация ворсинами хориона, выходящая за границы зоны Нитабуха [28, 92, 135, 145].

Вышеизложенная патогенетическая концепция подтверждается многочисленными клиническими исследованиями. По мнению А.П. Милованова (2017),основной И соавт. причиной врастания плаценты являются предсуществующие дефекты заживления операционной раны и избыточная рубцовая ткань в области кесаревых сечений [37]. В работе Р. Tantbirojn et al. (2008) также указывается, что инвазия трофобласта с беспрепятственным прорастанием в глубокие слои миометрия происходит за счет дегенерации межклеточного матрикса рубцовой ткани [175]. И.В. Баринова и соавт. (2018) считают, что морфологическим субстратом placenta creta может служить изменение соотношения нормальных гистологических компонентов в виде отсутствия или истончения децидуальной оболочки и ее фиброзных изменений [8]. Исследования А.П. Милованова и соавт. (2009), T. Hannon et al. (2012), P. Tantbirojn et al. (2008) доказали, что в патогенезе врастания плаценты имеет место сочетание нескольких факторов, наиболее значимыми из которых являются деструктивное воздействие вневорсинчатого трофобласта на компоненты стенки матки вследствие отсутствия децидуальной пластинки, ограничивающей его инвазию, локализацию плацентарной ткани в зоне истонченного миометрия и расслоение рубца [38, 100, 175].

Таким образом, современный взгляд на патогенез врастания плаценты предполагает наличие патологических изменений как со стороны материнских губчатого децидуальной оболочки), (изменение слоя так плодовых (патологическая инвазия трофобласта) факторов, управляющих процессами Вместе имплантации И плацентации. c тем, наличие противоречий, встречающихся в многочисленных научных исследованиях, посвященных проблеме врастания плаценты, не позволяет сделать однозначное заключение о факторах риска и некоторых элементах патогенеза данного осложнения, что диктует необходимость дальнейших исследований в этой области.

1.2 Диагностика врастания плаценты визуализирующими методами

Поскольку врастание плаценты на дородовом этапе чаще всего не имеет приобретает клинических проявлений, большое значение антенатальная диагностика данного осложнения как метод профилактики материнской и перинатальной смертности. До внедрения в практику визуализирующих методов исследования (УЗИ, МРТ) патологию прикрепления плаценты обнаруживали только в III периоде естественных родов или в ходе оперативного родоразрешения. На сегодняшний день золотым стандартом диагностики врастания плаценты является УЗИ, проводимое трансабдоминальным или трансвагинальным доступом с обязательным использованием режима цветового допплеровского картирования (ШДК), что существенно уменьшает количество ложноположительных заключений [86, 89, 164, 168]. К ультразвуковым признакам врастания плаценты относят истончение (потерю) четкой гипоэхогенной границы между плацентой и миометрием, визуализацию элементов плаценты в зоне миометрия, наличие аномальных сосудистых лакун в субплацентарном пространстве и подлежащем миометрии, увеличение количества расширенных межворсинчатых деформацию контура передней стенки матки в виде «грыжевого» выпячивания и др. [30, 32, 105]. Кроме того, критериями врастания плаценты, выявляемыми при использовании режима ЦДК, считаются утеровезикальная и субплацентарная гиперваскуляризация, неправильные диффузным расширенные сосуды лакунарным потоком, наличие в области лакун миометрия артериального, венозного и смешанного кровотока с пиковой систолической скоростью более 15 см/с и низкой резистентностью [86, 89, 168].

При оценке диагностической значимости различных эхографических маркеров врастания плаценты О.А. Латышкевич (2015) установил, что у данного контингента беременных чаще всего (в 89,5%) определяется отсутствие гипоэхогенной ретроплацентарной зоны, которое в 86,5% наблюдений сочетается с наличием плацентарных сосудистых лакун [31].

Закономерно, что выраженность ультразвуковой симптоматики зависит от глубины локализации плаценты, инвазии И площади поражения. Так. А.А. Хасанов (2016) указывает на отсутствие эхографических признаков placenta accreta, поскольку в этом случае не происходит инвазии плацентарной ткани в миометрий и формирования сосудистых анастомозов [65]. Для повышения диагностической точности используются и другие методы, позволяющие более глубину трофобласта детально оценить инвазии И определить вовлеченности прилежащих частности, 3D-У3И органов, цветовым допплеровским картированием энергетическим И допплером (3D ColourPowerDopplerUS). Характерными диагностическими признаками врастания плаценты при использовании данного метода являются множественные расширенные когерентные сосуды на границе серозной оболочки и мочевого интраплацентарная базальной пузыря проекции, гиперваскуляризация, неразделимая котиледонная интервиллезная циркуляция, извитые сосуды с хаотичным разветвлением. По мнению А.В. Буштырева (2017), ультразвуковое исследование посредством объемной эхографии с допплерометрией является высокоинформативным методом диагностики врастания плаценты, а в качестве одного из наиболее значимых диагностических маркеров автор рассматривает индекс васкуляризации зоны рубца на матке, превышающий 50% [9]. Имеются указания на достоверное снижение периферического сосудистого сопротивления в бассейне обеих маточных артерий по результатам допплерометрии в 20-22 и в 35-36 недель гестации, а также на существенные различия показателей кровотока в артерии пуповины у беременных с предлежанием и врастанием плаценты в сравнении с таковыми при физиологической плацентации [21].

Ряд авторов в качестве наиболее информативного метода диагностики врастания плаценты рассматривает магнитно-резонансную томографию (МРТ), как без контрастирования, так и с применением контрастного вещества, поскольку данный метод обеспечивает хорошую визуализацию тканей и дает возможность получить изображение в нескольких плоскостях. В отечественной и зарубежной литературе последних лет опубликовано немало работ, в которых

активно обсуждается вопрос прогностической значимости различных методов диагностики врастания плаценты. По единодушному мнению исследователей, УЗИ и МРТ обладают сходными показателями диагностической ценности, чувствительности и специфичности [6, 154, 139, 155]. Так, О.А. Латышкевич 91 (2015)при ретроспективном анализе случая гистологически верифицированного врастания плаценты констатировал, что с помощью МРТ правильный диагноз на стадии антенатального обследования установлен у 81,3% пациенток, а у 18,7% из них исследование дало ложноотрицательный результат. этого, у 31% беременных группы сравнения результат МРТисследования оказался ложноположительным. Совпадение диагнозов врастания плаценты по данным УЗИ и МРТ зарегистрировано в 68,1% случаев. Точная антенатальная диагностика врастания плаценты при использовании обоих методов имела место у 88,7 % беременных, а в 11,3 % наблюдений оба метода не позволили установить верный диагноз [31]. На основании сравнительного анализа автор делает вывод, что оба метода (УЗИ и МРТ) обладают высокой чувствительностью и характеризуются хорошей прогностической значимостью положительного результата. Однако c зрения специфичности точки (т.е. способности безошибочно исключить диагноз) УЗИ значительно превосходит МРТ (96,3% против 20%) [31]. При прогнозировании степени инвазии плаценты методы УЗИ и МРТ также дали сопоставимый результат. Вместе с тем, при наличии placenta accreta диагностические возможности УЗИ были несколько выше, тогда как при более глубоком врастании (placenta increta, percreta) оба метода в равной мере обладали высокими показателями чувствительности [31].

Несмотря на повсеместное внедрение ультразвуковых скринингов и доступность МРТ, а также использование унифицированных описательных ультразвуковых критериев, некоторые исследователи отмечают, что от половины до двух третей случаев врастания плаценты остаются не выявленными до момента родоразрешения [105, 127, 179]. Представленный обзор свидетельствует, что абсолютно точных визуализирующих методов диагностики врастания плаценты в настоящее время не существует, а их диагностическая ценность проявляется

во второй половине беременности и достигает достоверных результатов только в третьем триместре.

На сегодняшний день не подвергается сомнению, что у каждой пациентки, особенно попадающей в группу риска (с наличием предлежания плаценты, одного и более рубца на матке, локализацией плаценты в области рубца), должен осуществляться целенаправленный диагностический поиск ультразвуковых признаков врастания плаценты в скрининговые сроки. Однако наличие недиагностированных традиционными методами случаев врастания диктует необходимость разработки и внедрения в широкую практику других маркеров данного осложнения, позволяющих прогнозировать вероятность врастания плаценты на начальных этапах диспансеризации беременных до появления клинических осложнений.

1.3 Возможности прогнозирования врастания плаценты с использованием биохимических маркеров

При физиологическом течении беременности процесс инвазии трофобласта, включающий в себя клеточную пролиферацию, миграцию и дифференциацию клеток, регулируется факторами роста и их рецепторами, гликопротеинами экстрацеллюлярного матрикса, цитокинами, интерферонами, гормонами, молекулами клеточной адгезии, факторами транскрипции [104, 128, 151]. Находясь под их строгим контролем и регуляцией, ворсины плаценты не проникают глубже базальной мембраны эндометрия и не соприкасаются с внутренним слоем мышечной оболочки матки. В норме инвазия цитотрофобласта происходит до тех пор, пока он не достигнет спиральных артерий, после чего изменяется дифференцировка и реакция его клеток, способствующая ремоделированию сосудов [80, 104, 109, 127, 136]. Клиническими проявлениями как недостаточной, так и избыточной инвазии трофобласта являются осложнения беременности,

которые до настоящего времени определяют высокий уровень материнской и заболеваемости и смертности перинатальной (преэклампсия, плацентарная дисфункция, врастание плаценты) [16, 25, 26, 52]. Протеолитическая активность клеток хориона регулируется функцией металлопротеиназ (ММР), вызывающих деградацию компонентов экстрацеллюлярного матрикса матки по ходу миграции ворсин, однако, предлагаемый способ прогнозирования врастания плаценты посредством определения матриксных металлопротеиназ (ММР-2, ММР-9) и их ингибиторов предполагает обследование женщин только во второй половине беременности [167]. По мнению ряда авторов, аномальный гравидарный рост маточных сосудов и избыточная инвазия трофобласта, происходящие на фоне трансформации децидуальной оболочки неполноценной матки, сопровождаться дисбалансом целого ряда биологически активных веществ и нарушением равновесия звеньев системы гемостаза, хотя не все публикации подтверждают роль активации пропротеолитического звена при врастании плаценты [28, 74, 87, 112, 163, 182, 186].

В качестве маркеров, позволяющих прогнозировать врастание плаценты (при отсутствии аномалий развития плода), в последние годы все чаще рассматриваются специфические белки плодово-плацентарного происхождения — α-фетопротеин (АФП) и β-хорионический гонадотропин (β-ХГЧ), поскольку доказано, что нарушение их экспрессии сопряжено с патологическим течением гестационного процесса [54, 60, 62, 82, 101, 146].

Альфа-фетопротеин гликопротеин, который впервые обнаружен в сыворотке крови эмбриона человека более 60 лет назад и в настоящее время является компонентом пренатального скрининга для выявления нарушений [69]. развития ребенка Однако молекула ΑФП содержит различные функциональные последовательности, что свидетельствует о широком спектре его биологической активности. По мнению ряда исследователей, изменение концентрации АФП гораздо чаще ассоциировано с различными вариантами патологического течения беременности, чем с аномалиями развития плода [5, 69, 148, 171].

С нашей точки зрения, особый интерес представляет ретроспективный анализ оценки биохимических предикторов с использованием многомерной логистической регрессии, проведенный у 316 женщин с полным предлежанием плаценты на базе больницы Zekai Tahir Burak (Анкара, Турция) в период с 2009 по 2015 годы [82]. При этом для прогнозирования врастания плаценты на основе результатов скрининг-тестирования все беременные были разделены на две группы. В первую группу вошли 204 женщины с предлежанием плаценты без ее врастания. Вторую группу составили 112 пациенток с врастанием плаценты, среди которых была выделена подгруппа, состоящая из 51 беременной с последующей гистерэктомией, проведенной процессе оперативного родоразрешения. Из анализа были исключены все факторы, которые могли оказать влияние на уровень специфических белков: ВПР плода, беременность BPT, многоплодие, наличие системных заболеваний, после употребление алкоголя. Результаты данного исследования показали, что уровень альфа-фетопротеина в материнской сыворотке, превышающий пороговое значение, (1,25 МоМ с чувствительностью 85,94% и специфичностью 71,43%, р=0,036) может являться независимым предиктором врастания плаценты, требующего гистерэктомии (OR=25,329, [95% CI: 1,487-43,143, p=0,025). Полученные результаты вполне согласуются с данными Т.Н. Hung et al. (1999), Y. Oyelese and J.C. Smulian (2006), констатирующими, что около половины (45%) беременных с врастанием плаценты имеют повышенный уровень АФП [131, 165]. А согласно наблюдениям Pooja Verma et al. (2016), только у одной из 15 пациенток с врастанием плаценты уровень АФП не превышал 2,5 МоМ [188].

Общепризнанным протектором ранних сроков беременности является хорионический гонадотропин — специфический гормон гестации, который появляется в крови и моче только при беременности и исчезает вскоре после ее завершения [54]. Уровень β-ХГЧ рассматривается в качестве маркера плацентации на основании его участия в дифференцировке цитотрофобласта и регуляции иммуносупрессии посредством блокирования фагоцитоза клеток цитотрофобласта [118, 184]. При сравнении уровня β-ХГЧ в первом триместре

беременности у женщин трех групп (при физиологической беременности, предлежании плаценты и ее врастании), О. Thompson et al. (2015) выявили снижение его количественных значений в последней группе [106]. Другие авторы, напротив, указывают на повышение экспрессии β-ХГЧ у женщин с предлежанием и врастанием плаценты [165].

Кроме того, немаловажную роль в процессе инвазии трофобласта играет плазменный беременностью протеин (PAPP-A), ассоциированный c продуцируемый формирующейся плацентой в период высокой активности инвазионного трофобласта [27, 67]. РАРР-А, не являясь специфическим белком беременности, относится к цинксодержащим металлопротеиназам, повышает инсулиноподобных факторов роста (IGF). IGFактивность расщепляя связывающий белок (IGFBP-4) и приводя, тем самым, к высвобождению биологически активного IGF-I [27, 67, 101]. В рутинной акушерской практике PAPP-A определение используется В качестве биохимического хромосомных аномалий, однако при отсутствии таковых низкий уровень данного ряде исследований ассоциируется с развитием преэклампсии и белка в формированием задержки роста плода [60, 107, 122, 153].

В доступной литературе встречаются публикации, предполагающие наличие корреляции между повышенным риском врастания плаценты и увеличением уровня PAPP-А в первом триместре беременности [106, 118, 161]. Так, N. Desai et al. (2014) при анализе 82 случаев предлежания плаценты, в 16 из которых имело место ее врастание, установили, что медиана показателя PAPP-А при наличии placenta increta была существенно выше, чем у женщин без данного осложнения и составила 1,68 и 0,98 МоМ (р=0,002) соответственно [101]. Данная тенденция подтверждается в работах D. Lyell et al. (2015), O. Thompson et al. (2015) и Efser Oztas and al. (2016) [82, 106, 118].

Среди дополнительных лабораторных предикторов врастания плаценты рассматривается определение сывороточного уровня креатинкиназы, внеклеточной плодовой ДНК и м-РНК человеческого плацентарного лактогена, причем тест на выявление последней показал высокую чувствительность

и оказался отрицательным в случаях ложноположительной диагностики по УЗИ [9, 96, 101, 169].

В настоящее время установлено, что в нормальном процессе инвазии трофобласта существенная роль принадлежит не только биохимическим маркерам, специфичным для гестационного процесса, но и проангиогенным факторам, частности, сосудисто-эндотелиальному (VEGF. $C \ni \Phi P$ В плацентарному факторам роста (PIGF, ФРП) [114, 181]. В отечественной и зарубежной литературе существует достаточно сведений, указывающих на то, что полноценное развитие плаценты зависит от взаимодействия сосудистых факторов роста (СЭФР, ФРП) и их рецепторов (рСЭФР-1, -2 и -3), которые при нормальном течении беременности контролируют выработку большого количества белков и гормонов клетками трофобласта [94, 95, 177, 187]. При этом гипоксия стимулирует пролиферацию экстравиллезного трофобласта и трансляцию мРНК VEGF, а нормоксия обладает ингибирующим эффектом [80, 160, 162, 181]. В то же время локальная ишемия в проекции рубца на матке может стимулировать миграцию бластоцисты в эту область за счет повышения экспрессии генов ряда регуляторных белков [80, 100, 114, 162].

Существует мнение, что растворимые изоформы рСЭФР-1, -2 могут регулировать биологическую активность ФРП и СЭФР, а, следовательно, принимать участие в патогенезе аномального прикрепления плаценты [103]. При исследовании гистологических образцов установлено, что у пациенток с врастанием плаценты имеет место повышение активности СЭФР на фоне уменьшения специфических рецепторов (рецептора-2 СЭФР, растворимого рецептора-2). Однако, выявленные изменения не рассматриваются авторами как специфичные для патологической плацентации, и, вероятнее всего, связаны с нарушением баланса между факторами, способствующими и препятствующими инвазии трофобласта, регулирующими глубину и степень нидации плодного яйца [16].

Несмотря на все возрастающий научный интерес, вопрос прогнозирования аномальной плацентации посредством определения биохимических маркеров

остается дискутабельным, поскольку имеющиеся на сегодняшний день исследования демонстрируют противоречивые результаты [82, 146].

Представленный обзор позволяет предположить, что определение уровней специфических белков беременности и проангиогенных факторов роста в первом и втором триместрах гестации может быть полезным для ранней идентификации группы беременных с высоким риском врастания плаценты.

1.4 Родоразрешение беременных с врастанием плаценты

В настоящее время не вызывает сомнений, что выделение группы риска И своевременная врастания плаценты антенатальная диагностика осложнения необходимы ДЛЯ выполнения целого ряда организационных мероприятий, позволяющих не только предотвратить материнскую летальность, но обеспечить органосохраняющую технику хирургического вмешательства, уменьшить продолжительность операции, снизить объем кровопотери, вероятность послеоперационных осложнений и длительность госпитализации. В отдельных отечественных публикациях высказывается мнение, что подобные операции должны быть доступны в любом стационаре РФ [49]. Однако большинство исследователей считают, что только заблаговременная госпитализация беременных с установленным или предполагаемым врастанием плаценты в акушерские стационары 3-го уровня, обеспеченные соответствующей материально-технической базой и кадровыми ресурсами, может гарантировать благоприятный исход для матери и плода. Оказание помощи подобным пациенткам представляет собой сложную задачу даже при плановом абдоминальном родоразрешении, наличии современных кровосберегающих технологий и опытной междисциплинарной команды специалистов, поскольку всегда сохраняется риск массивного кровотечения, и в ряде случаев клиническая ситуация не оставляют выбора в пользу органосберегающего родоразрешения [10, 84, 126].

Значение органосохраняющих операций в сравнении с акушерской гистерэктомией переоценить сложно, поскольку общий объем кровопотери в процессе выполнения гистерэктомии по поводу врастания плаценты в большинстве случаев превышает 3 000 мл [148]. По данным М.М. Chou (2015), величина кровопотери у пациенток с врастанием плаценты при гистерэктомии составляет 4445,7±996,48 мл (с диапазоном от 1 040 до 15 000 мл) [176].

По мнению многих авторов, сохранение органа в процессе оперативных родов возможно лишь в условиях существенного снижения объема кровопотери. Современная оперативная техника позволяет минимизировать кровопотерю посредством применения донного кесарева сечения и выполнения метропластики путем иссечения стенки матки в области врастания [43, 180, 185]. Для обеспечения данного объема операции в настоящее время используются как экстравазальные, так и эндоваскулярные способы гемостаза, позволяющие уменьшить приток артериальной крови к нижнему сегменту матки. В первом случае производится перевязка магистральных сосудов (маточных и внутренних артерий), подвздошных позволяющая изменить характер И направление кровотока, а также наложение компрессионных швов на область нижнего [12, 19, 132, 134]. Однако, в связи с наличием сегмента коллатерального кровоснабжения перешеечной области и нижнего сегмента матки, эффективность двусторонней перевязки маточных артерий не превышает 50%, а эффект от лигирования подвздошных сосудов и использования компрессионных швов достигается в 85-88% и 85-96% случаев соответственно [91, 97, 133]. При этом следует отметить, что наложение компрессионных швов на нижний сегмент матки доступно узкому кругу квалифицированных хирургов, так как требует вхождения в подбрюшинное пространство, глубокого отделения мочевого пузыря и имеет высокий процент осложнений [49, 66, 70].

К эндоваскулярным методам, применяемым с целью минимизации кровопотери, относятся такие рентген-интервенционные технологии, как катетеризация, баллонирование и эмболизация магистральных артерий [31, 42, 72, 78, 156]. Практический опыт показал, что гемостатический эффект

при использовании данных методов сопоставим с таковым при применении экстравазальных технологий и составляет от 86% до 91%. Вместе с тем, характерные для данной техники осложнения (тромбоз и повреждение сосудов, ишемизация нижних конечностей) диктуют необходимость поиска альтернативных методов гемостаза [76, 97, 133].

Отсутствие ожидаемого гемостатического эффекта от вышеописанных большинство особенностями методов исследователей связывают c кровоснабжения матки. При этом тело матки кровоснабжается за счет восходящей ветви маточной артерии и нисходящей яичниковой артерии, в то время как кровоснабжение нижнего сегмента, области перешейка и шейки осуществляется из нисходящей ветви маточной артерии, влагалищных, шеечных артерий, верхней пузырной и срамной артерий, между которыми существует широкая сеть мелких анастомозов [44, 133]. В работе В.Б. Цхая и соавт. (2015) убедительно показано, что использование технологий, позволяющих блокировать кровоток в области тела матки, не исключает высокой вероятности продолжения нижнесегментного кровотечения [48]. К эффективным методам остановки подобных видов кровотечения в настоящее время относят применение вагинального и маточного модулей баллонного катетера Жуковского, которые осуществляют компрессию коллатеральной сети сосудов малого таза и создают условия для выполнения органосохраняющих операций [44].

В последние годы широкое распространение в акушерской практике местные гемостатические препараты и системы возврата аутологичной крови [44]. Так, исследование С.В. Баринова и соавт. (2016) свидетельствует, **4TO** совместное применение двухбаллонного катетера Жуковского и местного гемостатика «Гемоблок» в сравнении с изолированным использованием баллонной тампонады матки позволяет снизить количество органоуносящих операций в 9,1 раза, объем кровопотери в 1,7 раза, число массивных кровопотерь (более 2000 мл) в 2,3 раза [45]. Кроме того, разрабатываются технологии ведения пациенток с послеродовым кровотечением, обусловленным врастанием плаценты, с использованием электрохирургической гистерорезектоскопии, позволяющей удалить патологический фрагмент плаценты и иссечь видоизмененную плацентарную площадку [1].

Таким образом, в литературе последних лет практически не дискутируется вопрос, касающийся объема оперативного вмешательства при врастании плаценты. Но при этом широко обсуждаются хирургические стратегии, позволяющие сохранять детородный орган с минимальными потерями для общего здоровья пациенток [12, 44, 65]. В то же время, на сегодняшний день не существует идеального метода хирургического гемостаза, способного полностью предотвратить массивную кровопотерю и гистерэктомию при аномальной инвазии плаценты.

1.5. Резюме

Поскольку врастание плаценты относится к числу акушерских осложнений, потенциально опасных для жизни матери и плода, решающее значение в определении стратегии родоразрешения и благоприятного исхода беременности принадлежит своевременному прогнозированию и дородовой диагностике. Высокий риск материнской смертности, связанной с врастанием плаценты, диктует необходимость проведения комплексного анализа различных подходов к ведению беременных с данным осложнением в зависимости от информативности методов антенатального прогнозирования и диагностики. Существующие на сегодняшний день методологические подходы базируются на разрозненных анамнестических данных И недостаточно разработанных диагностических критериях. Исследования последних лет показывают, что идентификацию группы врастания плаценты целесообразно проводить риска ранние сроки беременности, поскольку именно такой подход позволяет верифицировать группу беременных, требующих проведения прицельного И расширенного антенатального мониторинга. Основными вопросами, требующими дальнейшего

изучения, являются поиск предикторов врастания плаценты, доступных для использования в практическом здравоохранении, и проблемы своевременной При наиболее диагностики данного осложнения. ЭТОМ перспективным поэтапный направлением прогнозирования нам представляется И многофакторный анализ, включающий клинико-анамнестические данные, результаты биохимического тестирования (в том числе проводимого в рамках диспансеризации) стандартной программы И методы инструментальной визуализации. Дальнейшие исследования в указанных направлениях могут существенно улучшить акушерский прогноз для матерей и новорожденных при врастании плаценты, поэтому научные изыскания данной области представляются нам весьма перспективными.

Глава 2 МАТЕРИАЛ И МЕТОДЫ ИССЛЕДОВАНИЯ

Исследование выполнено на кафедре акушерства и гинекологии с курсом дополнительного профессионального образования Федерального образовательного бюджетного государственного учреждения высшего образования «Алтайский государственный медицинский университет» Министерства здравоохранения РФ (зав. кафедрой – д.м.н., доцент Ремнева О.В.). В рамках запланированной работы были обследованы и родоразрешены 345 женщин с рубцом на матке в период с 2012 по 2020 гг. Научноисследовательский проект был утвержден 20 марта 2018 г. (протокол № 3), соответствовал этическим стандартам локального биоэтического комитета при ФГБОУ BO «Алтайский Государственный Медицинский Университет» Министерства здравоохранения РФ. План проведения научно-исследовательской работы был разработан в соответствии с Хельсинкской декларацией Всемирной ассоциации «Этические принципы проведения научных медицинских исследований с участием человека» с поправками 2000 г. и «Правилами клинической практики в Российской Федерации», утвержденными Приказом Минздрава РФ от 19.06.2003 г., № 266. Все пациентки добровольно подписали информированное согласие на участие в исследовании.

Клинические наблюдения и сбор материала выполнены на клинической базе кафедры – в КГБУЗ «Алтайский краевой клинический центр охраны материнства и детства. Перинатальный центр» (главный врач – к.м.н. Смирнов К.В.).

Для решения поставленных в диссертационном исследовании задач работа проводилась в два этапа.

На первом этапе работы (период наблюдения – с 2012 по 2017 гг.) в ходе одномоментного (поперечного) исследования проведен ретроспективный анализ клинико-анамнестических параметров, особенностей течения беременности, данных ультразвукового и клинико-лабораторного обследования у 75 женщин

с врастанием плаценты, подтвержденным методом гистологического исследования (І группа): placenta accreta выявлена у 29 женщин, placenta increta – у 44 и placenta percreta – у двух пациенток. На данном этапе исследования (случай-контроль) выполнена верификация клинико-анамнестических факторов риска врастания плаценты и проведена оценка клинической информативности биохимических предикторов данного осложнения в сравнении с показателями 150 беременных с рубцом на матке без аномалий прикрепления плаценты (ІІ группа). Участницы ее подбирались методом целенаправленной выборки из числа женщин с рубцом на матке, родоразрешенных в КГБУЗ «Алтайский краевой клинический центр охраны материнства и детства. Перинатальный центр» в течение 2016-2017 гг. Дизайн первого этапа работы представлен на рисунке 2.



Рисунок 2 – Дизайн I этапа исследования

Критерии включения в І группу: женщины с рубцом на матке после кесарева сечения, одноплодная беременность и гистологически верифицированное врастание плаценты.

Критерии исключения из I группы: гистологически верифицированное врастание плаценты у женщин, не имевших в анамнезе эпизодов абдоминального родоразрешения, многоплодная беременность, врожденные пороки развития плода.

Критерии включения во II группу: женщины с одноплодной беременностью и рубцом на матке после кесарева сечения без аномалий прикрепления плаценты, состоявшие на диспансерном учете по беременности с ранних сроков, с выполненными биохимическими и ультразвуковыми скринингтестами.

Критерии исключения из II группы: многоплодная беременность, врожденные пороки развития плода, поздняя явка или нерегулярное наблюдение, тяжелые осложнения беременности и декомпенсированные соматические заболевания.

В соответствии с задачами работы, по результатам первого этапа исследования были верифицированы клинико-анамнестические факторы риска, выполнено определение отношения шансов врастания плаценты с помощью однофакторного анализа, проведена оценка клинической информативности биохимических предикторов врастания плаценты и анализ диагностической информативности ультразвуковых маркеров данного осложнения. По результатам однофакторного анализа был проведен логистический регрессионный анализ с включением всех потенциальных факторов риска, установленных при однофакторного Конечной точкой проведении анализа. данного этапа исследования явилось составление оценочно-прогностической шкалы риска врастания плаценты у пациенток с рубцом на матке после кесарева сечения, в которой ДЛЯ количественной оценки значения исследуемого признака, увеличивающего вероятность врастания плаценты, были использованы весы Байеса на основе определения отношения правдоподобия (LR – likelihood ratio). При формировании данной шкалы были учтены все статистически значимые факторы, приводящие к увеличению шансов данного осложнения.

На втором этапе работы в течение 2018-2020 гг. выполнена оценка уровня фактора роста плаценты и альфа-фетопротеина в динамике гестации у 120 пациенток с рубцом на матке после кесарева сечения, в том числе у 83 женщин с формированием плаценты в проекции рубца по результатам УЗИ в 12-14 недель гестации.

Дизайн второго этапа представлен на рисунке 3.



Рисунок 3 – Дизайн II этапа исследования

У всех беременных выполнена оценка факторов врастания плаценты по предложенной шкале. После завершения беременности из числа женщин, обследованных на втором этапе работы, были сформированы три группы: группа пациенток с гистологически верифицированным врастанием плаценты (Ш группа – 23 женщины) и две группы сравнения:

IV группа – 60 беременных с формированием плаценты в проекции рубца по результатам УЗИ в 12-14 недель гестации без аномалий прикрепления плаценты (в том числе 12 пациенток с предлежанием плаценты);

V группа — 37 беременных без аномалий локализации и прикрепления плаценты.

Критерии включения в III группу: женщины с рубцом на матке после кесарева сечения, одноплодной беременностью и гистологически верифицированным врастанием плаценты, добровольное информированное согласие на участие в исследовании.

Критерии исключения из III группы: многоплодная беременность, врожденные пороки развития плода, отказ от участия в исследовании.

Критерии включения в IV группу: женщины с одноплодной беременностью и рубцом на матке после кесарева сечения, диспансерный учет по беременности с ранних сроков, регулярное наблюдение, выполнение биохимических скринингтестов, локализация формирующейся плаценты в проекции рубца по результатам ультразвукового исследования в 12-14 недель гестации, добровольное согласие на участие в исследовании.

Критерии исключения из IV группы: многоплодная беременность, врожденные пороки развития плода, поздняя явка или нерегулярное наблюдение, локализация формирующейся плаценты вне зоны рубца по результатам ультразвукового исследования в 12-14 недель гестации, тяжелые осложнения беременности и декомпенсированные соматические заболевания, отказ от участия в исследовании.

Критерии включения в V группу: женщины с рубцом на матке после кесарева сечения без аномалий локализации и прикрепления плаценты, диспансерный учет по беременности с ранних сроков гестации, выполнение биохимических скрининг-тестов, регулярное наблюдение, добровольное согласие на участие в исследовании.

Критерии исключения из V группы: многоплодная беременность, локализация формирующейся плаценты в проекции рубца по результатам ультразвукового исследования в 12-14 недель гестации, врожденные пороки развития плода, поздняя явка или нерегулярное наблюдение, тяжелые осложнения беременности и декомпенсированные соматические заболевания, отказ от участия в исследовании.

После анализа результатов обследования и родоразрешения женщин III, IV и V групп был разработан алгоритм поэтапного прогнозирования и диагностики врастания плаценты, после чего были сделаны окончательные выводы.

2.1 Клиническая характеристика обследованных женщин

2.1.1 Клинико-анамнестическая характеристика пациенток I и II групп

У пациенток был подробно всех проанализирован акушерскогинекологический и соматический анамнез. Оценивали акушерский паритет, количество перенесенных операций кесарева сечения и показания к первому случаю абдоминального родоразрешения, наличие осложнений в послеродовом периоде, интергенетический интервал, наличие гинекологических заболеваний и оперативных вмешательств на органах малого таза в анамнезе. Также изучалось течение настоящей беременности, акушерских наличие осложнений, анализировалась локализация плаценты и ее миграция в течение гестации. Особое внимание уделялось результатам биохимического тестирования в конце I – начале II триместров и данным ультразвуковой диагностики в динамике беременности. Социальная характеристика женщин представлена в таблице 1.

Возрастная характеристика показала, что средний возраст беременных I группы составил $32,4\pm4,3$ года и был выше, чем возраст женщин II группы $-30,6\pm4,6$ года (p=0,004). В I группе женщин в возрасте от 31 года и старше было существенно больше (45 пациенток, что составляет 60,0%), чем во II группе (67 беременных, т.е. 44,7%, p=0,0431).

Из данных, представленных в таблице 1, видно, что практически по всем социальным параметрам женщины групп сравнения были сопоставимы. Единственное различие заключалось в том, что количество курящих женщин в I группе было значительно больше, чем во II группе.

Таблица 1 – Социальная характеристика женщин I и II групп

	Группы женщин								
Признак	I (r	n=75)	II (n=	II (n=150)					
	абс.	%	абс.	%	p				
	B03	раст, лет	1	1	1				
21-30	30	40,0	83	55,3	0,043				
31-35	30	40,0	39	26,0	0,046				
Старше 35	15	20,0	28	18,7	0,957				
	Пр	офессия							
Служащие	32	42,7	52	34,7	0,306				
Рабочие	14	18,7	48	32,0	0,052				
Домохозяйки	29	38,6	50	33,3	0,524				
	Семейн	ое положение	1	1					
Брак зарегистрирован	52	69,3	121	80,7	0,081				
Брак не зарегистрирован	14	18,7	22	14,7	0,563				
Одинокая	9	12,0	7	4,6	0,077				
Алк	огольная/ник	сотиновая заві	исимость						
Курение	11	14,7	9	6,0	0,05				
Алкогольная зависимость	3	4,0	0	0	0,064				

Средний возраст наступления менархе в группах сравнения был практически одинаковым и составил $13,1\pm1,0$ года в І группе и $13,2\pm1,1$ года во ІІ группе (p=0,969). Раннее менархе было зарегистрировано только у пациенток ІІ группы (у 7 женщин, что составляет 4,7%, p=0,099). Удельный вес случаев позднего менархе также не имел статистически значимых различий: у двух (2,7%) и 6 женщин (4,0%) соответственно (p=0,909).

Особенности акушерского анамнеза беременных сравниваемых групп представлены в таблице 2.

Как видно из таблицы, в I группе было значительно больше пациенток, настоящая беременность у которых была четвертой и более, а также женщин, подвергавшихся оперативному родоразрешению два и более раза. Кроме того, в I группе было существенно больше женщин с тремя и более случаями прерывания беременности до 22 недель в анамнезе.

Таблица 2 – Акушерский анамнез беременных I и II групп

Анамнестические данные	I (n	=75)	II (n=	р	
	абс.	%	абс.	%	-
Настоящая беременность вторая	6	8,0	56	37,3	<0,0001
Настоящая беременность 3-я	20	26,7	46	30,7	0,641
Настоящая беременность 4-я и более	49	65,3	48	32,0	<0,0001
Однократное кесарево сечение в анамнезе	36	48,0	116	77,3	<0,0001
Два и более кесаревых сечений в анамнезе	39	52,0	34	22,7	<0,0001
Прерывание беременности до 22 недель					
(самопроизвольные выкидыши	54	72,0	90	60,0	0,105
и искусственные аборты), всего					
В том числе:	•	1		•	•
Однократное прерывание беременности	23	30,7	55	36,7	0,458
2 случая прерывания беременности	14	18,7	23	15,3	0,647
3 и более случаев	17	22,7	12	8,0	0,0039
Привычное невынашивание беременности	8	10,6	5	3,3	0,055
Неразвивающаяся беременность	7	9,3	18	12,0	0,702

Структура показаний к первому кесареву сечению у беременных I и II групп представлена в таблице 3.

Данные таблицы 3 свидетельствуют, что существенных различий в показаниях к операции в группах сравнения не было. В плановом порядке первое кесарево сечение было выполнено у 24 пациенток І группы (32,0%) и 50 женщин р=0,964). Инфекционно-воспалительные осложнения группы (33,3%,послеоперационном периоде после кесаревых сечений предыдущих (субинволюция лохиометра, матки, послеродовой эндометрит, инфекция послеоперационной раны) имели 11 пациенток І группы (14,7%) и 2 женщины II группы (1,3%, p=0,0002).

Таблица 3 — Структура показаний к первому кесареву сечению у женщин I и II групп

	Группы женщин							
Показания	I (n	=75)	II (n=	n				
	абс.	%	абс.	%	р			
Аномалии родовой деятельности	29	38,7	53	35,3	0,724			
Преэклампсия и эклампсия	6	8,0	21	14,0	0,277			
Преждевременная отслойка нормально расположенной плаценты	4	5,3	14	9,3	0,433			
•								
Предлежание плаценты	3	4,0	1	0,7	0,221			
Узкий таз, крупный плод	8	10,7	15	10,0	0,944			
Анте- и интранатальный дистресс плода	9	12,0	19	12,7	0,949			
Неправильное положение плода	9	12,0	17	11,3	0,947			
Соматические заболевания	7	9,3	10	6,7	0,669			

Интергенетический интервал (таблица 4) составил от одного года до 18 лет (в среднем -6.0 ± 4.5 года в I группе и 5.5 ± 3.5 года во II группе, p=0.404), интервал до 2-х лет наблюдался у 24.0% и 13.3% пациенток соответственно (p=0.067).

Таблица 4 – Интергенетический интервал после кесарева сечения у беременных I и II групп

	Группы женщин							
Интергенетический интервал	I (n=	=75)	II (n=	n				
	абс.	%	абс.	%	р			
Менее одного года	6	8,0	1	0,7	0,011			
от одного года до 2 лет	12	16,0	19	12,7	0,637			
от 3 до 5 лет	26	34,7	66	44,0	0,233			
от 5 до 9 лет	17	22,7	44	29,3	0,373			
10 лет и более	14	18,7	20	13,3	0,385			

Удельный вес гинекологических заболеваний в анамнезе пациенток сравниваемых групп отражен в таблице 5.

Таблица 5 – Особенности гинекологического анамнеза женщин I и II групп

Гинекологические заболевания	Группы женщин							
в анамнезе	I (n	=75)	II (n=	n				
в анамисэс	абс.	%	абс.	%	- p			
Хронические инфекционно-								
воспалительные заболевания матки	24	32,0	17	11,3	0,0003			
и придатков								
Гормонально-зависимые заболевания	14	18,7	17	11,3	0,222			
Бесплодие	2	2,7	7	4,7	0,719			
Опухоли яичников	6	8,0	5	3,3	0,492			
Пороки развития матки	6	8,0	3	2,0	0,071			
Внутриматочные инструментальные вмешательства	29	38,7	38	25,3	0,055			

Как видно из таблицы, отличием гинекологического анамнеза женщин с врастанием плаценты являлся более высокий удельный вес хронических инфекционно-воспалительных заболеваний матки и придатков в анамнезе.

Удельный вес соматических заболеваний у беременных I и II групп представлен в таблице 6.

Таблица 6 – Удельный вес соматических заболеваний у беременных I и II групп

Заболевание	I (n=	=75)	II (n=	р	
	абс.	%	абс.	%	
Хроническая артериальная гипертензия	6	8,0	17	11,3	0,591
Ожирение	17	22,7	31	20,7	0,863
Отдельные проявления синдрома недифференцированной дисплазии соединительной ткани, всего:	45	60,0	68	45,3	0,05

Продолжение таблицы 6

Заболевание	I (n	=75)	II (n=	р	
	абс.	%	абс.	%	
В том числе:	19	25,3	20	13,3	0,039
- Миопия	10	23,3	20	15,5	0,037
- Варикозная болезнь	13	17,3	20	13,3	0,548
- Дефицит массы тела	6	8,0	4	2,7	0,141
- Нефроптоз	5	6,7	3	2,0	0,158
- Пролапс митрального клапана	10	13,3	4	2,7	0,005
- Нейро-циркуляторная дистония	42	56,0	32	21,3	<0,0001
Сочетание трех и более признаков синдрома	38	50,7	47	31,3	0,0073
нДСТ		30,7	',	31,3	0,0073
Воспалительные заболевания почек и	24	32,0	35	23,3	0,279
мочевыводящих путей		,		25,5	0,273
Хронические заболевания бронхо-легочной	9	12,0	14	9,3	0,691
системы и ЛОР-органов		1-,-			,,,,,
Хронические специфические инфекционные	13	17,3	12	8,0	0,062
заболевания (ВИЧ, сифилис, гепатиты В и С)		1,,5	1-		, , , , , , , , , , , , , , , , , , ,

Отличительной особенностью женщин I группы являлась более высокая частота выявления отдельных проявлений синдрома недифференцированной дисплазии соединительной ткани (согласно критериям Смольновой Т.Ю. и соавт., 2003) [64], в том числе сочетание трех и более признаков данного синдрома.

Таким образом, в рамках нашего исследования выявлен ряд социальных и клинико-анамнестических особенностей женщин с рубцом на матке и врастанием плаценты: возраст женщин, особенности их акушерского паритета, акушерскогинекологического анамнеза и соматической отягощенности.

2.1.2 Клинико-анамнестическая характеристика женщин III, IV и V групп

На втором этапе работы проведено проспективное одноцентровое сравнительное исследование с целью оценки уровней фактора роста плаценты и альфа-фетопротеина в динамике гестации у 120 пациенток с рубцом на матке после кесарева сечения, в том числе у 23 беременных с врастанием плаценты (ПГ группа) в сравнении с показателями женщин без аномалий прикрепления плаценты (ПV группа — 60 беременных с формированием плаценты в проекции рубца по результатам первого скрининг-УЗИ, V группа — 37 беременных без аномалий локализации плаценты).

Возраст беременных в группах сравнения варьировал в пределах от 22 до 42 лет и не имел достоверных различий (таблица 7). Средний возраст беременных III группы составил $33,1\pm3,5$ года, IV группы $-31,7\pm4,3$ года (p=0,189), V группы $-30,9\pm5,0$ года (p=0,079 в сравнении с III группой и p=0,412 в сравнении с IV группой).

Характеристика социального статуса беременных (таблица 7) демонстрирует отсутствие статистически значимых различий между IV и V группами, тогда как в III группе было значительно больше беременных, имеющих никотиновую зависимость.

Таблица 7 – Возрастная и социальная характеристика женщин III, IV и V групп

	Группы женщин							
Признак	III (n=23)		IV (n=60)		V (n=37)		n	
	абс.	%	абс.	%	абс.	%	- p	
Возраст, лет								
							p _{III-IV} =0,578	
До 30 лет	7	30,4	24	40,0	18	48,6	$p_{III-V}=0.262$	
							$p_{IV-V}=0,536$	

Продолжение таблицы 7

]	Группы х	кенщин					
Признак	III (n=23)	IV (r	n=60)	V (r	n=37)				
	абс.	%	абс.	%	абс.	%	- p			
Возраст, лет										
							p _{III-IV} =0,578			
31 год и старше	16	69,6	36	60,0	19	51,4	p _{III-V} =0,262			
							p _{IV-V} =0,536			
Социальный статус										
							p _{III-IV} =0,487			
Служащие	7	30,4	25	41,7	12	32,4	p _{III-V} =0,902			
							p _{IV-V} =0,484			
							p _{III-IV} =0,234			
Рабочие	9	39,2	14	23,3	8	21,6	p _{III-V} =0,239			
							p _{IV-V} =0,956			
							p _{III–IV} =0,891			
Домохозяйки	7	30,4	21	35,0	17	46,0	p _{III-V} =0,353			
							p _{IV-V} =0,388			
		Семейно	е полож	ение						
							p _{III–IV} =0,824			
Брак зарегистрирован	17	73,9	44	73,3	29	78,4	p _{III-V} =0,931			
							p _{IV-V} =0,747			
							p _{III–IV} =0,966			
Брак не зарегистрирован	4	17,4	12	20,0	5	13,5	p _{III-V} =0,969			
							p _{IV-V} =0,587			
							p _{III-IV} =0,874			
Одинокая	2	8,7	4	6,7	3	8,1	p _{III-V} =0,690			
							p _{IV-V} =0,885			
A	лкоголь	ная/нико	тиновая	і зависи	мость	•				
							p _{III-IV} =0,0001			
Курение	9	39,2	2	3,3	4	10,8	p _{III-V} =0,0230			
							p _{IV-V} =0,290			
							p _{III–IV} =0,914			
Алкогольная зависимость	1	4,3	1	1,7	0	0	p _{III-V} =0,819			
							p _{IV-V} =0,820			

Удельный вес гинекологических заболеваний в анамнезе женщин III, IV и V групп (таблица 8) не имел статистически значимых различий.

Таблица 8 — Удельный вес гинекологических заболеваний в анамнезе женщин III, IV и V групп

	Группы женщин								
Признак	III (n=23)		IV (n=60)		V (n=37)		р		
	абс.	%	абс.	%	абс.	%	P		
Хронические воспалительные заболевания матки и придатков	2	8,7	2	3,3	4	10,8	p _{III-IV} =0,648 p _{III-V} =0,858 p _{IV-V} =0,290		
Гормонально-зависимые заболевания	4	17,4	5	8,3	3	8,1	p_{III-IV} =0,424 p_{III-V} =0,498 p_{IV-V} =0,729		
Бесплодие	1	4,3	2	3,3	1	2,7	p _{III-IV} =0,659 p _{III-V} =0,685 p _{IV-V} =0,660		
Опухоли яичников	1	4,3	2	3,3	0	0	p _{III-IV} =0,659 p _{III-V} =0,819 p _{IV-V} =0,706		
Пороки развития матки	1	4,3	0	0	0	0	$p_{\text{III-IV}}$ =0,627 $p_{\text{III-V}}$ =0,819		
Внутриматочные инструментальные вмешательства	5	23,8	13	21,7	6	16,2	p _{III-IV} =0,929 p _{III-V} =0,696 p _{IV-V} =0,689		

По особенностям акушерского анамнеза (таблица 9) были получены различия, характерные для пациенток с врастанием плаценты, обследованных на первом этапе работы: высокий акушерский паритет, наличие двух и более кесаревых сечений в анамнезе, значительный удельный вес случаев прерывания беременности до 22 недель (как самопроизвольных выкидышей, так и искусственных абортов).

Таблица 9 – Акушерский анамнез беременных III, IV и V групп

				Группы	женщи	Н	
Анамнестические данные	III (n=23)	IV (1	n=60)	V (n=37)		
	абс.	%	абс.	%	абс.	%	p p
							p _{III–IV} =0,243
Настоящая беременность 2-я	2	8,7	18	30,0	16	43,0	$p_{\text{III-V}}=0,00339$
							p _{IV-V} =0,834
							p _{III-IV} =0,366
Настоящая беременность 3-я	5	21,7	21	35,0	9	24,3	$p_{III-V}=0,934$
							$p_{IV-V}=0,378$
Настоящая беременность 4-я							p _{III-IV} =0,0288
и более	16	69,6	21	35,0	12	32,4	$p_{III-V}=0,033$
in oosiec							p _{IV-V} =0,967
Однократное кесарево сечение в анамнезе							p _{III-IV} =0,0156
	10	43,5	47	78,3	27	73,0	$p_{III-V}=0,1326$
B anamicse							$p_{IV-V}=0,726$
2 и более кесаревых сечений							p _{III-IV} =0,0156
в анамнезе	13	56,5	13	21,7	10	27,0	$p_{III-V}=0,1326$
B anamicse							$p_{IV-V}=0,726$
Прерывание беременности							p _{III-IV} =0,0204
до 22 недель, всего	19	82,6	28	46,7	15	40,5	$p_{III-V}=0,0102$
do 22 fiedesis, seero							$p_{IV-V}=0,629$
3 и более случаев прерывания							p _{III-IV} =0,424
беременности	4	17,4	5	8,3	1	2,7	$p_{\text{III-V}}=0,0384$
осременности							$p_{IV-V}=0,497$
Привычное невынашивание							p _{III-IV} =0,168
беременности	4	17,4	3	5,0	1	2,7	$p_{III-V}=0,128$
осреженности							p _{IV-V} =0,976
							p _{III-IV} =0,0751
Неразвивающаяся беременность	6	26,1	5	8,3	3	8,1	$p_{III-V}=0,127$
							p _{IV-V} =0,729

Интергенетический интервал в III группе составил $5,8\pm3,2$ года, в IV группе $-5,5\pm3,2$ года (p=0,727 в сравнении с III группой), в V группе $-6,1\pm4,0$ года

(p=0,762 в сравнении с III группой и p=0,456 в сравнении с IV группой). Интервал до 2-х лет наблюдался у трех женщин (13,0%) III группы, 7 беременных (11,7%) IV группы (p=0,831 в сравнении с III группой) и 3 пациенток (8,1%) V группы (p=0,924 в сравнении с III группой и p=0,829 в сравнении с IV группой). Инфекционно-воспалительные осложнения после предшествующих операций кесарева сечения наблюдались у одной женщины III группы (4,3%), в группах сравнения данные осложнения не регистрировались (p=0,820).

Структура соматических заболеваний у беременных III, IV и V групп представлена в таблице 10. У женщин с врастанием плаценты, обследованных на втором этапе работы, как и у беременных I группы, выявлен высокий удельный вес синдрома недифференцированной дисплазии соединительной ткани.

Таблица 10 – Удельный вес соматических заболеваний у беременных III, IV и V групп

	Группы женщин								
Признак	III (n	III (n=23)		IV (n=60)		=37)	n		
	абс.	%	абс.	%	абс.	%	р		
Уполициоская автория на ная							p _{III-IV} =0,544		
Хроническая артериальная	1	4,3	7	11,7	7	18,9	p _{III-V} =0,219		
гипертензия							p _{IV-V} =0,495		
							p _{III–IV} =0,089		
Ожирение	9	39,1	11	18,3	4	10,8	p _{III-V} =0,346		
							p _{IV-V} =0,0482		
Отдельные проявления							p _{III-IV} =0,022		
_	13	56,5	16	26,7	15	40,5	p _{III-V} =0,346		
синдрома нДСТ							p _{IV-V} =0,0233		
В том числе:		•		•		•			
							p _{III–IV} =0,296		
- Миопия	5	21,7	6	10,0	4	10,8	p _{III-V} =0,437		
							p _{IV-V} =0,828		

Продолжение таблицы 10

	Группы женщин							
Признак	III (r	n=23)	IV (n=60)		V (n=37)			
	абс.	%	абс.	%	абс.	%	р	
							p _{III–IV} =0,746	
- Варикозная болезнь	4	17,4	7	11,7	4	10,8	p _{III-V} =0,733	
							p _{IV-V} =0,846	
							p _{III-IV} =0,702	
- Дефицит массы тела	2	8,7	5	8,3	2	5,4	p _{III-V} =0,973	
							p _{IV-V} =0,945	
							p _{III-IV} =0,385	
- Нефроптоз	2	8,7	1	1,7	0	0	$p_{III-V}=0,278$	
							p _{IV-V} =0,820	
- Пролапс митрального							p _{III-IV} =0,385	
клапана	2	8,7	1	1,7	1	2,7	p _{III-V} =0,669	
KJIAIIAIIA							p _{IV-V} =0,691	
- Нейро-циркуляторная							p _{III-IV} =0,0002	
дистония	13	56,5	8	13,3	8	21,6	p _{III-V} =0,0132	
ДИСТОПИЯ							$p_{IV-V}=0,430$	
Сочетание трех и более							p _{III-IV} =0,0333	
признаков синдрома нДСТ	8	34,8	7	11,7	2	5,4	p _{III-V} =0,0089	
признаков отпарома паст							p _{IV-V} =0,498	
Воспалительные							p _{III-IV} =0,536	
заболевания мочевыводящих	8	34,8	15	25,0	8	21,6	$p_{\text{III-V}}=0,401$	
путей							p _{IV-V} =0,891	
Хронические заболевания							p _{III–IV} =0,999	
бронхо-легочной системы и	2	8,7	7	11,7	3	8,1	$p_{\text{III-V}}=0,690$	
ЛОР-органов							p _{IV-V} =0,824	
Специфические							p _{III-IV} =0,906	
инфекционные заболевания	2	8,7	6	5,0	2	5,4	$p_{\text{III-V}} = 0,973$	
(гепатиты В и С, ВИЧ,	-	0,,		5,0	_	-, '	$p_{\text{II}-\text{V}} = 0,699$	
сифилис)							PIV-V C,COO	

Таким образом, представленный анализ позволяет заключить, что беременные III, IV и V групп были сопоставимы по клинико-анамнестическим характеристикам с пациентками соответствующих групп первого этапа исследования, а параметры женщин IV и V групп не имели статистически значимых различий.

2.2 Методы клинических, инструментальных и лабораторных исследований

2.2.1 Анализ медицинской документации и методы клинического обследования

Для каждой единицы наблюдения была разработана карта обследования, включающая информацию о течении беременности путем выкопировки данных из первичной медицинской документации: индивидуальной карты беременной и родильницы (форма № 111/у), истории родов (форма № 096/у) и истории развития новорожденного (форма № 097/у). Раздел данных из медицинской документации женской консультации содержит параметры, отражающие возраст беременной, весо-ростовые показатели, сроки появления первой менструации и начала половой жизни, наличие экстрагенитальных и гинекологических заболеваний, исходы предыдущих беременностей, заболевания и осложнения во время настоящей беременности, результаты стандартного клинико-лабораторного и ультразвукового обследования, данные о госпитализации и лечении беременной. Данные о родоразрешении и течении послеродового периода заносились в раздел «роды» и содержали параметры, позволяющие оценить характер оперативного вмешательства, объем кровопотери, осложнения в послеродовом периоде.

Оценка объема кровопотери проводилась визуальным методом (оценивали интенсивность пропитывания операционного материала и белья кровью) и гравиметрическим, предполагающим взвешивание операционного материала

и вычисление объема кровопотери по формуле М.А. Либова (1960) [4]. Определение объема кровопотери проводилось также на основании показателей аппарата «Cell-Saver» в автоматическом режиме работы.

Оценка состава и объема инфузионных и трансфузионных сред проводилась на основе анализа карт течения анестезии (вкладыш в медицинскую карту стационарного больного (форма № 003/у).

Течение послеродового (послеоперационного) периода оценивали по наличию и частоте осложнений, продолжительности пребывания женщины в стационаре после родоразрешения.

Состояние новорожденных оценивалась по шкале V. Apgar (1952) на 1-ой и 5-ой минуте жизни. Выкопировка данных из истории развития новорожденного включала антропометрические показатели и функциональное состояние ребенка в момент рождения, а также состояние его здоровья и заболевания в период пребывания в родильном доме.

2.2.2 Инструментальные методы исследования

В течение беременности все женщины были обследованы в соответствии с отраслевыми стандартами в акушерстве, регламентированными Минздрава РФ № 572-н (от 01.11.2012 г.) и Минздравсоцразвития РФ № 224 (от 30.03.2006 г.). В рамках стандартной скрининг-программы всем беременным было проведено трехкратное ультразвуковое исследование с допплерометрией на аппаратах экспертного класса Voluson E8, Tochiba Aplio XG, Sonoline-Elegra (Simens), ALOKA – SSD-2000, Philips iu22, Accuvix V-10. На этапе дородовой госпитализации проводилось ультразвуковое исследование на аппаратах Samsung (UGEO H60, Medison Accuvix V20-RUS) с прицельным поиском признаков врастания плаценты на основании унифицированных описательных ультразвуковых критериев при разной степени прикрепления плаценты (консенсус FIGO по пренатальной диагностике и скринингу врастания плаценты) [105, 157].

Оценка гемодинамических нарушений маточно-плацентарного (МПК) и плодово-плацентарного (ППК) кровообращения производилось по классификации М.В. Медведева (1990), в которой выделены три степени тяжести гемодинамических нарушений: І степень: А – нарушение МПК; В – нарушение ППК при сохраненном МПК; ІІ степень: одновременное нарушение МПК и ППК, не достигающее критических значений; ІІІ степень: критическое нарушение ППК при сохраненном или нарушенном МПК [3].

Задержка роста плода диагностировалась в соответствии с процентильными таблицами [3, 33]. С 28 недель беременности оценивалось функциональное состояние плода при помощи кардиотокографического исследования. КТГ осуществлялась на фетальных мониторах Sonicaid® Team и Sonicaid® Team Duo (Oxford Medical) с функцией анализа Care непрямым способом. Полученные интерпретировались визуальной балльной данные путём оценки кардиотокограммы по шкале W. Fischer (1976) (в модификации Г.М. Савельевой), либо классифицировали КТГ в соответствии с критериями FIGO (2015) [3, 83]. При оценке КТГ рассматривались 5 параметров (базальный ритм, частота и амплитуда осцилляций, наличие или отсутствие акцелераций и децелераций), каждый из которых оценивался от 0 до 2 баллов. По сумме всех баллов судили о функциональном состоянии плода: 8-10 баллов – компенсированнное состояние плода, 5-7 баллов – наличие признаков нарушения жизнедеятельности плода и 4 и менее баллов – признаки тяжелых нарушений состояния плода [3].

2.2.3 Морфологическое исследование

Гистологическое исследование материала, полученного в ходе операции (плацента, матка в случаях гистерэктомии и резицированная стенка матки с вросшей плацентой при выполнении метропластики) осуществлялось в патологоанатомическом отделении КГБУЗ КГБУЗ «Алтайский краевой

клинический центр охраны материнства и детства» (зав. отделением — Нестеров Ю.Н.) в соответствии с приказами Министерства здравоохранения РФ от 6 июня 2013 г. № 354н «О порядке проведения патолого-анатомических вскрытий» и от 24 марта 2016 г. № 179н «О Правилах проведения патолого-анатомических исследований» [56, 57]. Микроскопическое исследование проводилось после фиксирования в 10% формалине, промывания, спиртовой проводки и парафиновой заливки с последующим окрашиванием срезов толщиной 4 мкм гематоксилин-эозином (использовались бинокулярные световые микроскопы Leica DM 1000 LED и БИМАМ Р-11).

2.2.4 Лабораторные методы исследования

Определение концентрации альфа-фетопротеина в сыворотке крови

Забор крови для исследования производился утром из локтевой вены в количестве 10 мл в вакуумные пробирки Vacutainer с активатором свертывания (кремнеземом). Материалом для изучения являлась сыворотка крови. После завершения процесса свертывания крови (в течение 30 минут при комнатной температуре и вертикальном положении) пробирки со свернувшейся кровью центрифугировали со скоростью 2 500 оборотов в минуту в течение 10 минут. В случае необходимости хранения материала более 7 суток супернатантную сыворотку отбирали в пробирки типа Eppendorf объемом 0,5 мл и тотчас замораживали при температуре -20° С. Непосредственно перед анализом образцы медленно размораживали при комнатной температуре (23-25° С) и аккуратно перемешивали.

Определение уровня АФП в образцах сыворотки крови проводилось на автоматическом иммунохимическом анализаторе Architect i1000 Abbott Laboratories с использованием наборов «Тест ARCHITECT AFP». Тест является двуступенчатым иммуноанализом для количественного определения АФП

в сыворотке и плазме крови человека и околоплодной жидкости с использованием технологии СМІА с гибкими протоколами, называемой Chemiflex. На первой образец стадии соединяются И парамагнитные микрочастицы, сенсибилизированные антителами к АФП. АФП, присутствующий в образце, соединяется с микрочастицами, сенсибилизированными антителами к АФП. После промывки на второй ступени добавляется акридин-меченый конъюгат антител к АФП и образуется реакционная смесь. После следующего цикла промывки к реакционной смеси добавляются претриггерный и триггерный растворы. Получаемая в результате хемилюминесцентная реакция измеряется в относительных световых единицах (RLU). Между количеством АФП в образце и RLU, выявленных оптической системой ARCHITECTiSystem, существует прямая зависимость.

В работе использовались стандарты, контроли к стандартным тест-системам для определения концентраций альфа-фетопротеина. Результаты выражали в МЕ/мл.

Исследования выполнены в клинико-диагностической лаборатории КГБУЗ «Алтайский краевой клинический центр охраны материнства и детства» (главный врач — к.м.н. Смирнов К.В.) первоначально в сроки беременности 15-20 недель и в последующем с интервалом 4-6 недель до 35-37 недель гестации.

Определение концентрации фактора роста плаценты (PlGF) в сыворотке крови

Определение концентрации фактора роста плаценты в сыворотке крови осуществлялось иммуноферментным методом с использованием наборов «R&D (Великобритания). Тест Systems» основан на методе количественного твердофазного иммуноферментного анализа типа «сэндвич». В ходе реакции в специфическими ЛУНКИ микропланшета, покрытого моноклональными антителами к PIGF, добавляются исследуемые образцы (сыворотка крови), в результате чего PIGF связывается с иммобилизованными антителами. После промывки несвязавшиеся компоненты удаляются, и в ячейки добавляется

конъюгат поликлональных антител к PIGF, который взаимодействует с ферментом с образованием цветного комплекса. Интенсивность окраски прямо пропорциональна концентрации PIGF. Цветная реакция останавливается стопреагентом и интенсивность окраски измеряется на планшетном фотометре при длине волны 450 нм. Результаты выражали в пкг/мл.

Исследования выполнены в ООО МЦ «Лаборатории ДНК-диагностики» (научный руководитель — к.м.н. Селиванов Е.В.) первоначально во втором триместре беременности и в последующем с интервалом 4-6 недель до 35-37 недель гестации.

2.3 Статистическая обработка результатов

Статистический анализ (среднее значение, стандартное отклонение, коэффициент корреляции, достоверность различий по t-критерию Стьюдента, критерий U-Манна-Уитни) выполнялся с использованием пакета статистического программного обеспечения MedCalc Version 18.2.1 (лицензия Z2367-F3DD4-83Е2Е8-А6963-ЕD902) [14]. Характер распределения количественных признаков определяли методом Шапиро-Уилка (W-тест). Для оценки достоверности различий в распределении показателей, характеризующих качественные признаки (указывали абсолютное значение и относительную величину в %), дополнительно вычислялся критерий согласия χ^2 (хи-квадрат). При нормальном распределении для описания материала исследования использовались среднее значение (М) и среднеквадратичное отклонение (о) признаков; при распределении отличном от нормального – медиана (Ме) и интерквартильный размах (25-й и 75-й квартили). Корреляцию количественных показателей c оценивали использованием коэффициента ранговой корреляции (r) Spearman. Критический уровень проверке статистических принимали ≤ 0.05 . значимости при гипотез При множественных сравнениях трех и более групп между собой с помощью критерия Стьюдента или критерия Манна-Уитни применялась поправка Бонферрони по формуле:

$$p = p' \times N, \qquad (1)$$

где р′ – полученный при сравнении двух групп между собой уровень значимости;

N – число сравнений групп между собой;

р – уровень значимости, рассчитанный с учетом поправки Бонферрони.

Поправка применялась только при р'<0,05 [36].

Оценка факторов риска врастания плаценты проводилась с использованием четырехпольных таблиц сопряженности, где одним из факторов был случай врастания плаценты. Эффект воздействия каждого конкретного оценивался по величине отношения шансов (Odds ratio, OR) на ретроспективном этапе исследования и относительного риска (Relative risk, RR) – на проспективном этапе. Для демонстрации силы связи между признаками вычисляли 95% доверительный интервал (confidence interval 95%, 95%CI) для OR и RR. Моделирование вероятности врастания плаценты осуществлялось методом логистической регрессии с включением потенциальных предикторов, а их ранжирование проводилось по стандартизированным коэффициентам регрессии В. Качество модели логистической регрессии и ее предсказательная способность оценивались по показателю конкордантности и результатам ROC-анализа (receiver operating characteristic analysis) с вычислением площади под ROC-кривой (Area Under Curve, AUC). Клиническая информативность лабораторных тестов включала комплекс характеристик: чувствительности, специфичности, диагностического порога, или порога отсечения (cut-off level). Для определения диагностически значимых пороговых значений концентраций специфических белков беременности оценивали чувствительность и специфичность посредством ROC-анализа с определением площади под ROC-кривой. Для количественной оценки значения увеличивающего вероятность исследуемого признака, врастания использованы весы Байеса на основе определения отношения правдоподобия (LR – likelihood ratios).

Глава 3

ПРОГНОЗИРОВАНИЕ И ДИАГНОСТИКА ВРАСТАНИЯ ПЛАЦЕНТЫ У ЖЕНЩИН С РУБЦОМ НА МАТКЕ

Поскольку врастание плаценты является одним из наиболее грозных акушерских осложнений, в настоящее время особое внимание уделяется формированию группы риска и динамическому наблюдению беременных в учреждениях, имеющих достаточные диагностические ресурсы. Более точная верификация факторов риска может способствовать разработке объективных методов прогнозирования врастания плаценты, а точность диагностического этапа позволяет запланировать оперативную стратегию и улучшить исход беременности для матери.

3.1 Клинико-анамнестические факторы риска врастания плаценты у беременных с рубцом на матке

Для определения факторов риска врастания плаценты с оценкой их значимости (всего оценено более 50 потенциальных предикторов) был использован комплексный клинико-анамнестический подход, базирующийся на современных методах статистического анализа [108]. Результаты расчета отношения шансов (OR) с применением однофакторного анализа на основе анализа клинико-анамнестических параметров 75 женщин с врастанием плаценты (I группа) в сравнении с данными 150 женщин с рубцом на матке без аномалий прикрепления плаценты (II группа) представлены в таблице 11.

Таблица 11 — Клинико-анамнестические факторы риска врастания плаценты у женщин с рубцом на матке

Признак	OR	95% CI	р
Социальные факторы			
Возраст 31 год и старше	1,86	[1,06-3,26]	0,0310
Курение	2,69	[1,06-6,82]	0,0367
Акушерско-гинекологический анамнез			l
Настоящая беременность 4-я и более	4,0	[2,23-7,19]	<0,0001
Два и более кесаревых сечений в анамнезе	3,69	[2,04-6,69]	<0,0001
Интергенетический интервал менее двух лет	2,05	[1,01-4,17]	0,0468
Инфекционно-воспалительные осложнения	12,7	[2,74-59,0]	0,0012
в послеоперационном периоде	12,7	[2,74-35,0]	
3 и более случаев прерывания беременности			
до 22 недель (самопроизвольные выкидыши	3,37	[1,51-7,50]	0,0029
и искусственные аборты)			
Хронические инфекционно-воспалительные	3,68	[1,83-7,42]	0,0003
заболевания матки и придатков	3,08	[1,63-7,42]	0,0003
Соматические заболевания			
Синдром недифференцированной ДСТ	2,25	[1,27-3,98]	0,0052
Примечание – OR – отношение шансов; 95% CI –	95% доверит	 ельный интервал.	<u> </u>

Полученные в рамках нашего исследования данные свидетельствуют, что ряд клинико-анамнестических факторов оказывает существенное влияние на увеличение шансов врастания плаценты при наличии рубца на матке. Вероятность данного осложнения возрастала у женщин в возрасте 31 год и старше и у пациенток, имевших в анамнезе два и более кесаревых сечений. Выявлены два фактора, связанных с акушерским паритетом и анамнезом: 4-я и более настоящая беременность и наличие трех и более случаев прерывания беременности до 22 недель (как самопроизвольных, так и искусственных) в анамнезе. Достоверная сопряженность данного осложнения установлена с интергенетическим интервалом менее двух лет и инфекционно-воспалительными

осложнениями после предшествующих операций кесарева сечения. В блоке гинекологического анамнеза выявлено, что вероятность врастания плаценты в значительной степени ассоциирована c хроническими инфекционновоспалительными заболеваниями матки и придатков. Анализ соматических заболеваний позволил установить, ЧТО наличие У пациентки синдрома недифференцированной дисплазии соединительной ткани увеличивает отношение шансов врастания плаценты в 2,2 раза. Полученные данные также свидетельствуют, что курение приводит к возрастанию отношения шансов данного осложнения более чем в 2 раза.

3.2 Сывороточные концентрации специфических белков беременности у женщин с рубцом на матке и врастанием плаценты

В настоящее время исследование уровней гормонов плодовоплацентарного происхождения широко используется для пренатального скрининга врожденных пороков развития плода (ВПР). Однако внедрение в широкую практику количественного определения сывороточного уровня альфафетопротеина (АФП), хорионического гонадотропина (ХГЧ) и ассоциированного с беременностью плазменного протеина А (РАРР-А) создает также возможность выявления нарушений, создающих потенциальную угрозу развития гестационных осложнений при отсутствии ВПР (в рамках нашего исследования случаев врожденных пороков развития плода не зарегистрировано). После количественного определения сывороточных концентраций РАРР-А, ХГЧ и АФП, проведенного в рамках стандартного биохимического тестирования в сроки беременности от 11 до 14 недель (в случаях ранней явки) и в сроки от 15 до 20 недель (в случаях начала диспансеризации беременных во II триместре), для удобства интерпретации результатов использовался показатель MoM (multiply of median – умножение медианы). Исследование концентрации PAPP-А выполнено

у 67 беременных I группы и у 112 женщин II группы, АФП – у 17 и 47 пациенток сравниваемых групп, ХГЧ – у 71 и 145 беременных соответственно. Медианы показателей изучаемых белков представлены на рисунке 4.

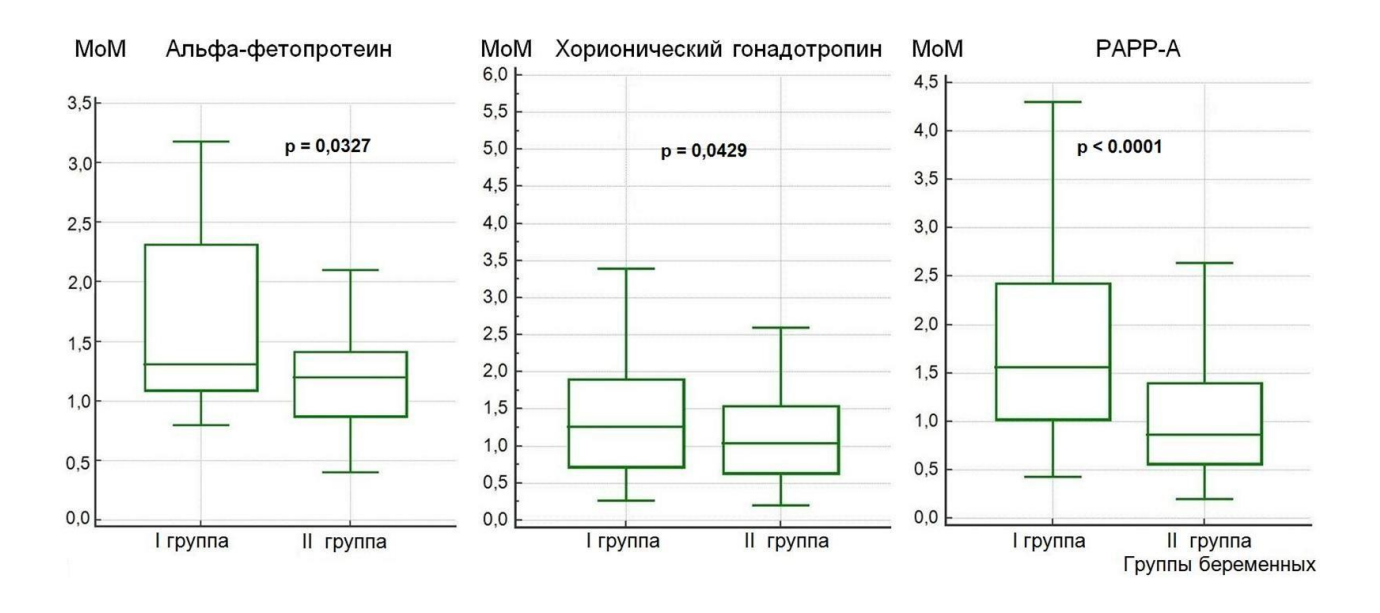


Рисунок 4 – Показатели специфических белков беременности (MoM) по результатам стандартного биохимического тестирования у пациенток I и II групп (Ме и интерквартильный размах)

Из представленных данных видно, что средние показатели определяемых белков беременности в группе женщин с врастанием плаценты были существенно выше показателей группы женщин с рубцом на матке без аномалий прикрепления плаценты. Медиана показателя АФП в І группе составила 1,31 МоМ (интеквартильный размах 1,08-2,32 МоМ), во ІІ группе – 1,2 MoM (интеквартильный размах 0,87-1,41 MoM, p=0,0327), XГЧ – 1,27 MoM (интеквартильный размах 0,72-1,93 МоМ) и 1,04 МоМ (интеквартильный размах MoM, р=0,0429) соответственно. Наиболее информативным 0,64-1,6исследованных белков был ассоциированный с беременностью плазменный протеин А: медиана показателя у женщин с врастанием плаценты составила 1,59 MoM (интеквартильный размах 1,02-2,56 MoM), в группе сравнения -1, 11 MoM (интеквартильный размах 0,68-1,67 MoM, p<0,0001).

Поскольку в практическом акушерстве крайними (нормативными) значениями считают показатели 0,5 МоМ и 2,0 МоМ, у беременных I и II групп было проведено определение удельного веса показателей специфических белков беременности, превышающих крайние (нормативные) значения (таблица 12).

Таблица 12 — Удельный вес показателей специфических белков беременности, превышающих крайние (нормативные) значения (в виде показателя MoM)

			Группы беременных					
Показатели (МоМ)		I			II			р
		n	абс.	%	n	абс.	%	
АФП	более 2,0	17	6	35,3	47	1	2,1	0,0009
71411	менее 0,5	17	0	0	47	1	2,1	0,584
ХГЧ	более 2,0	71	19	26,8	145	19	13,1	0,0218
741	менее 0,5	71	2	2,8	145	14	9,7	0,124
PAPP-A	более 2,0	67	26	38,8	112	12	10,7	<0,0001
	менее 0,5	67	3	4,5	112	8	7,1	0,704

Результаты исследования позволили установить практически одинаковый удельный вес низких показателей исследованных белков (менее 0,5 MoM). В то же время показатели белков, превышающие 2,0 MoM, в группе беременных с врастанием плаценты регистрировались существенно чаще. При этом у 9 беременных с врастанием плаценты (12,0%) выявлено одновременное повышение двух биохимических маркеров выше 2,0 MoM (во II группе – у двух пациенток, что составляет 1,3%, p=0,0014).

Проведенное исследование позволяет предположить, что показатели специфических белков беременности могут служить маркерами для оценки вероятности врастания плаценты у беременных с рубцом на матке. Для оценки прогностической ценности данных тестов был произведен расчет диагностического порога концентраций АФП, ХГЧ и РАРР-А посредством ROC-анализа (рисунки 5-7).

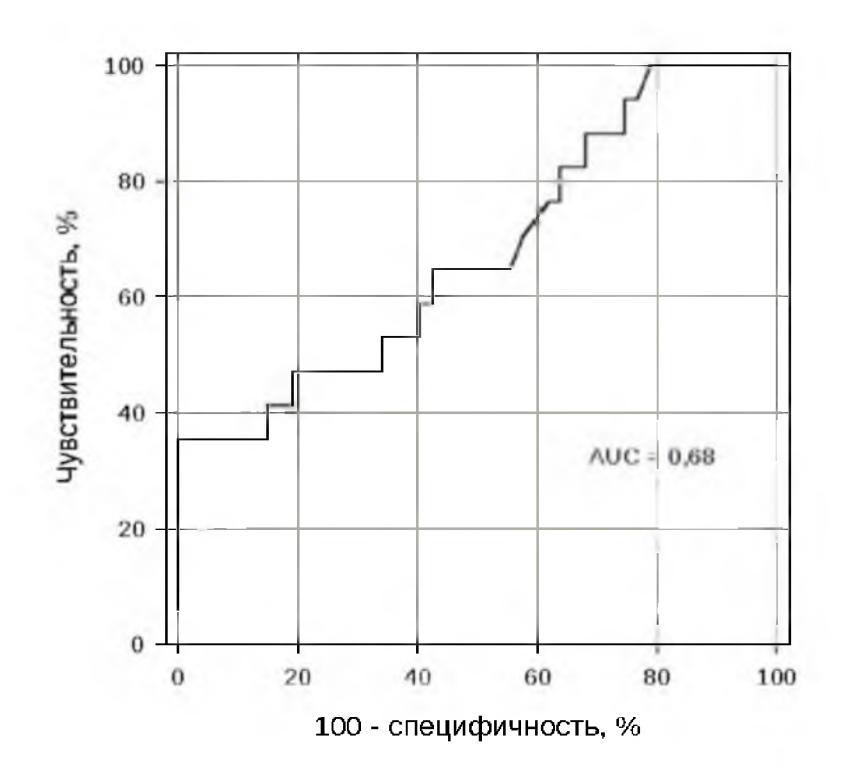


Рисунок 5 — Результаты ROC-анализа для оценки диагностического порога концентрации альфа-фетопротеина (в виде показателя MoM) в сыворотке крови (площадь под ROC-кривой =0,68)

Диагностический порог концентрации альфа-фетопротеина (в виде показателя MoM) в сыворотке крови, согласно данным ROC-анализа (рисунок 5), составил 1,64 MoM (чувствительность теста – 41,2%, специфичность – 85,1%).

Диагностический порог концентрации хорионического гонадотропина (в виде показателя МоМ) в сыворотке крови, согласно данным ROC-анализа (рисунок 6), составил 1,41 МоМ (чувствительность теста – 47,9%, специфичность – 66,9%).

Диагностический порог концентрации PAPP-A составил 1,41 MoM (чувствительность теста – 65,7%, специфичность – 70,6%). Данные ROC-анализа представлены на рисунке 7.

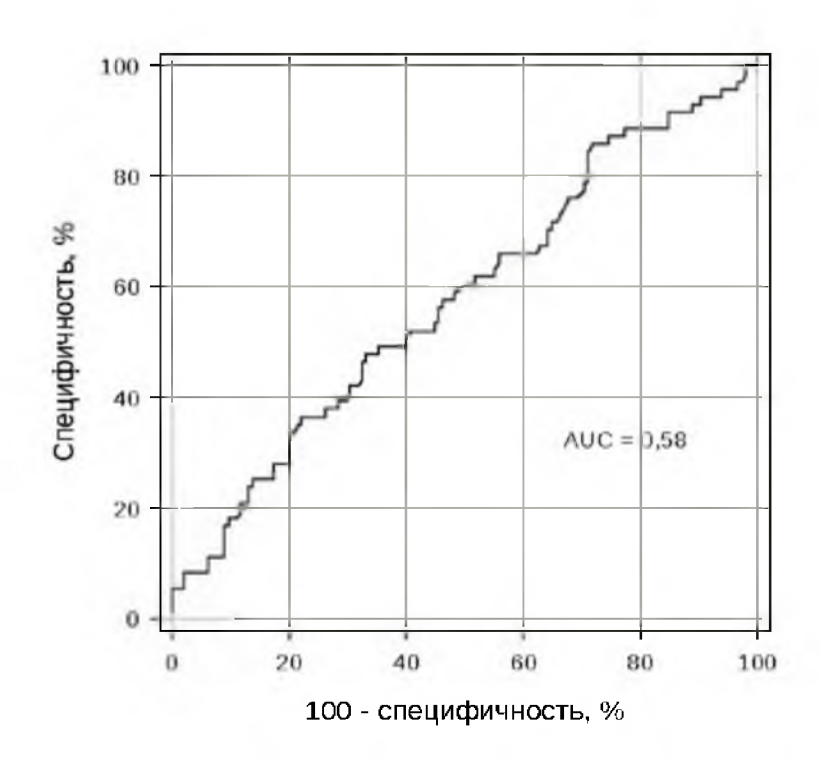


Рисунок 6 – Результаты ROC-анализа для оценки диагностического порога концентрации хорионического гонадотропина (в виде показателя MoM) в сыворотке крови (площадь под ROC-кривой =0,58)

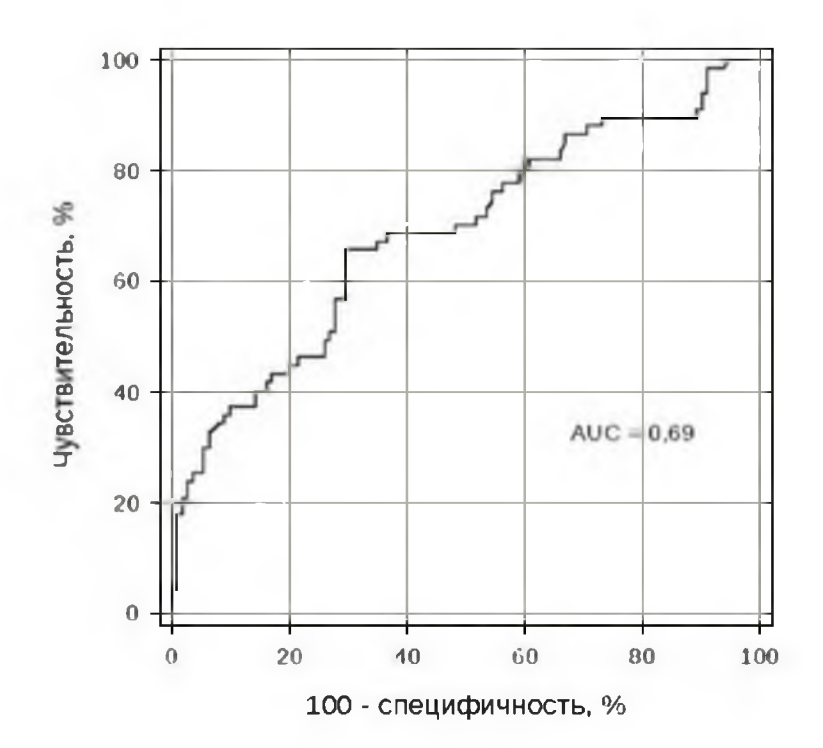


Рисунок 7 — Результаты ROC-анализа для оценки диагностического порога концентрации ассоциированного с беременностью плазменного протеина A (в виде показателя MoM) в сыворотке крови (площадь под ROC-кривой =0,69)

Проведенный ROC-анализ данных показал, что все исследованные лабораторные показатели, определяемые в ранние сроки беременности, могут быть использованы в системе комплексного прогнозирования врастания плаценты у беременных с рубцом на матке, поскольку имеют приемлемые для практического использования характеристики клинической информативности. Значения чувствительности тестов варьировали в пределах от 41,2% до 65,7%, значения специфичности – от 70% до 85,1%. Среди рассмотренных тестов наилучшие сочетания чувствительности и специфичности имела сывороточная концентрация РАРР-А и в меньшей степени – концентрация АФП. Отношение шансов (OR) врастания плаценты у женщин с рубцом на матке в случаях превышения диагностического порога концентрации РАРР-А составило 4,58 [95% СІ 2,39-8,75] (p<0.0001), $A\Phi\Pi - 4.0$ [95% CI 1.14-14.05] (p=0.0305), $X\Gamma\Psi - 2.46$ [95% CI 1,38-4,41] (p=0,0024). Одновременное превышение диагностического порога двух специфических белков беременности имело место у 25 пациенток І группы (33,3%) и у 20 женщин II группы (13,3%, p=0,0008). Отношение шансов врастания плаценты при этом составило 3,25 [95% CI 1,65-6,37] (p=0,0006).

Таким образом, определение биохимических маркеров, специфичных для гестационного процесса, позволяет с определенной долей вероятности прогнозировать аномальную инвазию плаценты. При этом параллельное исследование нескольких серологических маркеров беременности может повысить прогностическую эффективность.

3.3 Результаты ультразвуковой диагностики у женщин с рубцом на матке и врастанием плаценты

Ультразвуковая диагностика врастания плаценты является сложным и трудоемким процессом, поэтому в рамках нашего исследования выполнена поэтапная оценка диагностических критериев данного осложнения на основании

результатов обследования в рамках стандартной скрининг-программы с конца первого триместра беременности. Наиболее поздний срок выполнения первого УЗИ составил 14-15 недель. Данные о локализации формирующейся плаценты в конце I триместра беременности представлены в таблице 13.

Таблица 13 — Локализация формирующейся плаценты в конце I триместра беременности у пациенток I и II групп

Локализация формирующейся	I группа (n=75)		II группа	р	
плаценты	абс.	%	абс.	%	P
По передней стенке матки	57	76,0	74	49,3	0,0002
По задней стенке матки	18	24,0	76	50,7	0,0002
В проекции рубца	73	97,3	32	21,3	<0,0001
Предлежание хориона	72	96,0	74	49,3	<0,0001
(перекрывает внутренний зев)					

Анализ результатов УЗИ в сроки 12-14 недель беременности позволил установить, что отношение шансов врастания при формировании плаценты в проекции рубца возрастало многократно (OR=134,6 [95% CI 31,3-578,5], р<0,0001). Значимыми факторами также являлись расположение плаценты на передней стенке матки (OR=3,25 [95% CI 1,75-6,04], p=0,0002) и полное предлежание хориона (OR=24,6 [95% CI 7,43-81,7], p<0,0001). Полученные данные полностью согласуются с результатами исследований других авторов [31]. В то же время, формирование плаценты в проекции рубца было выявлено не у всех пациенток с врастанием плаценты, и у половины беременных ІІ группы (49,3%) было зарегистрировано полное предлежание хориона. Кроме того, ни в одном из наблюдений не были описаны признаки врастания плаценты, рекомендованные для верификации в ранние сроки гестации [105]. Данный факт, безусловно, затрудняет прогнозирование врастания плаценты на основе исключительно УЗИ. Следует также отметить, что определение локализации хориона при проведении ультразвукового исследования в I триместре

беременности до сих пор является предметом дискуссий, поскольку в большинстве случаев при втором скрининговом исследовании расположение нижнего края плаценты относительно внутреннего зева меняется в результате ее «миграции» [9].

Результаты ультразвуковой плацентографии 18-21 сроки недели беременности (таблица 14) показали, что у большинства женщин II группы, предлежание хориона ПО результатам первого скрининг-УЗИ, имевших произошли изменения в локализации плаценты (у 63 из 74 беременных, что составляет 85,1%). У большинства пациенток І группы (98,7%) данная закономерность отсутствовала. Во всех наблюдениях, описывающих феномен миграции плаценты, указывается на направление смещения плаценты от нижнего сегмента к дну матки [40]. Данный феномен объясняется формированием нижнего сегмента матки, растяжением и истончением мышц этой области, а также процессами атрофии ворсин нижнего края плаценты [37, 40]. Известен ряд факторов, затрудняющих миграцию, к числу которых относится высокий акушерский паритет и наличие абортов в анамнезе. В рамках нашего исследования подобные особенности акушерского были анамнеза верифицированы как факторы риска врастания плаценты. Кроме того, по мнению А.В. Буштырева (2017), «препятствием», ограничивающим миграцию плаценты, может служить рубец на матке после кесарева сечения [9]. Учитывая структуру клинических групп нашего исследования (все женщины имели рубец на матке), данный факт не является определяющим предположить, ЧТО формировании предлежания плаценты и отсутствии ее миграции.

Данные, представленные в таблице 14, демонстрируют, что предлежание плаценты (как полное, так и неполное) достоверно чаще регистрировалось у женщин с врастанием плаценты. Следовательно, предлежание плаценты во II триместре максимально увеличивает вероятность данного осложнения (OR=303,3 [95% CI 81,9-1121,7], p<0,0001), а при полном предлежании плаценты шансы возрастают в большей степени в сравнении с неполным (OR=134,7 [95% CI 38,5-471,5], p<0,0001 и OR=5,2 [95% CI 2,13-17,7], p=0,0003 соответственно).

Таблица 14 — Локализация плаценты во II триместре беременности у пациенток I и II групп

Локализация плаценты	I группа	n (n=75)	II группа (n=150)		n	
	абс.	%	абс.	%	р	
Полное предлежание плаценты	55	73,3	3	2,0	<0,0001	
Неполное предлежание плаценты	17	22,7	8	5,3	0,0002	
Низкая плацентация	3	4,0	37	24,7	0,0003	
Нормальная локализация плаценты	0	0	102	68,0	<0,0001	

Результаты ультразвуковой плацентографии в 32–34 недели (таблица 15) позволили установить, что изменения в локализации плаценты в III триместре беременности произошли в обеих клинических группах, в большей степени – у пациенток II группы. Однако и в I группе беременных, в сравнении с \prod триместра, уменьшилось количество случаев показателями полного предлежания плаценты И увеличилось количество женщин низкой плацентацией. Полученные данные несколько противоречат результатам других исследователей, свидетельствующих о невозможности миграции плаценты в врастания [9], но подтверждают факт смещения преимущественно неполном предлежании, при ee ЧТО характерно беременных II группы. У большинства пациенток I группы (у 57 женщин, что составляет 76,0%) плацента располагалась на передней (передне-боковой) стенке матки, тогда как во II группе подобная локализация плаценты имела место только у половины беременных (у 74 женщин, т.е. 49,3%, р=0,0002). Поэтому расположение на передней стенке матки было расценено как значимый фактор риска ее врастания (OR=3,25 [95% CI 1,75-6,04], p=0,0002), но наиболее весомым фактором в III триместре беременности является полное предлежание плаценты (OR=59,1 [95% CI 17,3-202,2], p<0,0001), что согласуется с результатами исследований других авторов [31]. Согласно нашим наблюдениям, в III триместре беременности любой вариант предлежания плаценты существенно увеличивал шансы ее врастания (OR=69,9 [95% CI 25,2-193,9], p<0,0001). Кроме того, вероятность врастания плаценты также существенно возрастала при наличии низкой плацентации (OR=6,5 [95% CI 2,81-15,0], p<0,0001).

Таблица 15 — Локализация плаценты в III триместре беременности у пациенток I и II групп

Локализация плаценты	І груп	па (n=75)	II группа (n=150)		n	
жин жана праценты	абс.	%	абс.	%	р	
Полное предлежание плаценты	41	54,7	3	2,0	<0,0001	
Неполное предлежание плаценты	12	16,0	2	1,3	0,0001	
Низкая плацентация	22	29,3	9	6,0	<0,0001	
Нормальная локализация плаценты	0	0	136	90,7	<0,0001	

Безусловно, на сегодняшний день ультразвуковая эхография решила задачу определения группы высокого риска формирования предлежания плаценты во II триместре беременности, но относительно врастания плаценты, в рамках нашего были исследования, получены неоднозначные результаты. Ультразвуковые маркеры, которые позволили предположить наличие врастания плаценты при скрининг-исследовании в сроки 18-21 неделя, представленные на рисунке 8, свидетельствуют о недостаточной информативности данного вида обследования во II триместре беременности (признаки врастания плаценты были выявлены только у 32,0% женщин). Однако, ультразвуковая диагностика в III триместре беременности имеет решающее значение для верификации специфических признаков врастания плаценты, поэтому большинства беременных І группы ультразвуковые признаки врастания плаценты были выявлены именно в поздние сроки гестации (рисунок 8).



- Наличие аномальных сосудистых лакун в субплацентарном пространстве и подлежащем миометрии с турбулентным кровотоком при допплерографии
- 2 Неравномерность толщины мышечного слоя рубца, истончение до 1 мм
- 3 Радиарные сосуды в ткани плаценты, доходящие до серозной оболочки матки
- 4 Деформация контура передней стенки матки в виде «грыжевого» выпячивания
- 5 Гиперваскуляризация стенок матки в области плацентации в проекции рубца
- 6 Отсутствие гипоэхогенной зоны между миометрием и плацентой
- 7 Признаки врастания плаценты не выявлены

Рисунок 8 — Результаты выявления ультразвуковых маркеров врастания плаценты у пациенток I группы по результатам скрининг-обследования во II-III триместрах гестации и на этапе дородовой госпитализации

Из представленных данных видно, что среди всех ультразвуковых признаков наиболее диагностически значимым при скрининг-обследовании в III триместре беременности оказалась неравномерность толщины мышечного слоя рубца (в том числе его истончение до 1 мм), тогда как отсутствие гипоэхогенной зоны между миометрием и плацентой выявлялось только в 16,0% случаев. Следует отметить, что на основании скрининг-УЗИ в III триместре у 27 пациенток I группы (36,0%) не было выявлено ни одного ультразвукового признака врастания плаценты, у 21 женщины (28,0%) выявлены 2 признака и у одной пациентки (1,3%) – 3 признака.

В стационаре Ш уровня (на этапе дородовой госпитализации) ультразвуковые признаки врастания плаценты были выявлены у 61 (81,3%) беременной (рисунок 8). Наиболее информативными признаками оказались отсутствие гипоэхогенной плацентой 30НЫ между миометрием И гиперваскуляризация стенок матки в области плацентации в проекции рубца при допплерографии. Сочетание двух и более признаков было установлено у 27 (36,0%) беременных, и у 14 (18,7%) пациенток ультразвуковых маркеров врастания плаценты выявлено не было, диагноз был установлен только в процессе кесарева сечения.

Проведенный анализ позволяет заключить, что использование описательных ультразвуковых критериев врастания плаценты не является точным, поскольку базируется на субъективной визуальной оценке, а наличие значительного количества недиагностированных случаев данного осложнения разработки и диктует необходимость внедрения методов комплексного прогнозирования врастания плаценты с ранних этапов диспансеризации беременных с рубцом на матке.

3.4 Составление прогноза врастания плаценты у беременных с рубцом на матке

Основу прогноза врастания плаценты составил клинико-анамнестический подход, который был дополнен информативными ультразвуковыми и лабораторными тестами.

Математический анализ для оценки риска врастания плаценты у беременных с рубцом на матке состоял из выявления зависимости между развитием изучаемого осложнения и рассматриваемыми факторами, определения вероятности врастания плаценты для каждого из выявленных факторов и прогнозирования врастания плаценты на основании совокупности выявленных

факторов риска. Для определения взаимосвязи между вероятностью врастания плаценты и установленными критериями был проведен многофакторный анализ посредством множественной логистической регрессии с включением всех потенциальных факторов риска, установленных при проведении однофакторного анализа (таблица 16).

Таблица 16 — Результаты логистического регрессионного анализа значимости клинико-анамнестических факторов риска врастания плаценты

Инфекционно- воспалительные осложнения в послеоперационном периоде 2,543 0,783 0,0012 12,72 2,74-59,03 Настоящая беременность 4-я и более 1,375 0,299 <0,0001 3,88 2,16-6,97 Кесаревых сечений в анамнезе 2 и более 1,307 0,302 <0,0001 3,69 2,05-6,69 Хронические инфекционно- воспалительные заболевания матки и придатков в анамнезе 1,303 0,357 0,0003 3,68 1,83-7,42 матки и придатков в прерывания беременности до 22 недель 1,22 0,408 0,0029 3,37 1,51-7,5 Курение 0,990 0,474 0,0367 2,69 1,06-6,82 Интергенетический интервал менее 2 лет 0,849 0,361 0,0188 2,34 1,15-4,75 Синдром недифференцированной ДСТ 0,619 0,287 0,031 1,86 1,06-3,26	Факторы риска	Коэф- фициент (β)	Стандартная ошибка	р	Скорреги- рованное OR	95% CI
В послеоперационном периоде Настоящая беременность 4-я и более Кесаревых сечений в анамнезе 2 и более Хронические инфекционно- воспалительные заболевания матки и придатков в анамнезе 3 и более случаев прерывания беременности до 22 недель Курение О,990 О,474 О,361 О,302 О,0001 З,88 2,16-6,97 О,0001 З,69 2,05-6,69 2,0001 3,69 1,51-7,5 6еременности до 22 недель Курение О,990 О,474 О,0367 2,69 1,06-6,82 Интергенетический интервал менее 2 лет Синдром недифференцированной ДСТ О,811 О,290 О,0052 2,25 1,27-3,98	Инфекционно-					
Настоящая беременность 4-я и более 1,375 0,299 <0,0001 3,88 2,16-6,97 Кесаревых сечений в анамнезе 2 и более 1,307 0,302 <0,0001	воспалительные осложнения	2,543	0,783	0,0012	12,72	2,74-59,03
и более1,3750,299<0,00013,882,16-6,97Кесаревых сечений в анамнезе 2 и более1,3070,302<0,0001	в послеоперационном периоде					
2 и более 1,307 0,302 <0,0001	-	1,375	0,299	<0,0001	3,88	2,16-6,97
воспалительные заболевания 1,303 0,357 0,0003 3,68 1,83-7,42 матки и придатков в анамнезе 3 и более случаев прерывания беременности до 22 недель 1,22 0,408 0,0029 3,37 1,51-7,5 Курение 0,990 0,474 0,0367 2,69 1,06-6,82 Интергенетический интервал менее 2 лет 0,849 0,361 0,0188 2,34 1,15-4,75 Синдром недифференцированной ДСТ 0,811 0,290 0,0052 2,25 1,27-3,98	-	1,307	0,302	<0,0001	3,69	2,05-6,69
беременности до 22 недель 1,22 0,408 0,0029 3,37 1,51-7,5 Курение 0,990 0,474 0,0367 2,69 1,06-6,82 Интергенетический интервал менее 2 лет 0,849 0,361 0,0188 2,34 1,15-4,75 Синдром недифференцированной ДСТ 0,811 0,290 0,0052 2,25 1,27-3,98	воспалительные заболевания	1,303	0,357	0,0003	3,68	1,83-7,42
Интергенетический интервал менее 2 лет 0,849 0,361 0,0188 2,34 1,15-4,75 Синдром недифференцированной ДСТ 0,811 0,290 0,0052 2,25 1,27-3,98	• • •	1,22	0,408	0,0029	3,37	1,51-7,5
менее 2 лет Синдром недифференцированной ДСТ 0,849 0,361 0,0188 2,34 1,15-4,75 0,811 0,290 0,0052 2,25 1,27-3,98	Курение	0,990	0,474	0,0367	2,69	1,06-6,82
недифференцированной ДСТ 0,811 0,290 0,0052 2,25 1,27-3,98		0,849	0,361	0,0188	2,34	1,15-4,75
Возраст 31 год и старше 0,619 0,287 0,031 1,86 1,06-3,26	•	0,811	0,290	0,0052	2,25	1,27-3,98
	Возраст 31 год и старше	0,619	0,287	0,031	1,86	1,06-3,26

Процент конкордации 82,67%

Chi-squared – 73,52; p<0,0001

AUC=0,778; 95% Cl 0,718-0,831

Из представленных данных видно, что прогностическая ценность модели логистической регрессии имела следующие характеристики: площадь под ROC-кривой составила 0,778, процент конкордации — 82,67%, что свидетельствует о ее достаточной клинической информативности.

Оценка риска врастания плаценты у беременных с рубцом на матке, с нашей точки зрения, требует дополнения клинико-анамнестических параметров наиболее информативными тестами, установленными в результате ультразвукового и лабораторного обследования беременных в ранние сроки. Таковыми в нашем исследовании являлись сывороточные концентрации специфических белков беременности (РАРР-А, ХГЧ и АФП), превышающие диагностический порог, а также верификация формирования плаценты в проекции рубца по результатам ультразвукового скрининг-обследования в 12-14 недель гестации.

Определение информативности клинических факторов риска, дополненных лабораторно-диагностическими тестами И результатами ультразвукового обследования, позволило разработать оценочно-прогностическую шкалу риска врастания плаценты у беременных с рубцом на матке (таблица 17), основанную на определении отношения правдоподобия (LR), которую целесообразно использовать в конце I – начале II триместров беременности после проведения стандартного скрининг-обследования пациенток. При составлении данной шкалы были учтены все статистически значимые факторы, приводящие к увеличению риска данного осложнения.

Таблица 17 — Шкала оценки риска врастания плаценты у женщин с рубцом на матке

Признаки	LR	95% CI	Балл
Социальные факторы			
Возраст 31 год и старше	1,51	1,03-2,22	2
Курение	2,44	1,06-5,64	2
Акушерско-гинекологический анамнез			
Два и более кесаревых сечений в анамнезе	2,29	1,59-3,31	2

Продолжение таблицы 17

Признаки	LR	95% CI	Балл
4-я и более настоящая беременность	2,04	1,53-2,72	2
3 и более случаев прерывания беременности до 22 недель	2,83	1,43-5,62	3
Интергенетический интервал менее двух лет	1,80	1,01-3,19	2
Инфекционно-воспалительные осложнения в послеоперационном периоде	11,0	2,5-48,4	11
Хронические инфекционно-воспалительные заболевания матки и придатков	2,82	1,62-4,92	3
Соматические заболевания			
Синдром недифференцированной ДСТ	1,62	1,17-2,24	2
Результаты биохимического скрининг-обследования		<u> </u>	
Сывороточная концентрация РАРР-А>1,41 МоМ	2,24	1,75-3,79	2
Сывороточная концентрация АФП≥1,64 МоМ	2,5	1,17-5,36	3
Сывороточная концентрация ХГЧ≥1,41 МоМ	1,45	1,09-2,32	1
Результаты ультразвукового скрининг-обследования в 1	2-14 недел	Ь	
Формирование плаценты в проекции рубца	4,56	3,35-6,22	5
Примечание – LR – отношение правдоподобия; 95% CI – 959	√ доверите	льный интерв	ал.

Результаты оценки риска врастания плаценты по предложенной шкале показали, что средний показатель (M±σ) в I группе женщин 14,03±4,62 балла [95% CI 12,84-15,15], медиана показателя 13,0 (интерквартильный размах 10,75-16,0). Во II группе средний показатель составил $4,67\pm3,09$ балла [95% CI 4,17-5,16], медиана показателя -5,0 (интерквартильный размах 2,0-7,0, р<0,0001). Полученные результаты позволяют заключить, что при индивидуальной оценке при сроке беременности 12-14 недель количество баллов, составляющее 12 и более, позволяет отнести пациентку с рубцом на матке к группе высокого риска врастания плаценты. В І группе суммарную оценку 12 баллов и более имели 62 пациентки, во II группе – одна беременная. Таким образом, шкала риска врастания плаценты, основанная на ретроспективной факторов оценке клинико-анамнестических И результатов стандартного

ультразвукового и биохимического обследования, имеет высокую чувствительность — 82,7% [72,2-90,4%] и специфичность — 99,3% [96,3-99,9%]. Прогностическая ценность положительного результата теста (ПЦПР, positive predictive value) составила 98,4% [91,5-99,9%], отрицательная (ПЦОР, negative predictive value) — 93,9% [88,7-95,7%].

Поскольку к группе «высокого риска» врастания плаценты относятся пациентки с предлежанием плаценты [31, 116, 137] и, согласно нашим наблюдениям, предлежание плаценты в III триместре беременности значительно увеличивает шансы ее врастания (OR=69,9 [95% CI 25,2-193,9], p<0,0001), балльная измерительная система была протестирована на независимой выборке из 50 женщин с предлежанием плаценты без аномалий ее прикрепления. Данная группа была сформирована путем целенаправленной выборки из числа женщин, обследованных в полном объеме с проведением биохимического скрининг-тестирования КГБУ3 И родоразрешенных «Алтайский краевой клинический центр охраны материнства и детства. Перинатальный центр» в 2015-2018 гг. Результаты оценки риска врастания плаценты у женщин с предлежанием плаценты представлены в таблице 18.

Таблица 18 — Тестирование шкалы оценки риска врастания плаценты на независимой выборке женщин с предлежанием плаценты

Ополиса виска но ника на	Врастание	Врастания	Bcero
Оценка риска по шкале	плаценты есть	плаценты нет	Beero
12 баллов и более	62	5	67
11 баллов и менее	13	45	58
Всего	75	50	125

При индивидуальной оценке риска ($M\pm\sigma$) средний показатель в группе женщин с предлежанием плаценты составил 6,98 \pm 3,92 балла [95% CI 5,86-8,09], медиана показателя – 7,0 (интерквартильный размах 4,0-10,0, p<0,0001)

в сравнении с показателем I группы. Предложенная балльная измерительная система обладала не только хорошей чувствительностью (82,7%), но и высокой специфичностью (90,0%) [78,2-96,7%]. Сравнительная оценка информативности каждого фактора предложенной шкалы приведена на рисунке 9.

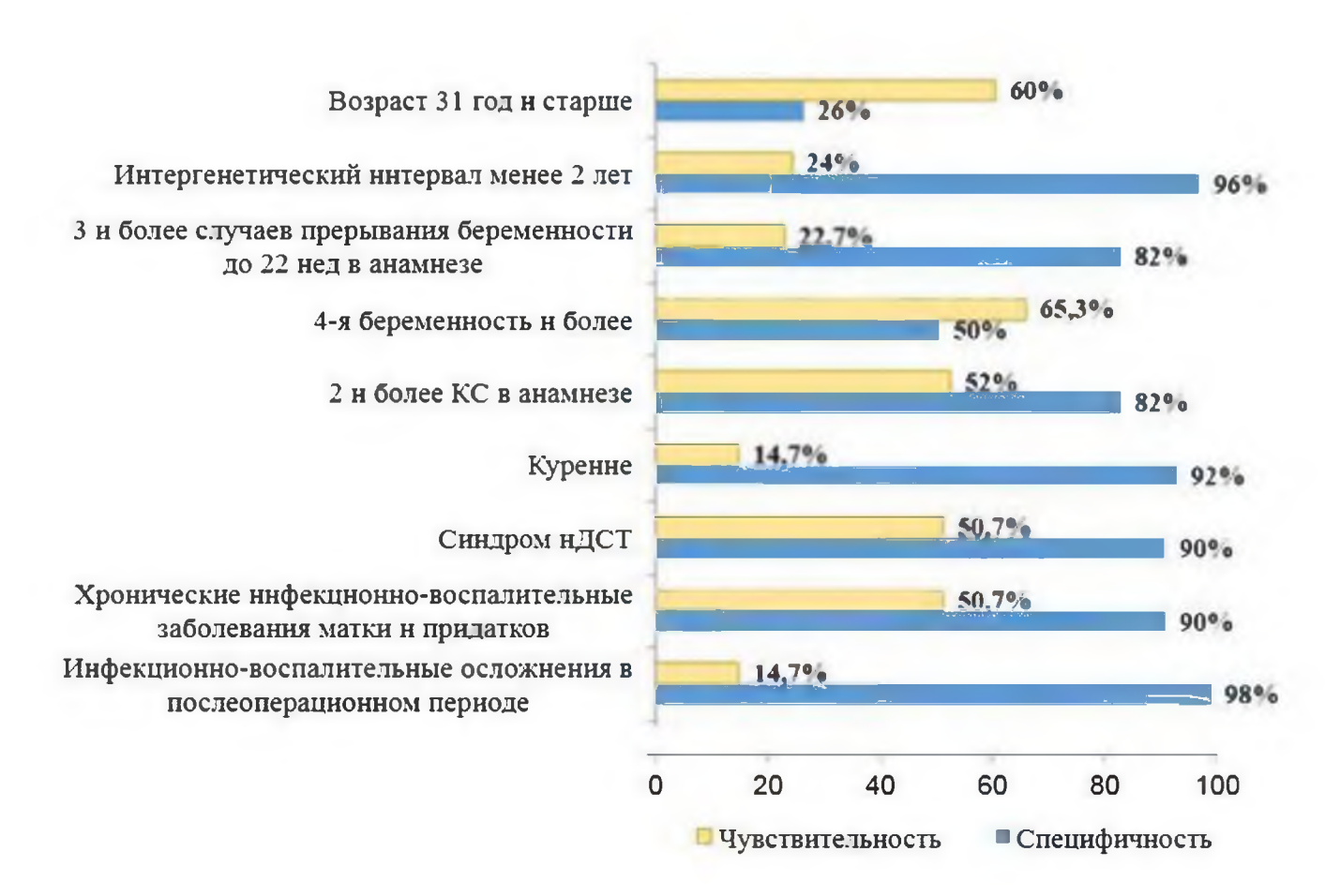


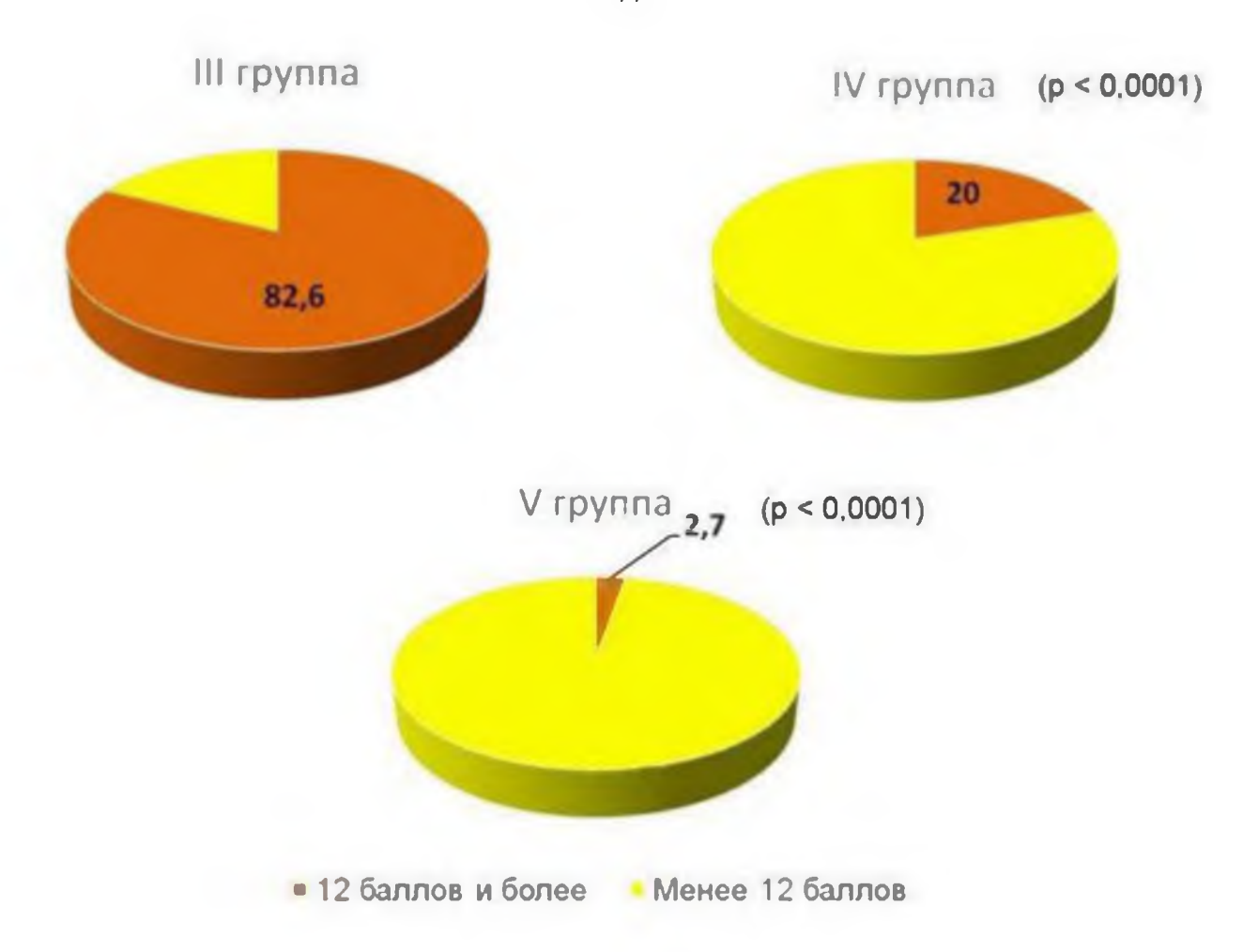
Рисунок 9 — Сравнительная характеристика информативности прогнозирования врастания плаценты на основе отдельных клинико-анамнестических факторов у беременных с предлежанием плаценты

Подводя итог данного раздела работы, следует подчеркнуть, что использование предложенной шкалы позволяет обосновать целесообразность прицельного и расширенного антенатального мониторинга беременных с рубцом на матке и высоким риском врастания плаценты.

3.5 Результаты оценки риска врастания плаценты и ультразвуковой диагностики у женщин с рубцом на матке (проспективное исследование)

рамках нашего исследования выполнена оценка риска врастания плаценты по предложенной балльной измерительной системе у 120 пациенток с рубцом на матке после кесарева сечения, обследованных на втором этапе научного исследования. У беременных с врастанием плаценты (III группа, n=23) средняя оценка составила 13,69±4,58 балла [95% СІ 11,72-15,67], медиана показателя – 14,0 (интерквартильный размах 12,2-15,0). В группе беременных без аномалий локализации и прикрепления плаценты (V группа, n=37) оценка была существенно ниже и составила 4,05±2,66 балла [95% CI 3,17-4,94], медиана показателя -4.0 (интерквартильный размах 2,0-6,0, p<0,0001). Закономерно, что у женщин с формированием плаценты в проекции рубца на матке по результатам ультразвукового исследования в 12-14 недель гестации, но без аномалий ее прикрепления (IV группа, n=60), суммарная оценка в сравнении V группой была выше и составила 9.17 ± 2.26 балла [95% CI 8.58-9.75], медиана показателя -9.0(интерквартильный размах 7,0-11,0, p<0,0001), поскольку отношение шансов врастания при наличии данного признака возрастает многократно (OR=134,6 [95% СІ 31,3-578,5], p<0,0001). В то же время данный показатель был существенно ниже средней оценки риска у пациенток III группы (p<0,0001).

При индивидуальной проспективной оценке риска врастания плаценты по предложенной шкале (рисунок 10) сумма баллов 12 и более установлена у 19 пациенток III группы (82,6%), 12 женщин IV группы (20,0%, p<0,0001 в сравнении с III группой) и у одной беременной V группы (2,7%, p<0,0001 в сравнении с III группой и p=0,1014 в сравнении с IV группой).



Примечание: достоверность различий (p<0,0001) в сравнении с III группой.

Рисунок 10 – Результаты индивидуальной проспективной оценки риска врастания плаценты по предложенной шкале у беременных III, IV и V групп

Сравнительная характеристика информативности отдельных клиникоанамнестических факторов риска врастания плаценты у беременных III, IV и V групп представлена на рисунке 11. Влияния такого значимого фактора, как инфекционно-воспалительные осложнения послеоперационном В периоде, оценить не удалось из-за малого количества пациенток с данным признаком на втором этапе исследования. Полученные результаты свидетельствуют о том, что прогнозирование врастания плаценты на основе отдельных клиникоанамнестических факторов риска недостаточно информативно ввиду низкой чувствительности изолированных параметров.

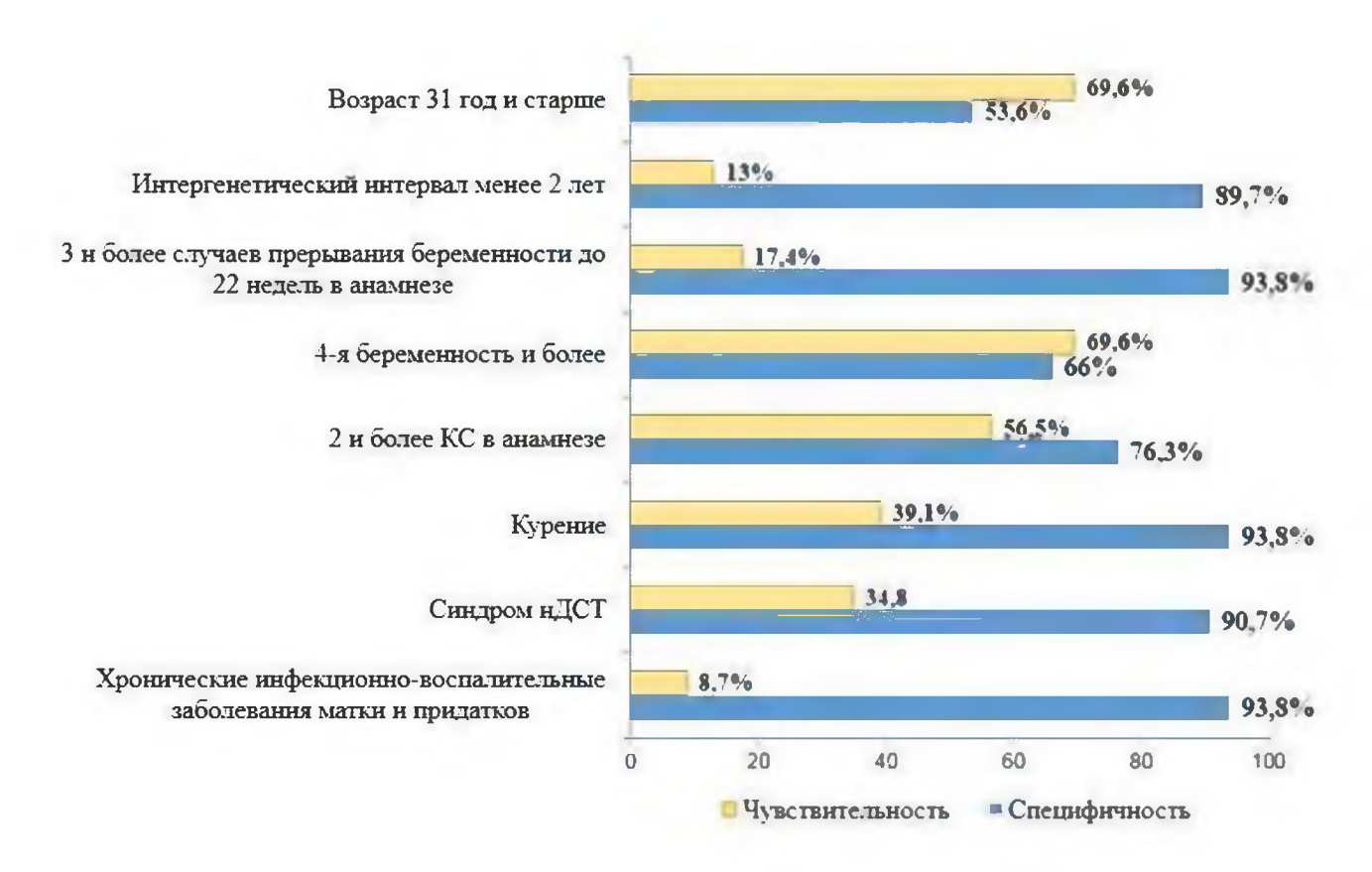


Рисунок 11 – Сравнительная характеристика информативности отдельных клинико-анамнестических факторов риска врастания плаценты у беременных III, IV и V групп

Ультразвуковые маркеры, которые позволили предположить наличие врастания плаценты при первом и втором скрининг-обследовании (в сроки 12-14 и 18-21 недели), представлены в таблице 19. Из представленных данных видно, что в ранние сроки беременности информативные признаки врастания плаценты выявлялись в единичных случаях (21,7%), при втором скрининг-обследовании с прицельным поиском ультразвуковых маркеров в группе риска удельный вес их верификации повысился до 56,5%, но чувствительность оставалась низкой. Наиболее информативными признаками оказались гиперваскуляризация стенок матки в области плацентации в проекции рубца, неравномерность толщины мышечного слоя рубца наличие аномальных сосудистых И субплацентарном пространстве и подлежащем миометрии с турбулентным кровотоком при допплерографии.

Таблица 19 — Результаты выявления ультразвуковых маркеров врастания плаценты у беременных III группы

		Уде	ельный в	ес призн	іака	
Ультразвуковые признаки	І трим	естр	II три	местр	III триместр	
	абс.	%	абс.	%	абс.	%
Отсутствие гипоэхогенной зоны между	1	4,3	1	4,3	3	13,0
миометрием и плацентой		1,5	1	1,5		
Неравномерность толщины мышечного слоя	2	8,7	5	21,7	15	65,2
рубца, истончение до 1 мм	2	-,.	,	21,7	10	05,2
Деформация контура передней стенки матки	0	0	1	4,3	7	30,4
в виде «грыжевого» выпячивания)		-	.,-		
Гиперваскуляризация стенок матки в области	1	4,3	5	21,7	6	26,1
плацентации в проекции рубца	_	-,-	-	,.	_	,-
Наличие аномальных сосудистых лакун в						
субплацентарном пространстве и подлежащем	1	4,3	6	26,1	18	78,3
миометрии с турбулентным кровотоком при		,-	_	,-		70,5
допплерографии						
Радиарные сосуды в ткани плаценты,	0	0	4	17,4	10	43,5
доходящие до серозной оболочки матки			-	,-		,-

Прицельный поиск ультразвуковых маркеров врастания плаценты (таблица 19) в III триместре гестации позволил выявить их у всех пациенток III группы, сочетание двух и более признаков было установлено у 19 (82,6%) беременных.

Положительным результатом проведенного прицельного поиска признаков врастания плаценты можно считать отсутствие верификации последних у пациенток IV группы, в том числе у беременных, имевших оценку 12 баллов и более по предложенной шкале и пациенток с предлежанием плаценты.

3.6 Результаты исследования сывороточных концентраций альфа-фетопротеина и фактора роста плаценты у беременных с врастанием плаценты (проспективное исследование)

На втором этапе работы было проведено проспективное одноцентровое сравнительное исследование с целью оценки уровней фактора роста плаценты и альфа-фетопротеина в динамике гестации у 120 пациенток с рубцом на матке после кесарева сечения, в том числе у 23 беременных с врастанием плаценты (Ш группа). Исследование сывороточных концентраций исследуемых белков производилось однократно в начале второго триместра беременности и в последующем с интервалом 4-6 недель до 34-37 недель гестации.

Исследование уровня АФП в рамках данной работы было обусловлено тем, что поступление белка в материнскую кровь ассоциировано как с возможностью проникновения его в кровоток беременной из амниотической жидкости, так и с особенностями маточно-плацентарного кровообращения [23]. Концентрация АФП в сыворотке крови беременных сравниваемых групп представлена в таблице 20 и на рисунке 12.

Таблица 20 — Концентрация альфа-фетопротеина в сыворотке крови беременных с рубцом на матке, ME/мл

Сроки							
гестации,		III (n=23)	IV (n=60)			V (n=37)	р
нед.	N	Me	n	Me	n Me		
15-20	21	45,2 [37,9-76,5]	24	27,8 [20,5-40,8]	17	32,3 [21,9-41,1]	$p_{\text{III-IV}}$ =0,0018 $p_{\text{III-V}}$ =0,0153 $p_{\text{IV-V}}$ =0,4667
21-24	8	110,5 [92,5-130,0]	14	76,7 [45,9-100,1]	15	73,5 [46,45-96,5]	$p_{\text{III-IV}}$ =0,0378 $p_{\text{III-V}}$ =0,0531 $p_{\text{IV-V}}$ =0,9652

Продолжение таблицы 20

Сроки									
гестации,		III (n=23)		IV (n=60)		V (n=37)	р		
нед.	N	Me	n	Me	n	Me			
25-28	10	169,7 [163,4-173,5]	14	151,1 [115,1-162,3]	16	121,5 [101,7-167,5]	$p_{\text{III-IV}}$ =0,0231 $p_{\text{III-V}}$ =0,0459 $p_{\text{IV-V}}$ =0,4419		
29-32	10	209,2 [203,2-217,3]	9	158,0 [121,1-172,7]	11	150,3 [135,9-185,5]	$p_{\text{III-IV}}$ =0,048 $p_{\text{III-V}}$ =0,0351 $p_{\text{IV-V}}$ =0,4250		
33 и более	12	189,45 [149,2-195,9]	13	165,6 [109,7-189,8]	12	133,0 [105,9-156,7]	$p_{III-IV} = 0,0818$ $p_{III-V} = 0,0117$ $p_{IV-V} = 0,1827$		
Примечание – 1	Примечание – в скобках – интерквартильный размах.								

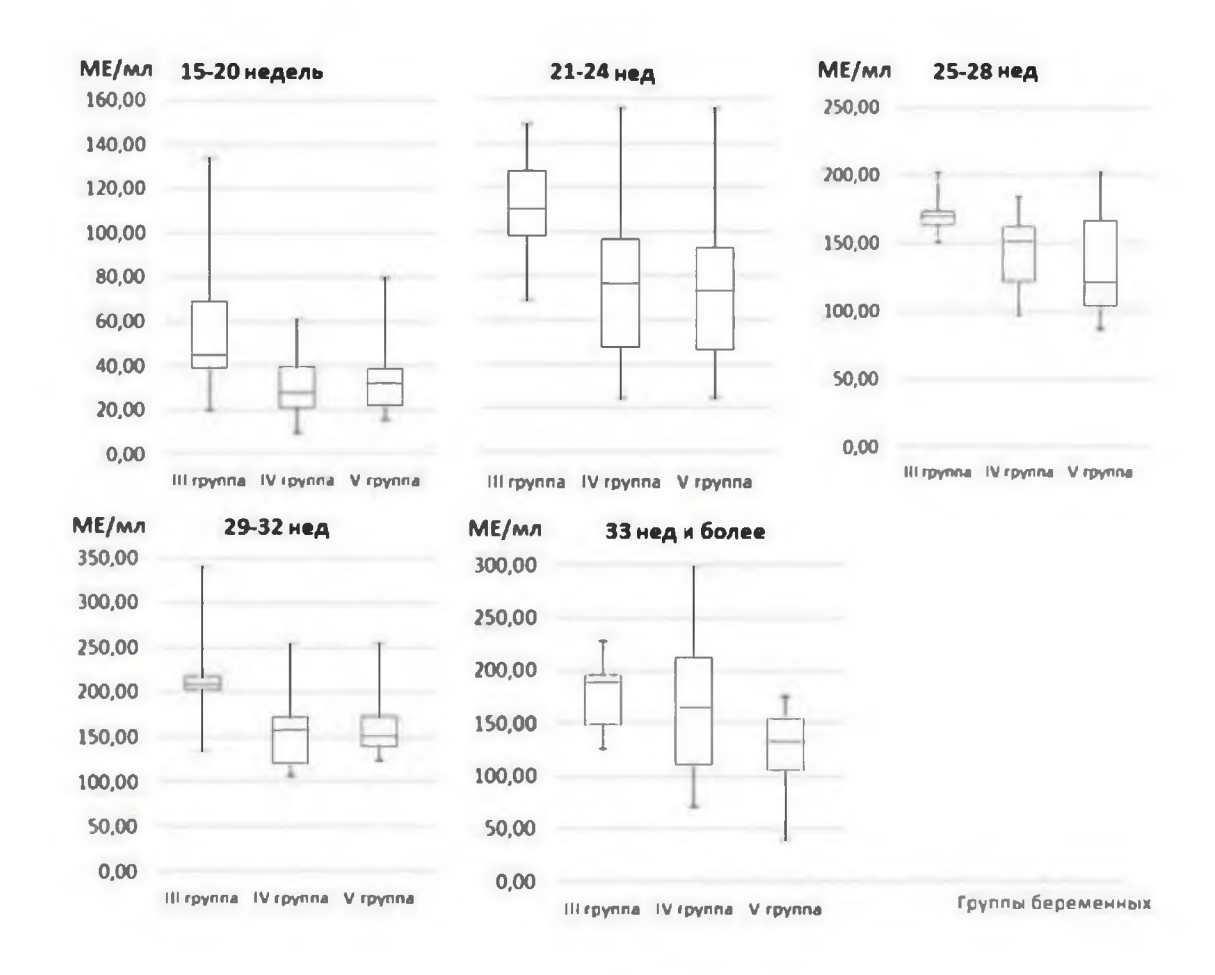
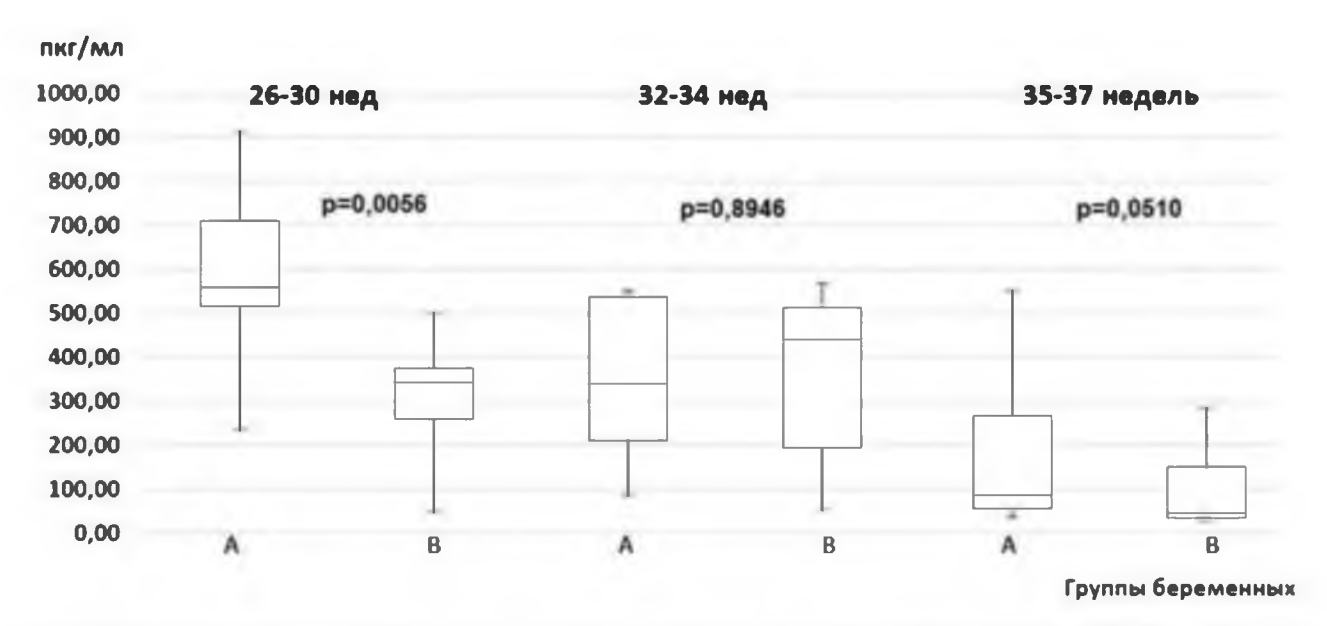


Рисунок 12 – Концентрация альфа-фетопротеина в сыворотке крови (МЕ/мл) беременных III, IV и V групп (медиана и интерквартильный размах)

Из представленных данных видно, что у беременных IV и V групп показатели существенно не различались на протяжении всего периода гестации, тогда как у женщин III группы концентрация белка была выше с ранних сроков до 33 и более недель беременности в сравнении с показателями пациенток как IV, так и V групп.

Современные представления о патогенезе врастания плаценты основаны на изучении морфо-функциональных особенностей, определяющих формирование плаценты с ранних сроков беременности, и важная роль в этом процессе отводится оптимальному влиянию факторов роста. Процессы формирования, роста и развития плаценты находятся в прямой зависимости от экспрессии сосудисто-эндотелиальных ростовых факторов, к числу которых относится фактор роста плаценты (ФРП, PIGF), контролирующий морфо-функциональное становление маточно-плацентарной сосудистой сети [25]. Концентрация фактора роста плаценты в сыворотке крови беременных с рубцом на матке в зависимости от наличия или отсутствия врастания плаценты представлена на рисунке 13.



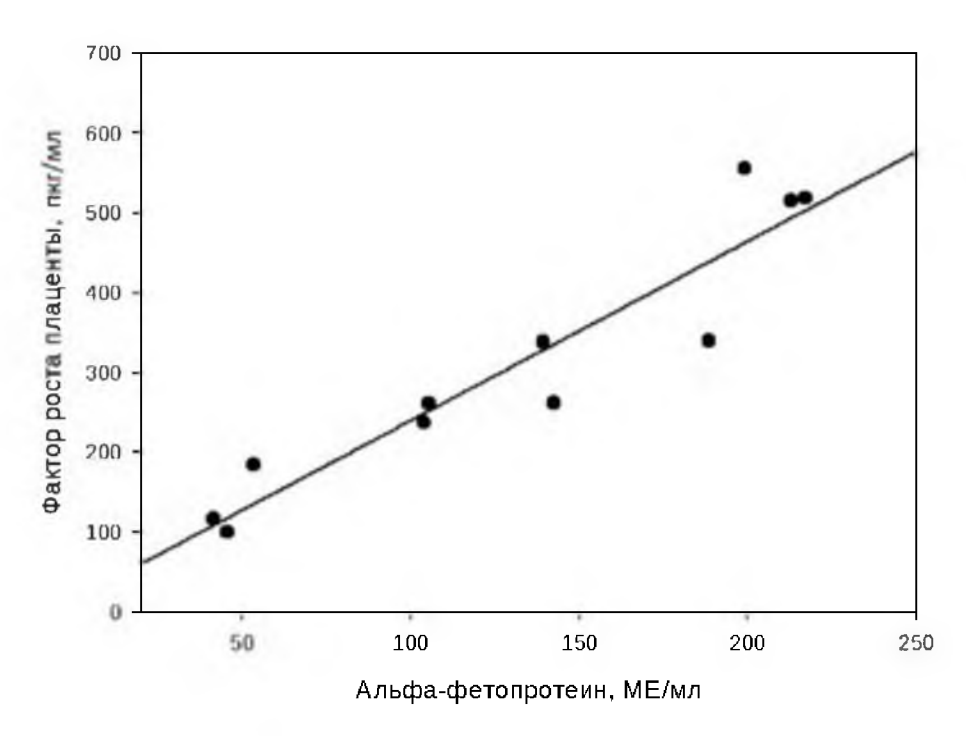
Примечание: А – Пациентки с врастанием плаценты; В – Беременные без аномалий инвазии плаценты.

Рисунок 13 – Концентрация фактора роста плаценты в сыворотке крови (пкг/мл) беременных с врастанием плаценты (III группа) и без аномалий инвазии плаценты (IV и V группы) (медиана и интерквартильный размах)

Наше исследование показало, что у пациенток с врастанием плаценты в период интенсивного роста плаценты отмечено увеличение концентрации PIGF в сроки с 26 по 30 недели гестации что, вероятно, является отражением усиленного плацентарного ангиогенеза. Медиана показателя составила 560,7 пкг/мл (интерквартильный размах 476,8-745,1 пкг/мл), в группе беременных без аномалий инвазии плаценты – 344,3 пкг/мл (интерквартильный размах 259,0-386,5 пкг/мл) (р=0,0056). В сроки беременности 32-34 недели достоверных различий в показателях ФРП установлено не было, медиана показателя у беременных III группы составила 339,4 пкг/мл (интерквартильный размах 181,9-537,9 пкг/мл), у пациенток без аномалий инвазии плаценты – 441,3 пкг/мл (интерквартильный размах 160,0-525,4 пкг/мл, p=0,8946). В сроки беременности от 35 до 37 недель в обеих группах произошло существенное снижение экспрессии ФРП: медиана 85,8 показателя женщин cврастанием плаценты составила (интерквартильный размах 55,3-303,0 пкг/мл), в группе сравнения – 46,4 пкг/мл (интерквартильный размах 33,4-171,1 пкг/мл, p=0,0510).

В процессе корреляционного анализа между концентрацией альфафетопротеина и количественным содержанием фактора роста плаценты в сыворотке крови была установлена прямая зависимость с высокой степенью достоверности (r=0,955; p<0,0001), представленная графически на рисунке 14.

Для оценки прогностической информативности концентрации АФП был произведен расчет диагностического порога концентрации белка при сроках беременности 20-25 недель посредством ROC-анализа (рисунок 15). Диагностический порог для прогноза врастания плаценты врастания плаценты составил 97,8 МЕ/мл, площадь под ROC-кривой =0,833. Чувствительность теста составила 80,0%, специфичность — 85,0%. Риск данного осложнения при показателе концентрации АФП более 97,8 МЕ/мл возрастает в 5 раз (RR=5,33 [95% CI 1,82-15,6], p=0,0022).



Примечание: результаты представлены в виде коэффициента корреляции r Spearman (r=0,955; p<0,0001).

Рисунок 14 — Линейная зависимость между концентрацией фактора роста плаценты и содержанием альфа-фетопротеина в сыворотке крови беременных с врастанием плаценты

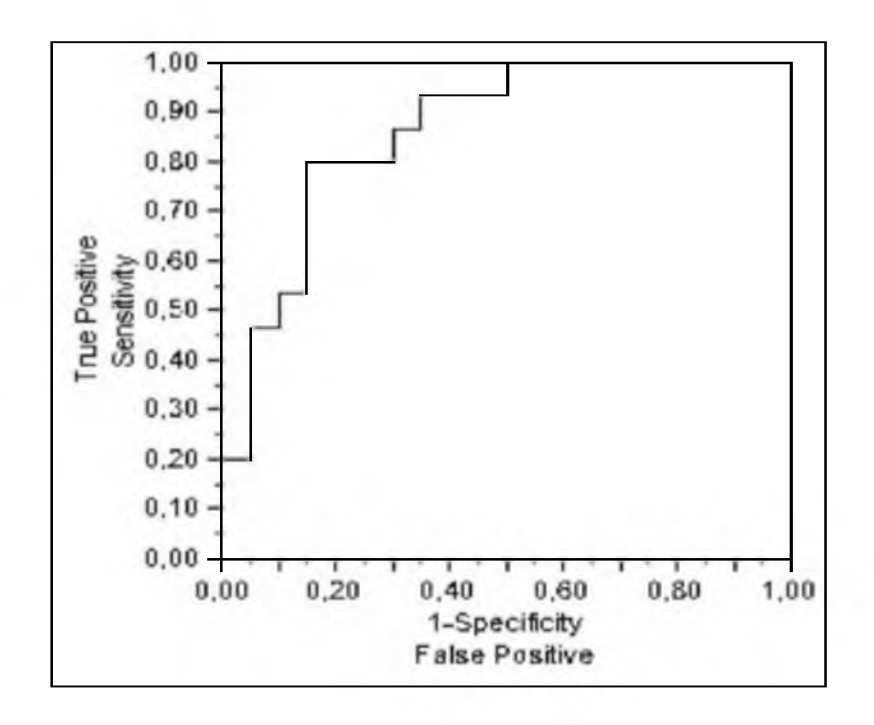


Рисунок 15 — Результаты ROC-анализа для оценки диагностического порога концентрации альфа-фетопротеина в сыворотке крови в сроки беременности 20-25 недель (площадь под ROC-кривой =0,833)

Таким образом, сывороточная концентрация альфа-фетопротеина, составляющая 97,8 МЕ/мл и более при сроках беременности 20-25 недель, может лабораторно-диагностического рассматриваться В качестве показателя, объективно оценивающего риск врастания плаценты. Включение данного теста в обследования программу беременных группы высокого риска создает возможность с высокой долей вероятности прогнозировать врастание плаценты.

Резюме

Проведенное исследование позволило выявить факторы риска врастания плаценты у беременных с рубцом на матке, наиболее значимыми из которых были высокий акушерский паритет, послеоперационные инфекционно-воспалительные осложнения, а также наличие в анамнезе двух и более операций кесарева сечения, хотя неоднократные эпизоды абдоминального родоразрешения в анамнезе не были верифицированы как определяющие факторы и по влиянию на увеличение шансов оказались сопоставимы со значением факторов отягощенного акушерско-Полученные гинекологического анамнеза. результаты также позволяют заключить, что прогнозирование врастания плаценты на основе отдельных клинико-анамнестических факторов риска недостаточно информативно ввиду изолированных В низкой чувствительности параметров. TO же время потенциальная угроза для жизни и здоровья женщины при наличии врастания плаценты определяет необходимость поиска комплексных методов эффективного прогнозирования данного осложнения с перспективой использования не одного, а целого ряда клинических и биохимических маркеров, поскольку УЗИ в рамках стандартного обследования в большинстве случаев не позволяет обеспечить своевременную диагностику. Точность пренатальной диагностики врастания плаценты может повысить комплексный подход, основанный на формировании группы риска в ранние сроки гестации. С целью формирования группы риска, наряду оценкой клинико-анамнестических факторов, целесообразно использовать наиболее информативные из доступных тестов исследования.

Таковыми, в рамках нашей работы, были результаты регламентированного биохимического тестирования в первой половине беременности. Значительное увеличение удельного веса женщин с повышенными уровнями гормонов плодовоплацентарного происхождения (РАРР-А, АФП, ХГЧ) в группе пациенток с врастанием плаценты позволило установить диагностический порог каждого показателя на основании ROC-анализа для использования в комплексной оценке риска как дополнение к отягощающим клинико-анамнестическим факторам.

С целью принятия клинических решений и обоснования необходимости проведения расширенного антенатального мониторинга риск данного осложнения целесообразно оценивать в ранние сроки беременности по предложенной оценочно-прогностической шкале, предполагающей выделение группы женщин с благоприятным прогнозом (при оценке менее 12 баллов) и группы риска врастания плаценты (при суммарной оценке 12 баллов и более).

Выполненное на проспективном этапе работы исследование сывороточных концентраций роста альфа-фетопротеина фактора плаценты И повышение концентраций данных маркеров фето-плацентарного гомеостаза, находящихся в прямой корреляционной взаимосвязи, у женщин с врастанием течение всего периода гестации. Наиболее использования в практическом акушерстве является определение концентрации альфа-фетопротеина, как информативного предиктора врастания плаценты. Включение данного теста в программу обследования беременных группы высокого риска может способствовать повышению точности доклинической диагностики с помощью визуализирующих методов обследования маршрутизации пациенток в специализированные стационары с достаточными диагностическими возможностями.

Глава 4 АКУШЕРСКИЕ И ПЕРИНАТАЛЬНЫЕ ИСХОДЫ У ЖЕНЩИН С РУБЦОМ НА МАТКЕ И ВРАСТАНИЕМ ПЛАЦЕНТЫ

4.1 Особенности течения беременности и сроки родоразрешения женщин с врастанием плаценты

Осложнения беременности у женщин ретроспективного этапа работы (I и II группы) представлены в таблице 21.

Таблица 21 – Удельный вес осложнений гестации у женщин I и II групп

Осложнения беременности	I (n=	=75)	II (n=	=150)	p
	абс.	%	абс.	%	
Ранний токсикоз	3	4,0	5	3,3	0,909
Угрожающий аборт (до 21 недели 6 дней)	29	38,7	43	28,7	0,173
Угрожающие преждевременные роды (с 22,0 недель до 36 недель 6 дней)	40	53,3	34	22,7	<0,0001
Преждевременные роды	62	82,7	14	9,3	<0,0001
Умеренная преэклампсия	2	2,7	17	11,3	0,05
Анемия	28	37,3	49	32,7	0,592
Результаты ультразвукового обс	следован	ия во П	и III три	местрах	
Гемодинамические нарушения в системе мать-плацента-плод, всего	14	18,7	55	36,7	0,009
Маточно-плацентарные гемодинамические нарушения (IA тип)	11	14,7	48	32,0	0,009
Плодово-плацентарные гемодинамические нарушения (IB тип)	3	4,0	7	4,7	0,918
Задержка роста плода	2	2,7	10	6,7	0,346
Маловодие	5	6,7	13	8,7	0,795
Многоводие	2	2,7	17	11,3	0,053

При анализе течения гестации отмечено, что удельный вес угрожающих абортов в группах сравнения был сопоставим (38,7% и 28,7%, р=0,173), тогда как угрожающие преждевременные роды регистрировались в І группе женщин значительно чаще (53,3% и 22,7%, p<0,0001). Анемия несколько чаще выявлялась у беременных с врастанием плаценты (у 37,3% женщин І группы и 32,7% беременных II группы, p=0,592). Закономерно, что большинство женщин с врастанием плаценты (82,7%) были родоразрешены в сроке до 37 недель (в группе сравнения частота преждевременных родов составила 9,3%, p<0,001). В то же время ряд гестационных осложнений не был характерен для пациенток с врастанием плаценты. У беременных с рубцом на матке без аномалий прикрепления плаценты чаще регистрировались умеренная преэклампсия (2,7% и 11,3%, p=0,05) и плацентарная дисфункция с гемодинамическими нарушениями в системе «мать-плацента-плод» по результатам допплерометрии во III триместрах беременности (18,7% и 36,7%, p=0,009). В обеих группах преобладали нарушения маточно-плацентарного кровообращения (14,7% и 32,0%, p=0.009). Задержка роста плода (2,7% и 6,7%, p=0.346) и маловодие (6,7% и 8,7%, р=0,795) по результатам УЗИ регистрировались в группах сравнения с одинаковой частотой.

На втором (проспективном) этапе исследования относительно осложнений гестации были выявлены аналогичные закономерности (таблица 22): в группе пациенток с врастанием плаценты также достоверно чаще регистрировались преждевременные роды и анемия, удельный вес которой в 2-3 раза превышал аналогичные показатели беременных без аномалий инвазии плаценты. Кроме того, у женщин ІІІ группы не было зарегистрировано случаев преэклампсии.

Поскольку клинико-анамнестические характеристики женщин с врастанием плаценты, обследованных на ретроспективном и проспективном этапах исследования, были практически одинаковы (глава 2), закономерно, что не было выявлено и статистически значимых различий и в частоте осложнений беременности у пациенток I и III групп (таблица 23).

Таблица 22 – Удельный вес осложнений гестации у женщин III и IV и V групп

0				Группы :	женщин		
Осложнения	III (n	n=23)	IV (r	n=60)	V (n	=37)	
беременности	абс.	%	абс.	%	абс.	%	p
							p _{III–IV} =0,648
Ранний токсикоз	2	8,7	2	3,3	1	2,7	p _{III-V} =0,669
							p _{IV-V} =0,660
							p _{III-IV} =0,200
Угрожающий аборт	7	30,4	9	15,0	8	21,6	p _{III-V} =0,646
							p _{IV-V} =0,578
Vгрожающие							p _{III–IV} =0,190
Угрожающие преждевременные роды	8	34,8	11	18,3	7	18,9	p _{III-V} =0,282
							p _{IV-V} =0,845
							p _{III-IV} <0,0001
Преждевременные роды	17	73,9	3	5,0	2	5,4	p _{III-V} <0,0001
							p _{IV-V} =0,699
							p _{III-IV} =0,203
Умеренная преэклампсия	0	0	7	11,7	3	8,1	p _{III-V} =0,429
							p _{IV-V} =0,824
							p _{III-IV} =0,089
Анемия	9	39,1	11	18,3	5	13,5	p _{III-V} =0,0493
							p _{IV-V} =0,736
Результаты ул	ьтразву	кового о	бследов	ания во	II и III า	гримест	pax
Маточно-плацентарные							p _{III-IV} =0,135
гемодинамические	7	30,4	8	13,3	11	29,7	p _{III-V} =0,816
нарушения							p _{IV-V} =0,086
Плодово-плацентарные							p _{III-IV} =0,629
гемодинамические	0	0	1	1,7	1	2,7	p _{III-V} =0,808
нарушения							p _{IV-V} =0,691
							p _{III–IV} =0,938
Задержка роста плода	0	0	2	3,3	2	5,4	p _{III-V} =0,694
							p _{IV-V} =0,997

Продолжение таблицы 22

Осложнения беременности		Группы женщин							
	III (n=23)		IV (n=60)		V (n=37)		n		
	абс.	%	абс.	%	абс.	%	р		
							p _{III-IV} =0,250		
Маловодие	3	13,0	2	3,3	1	2,7	$p_{III-V} = 0,306$		
							p _{IV-V} =0,660		
							p _{III-IV} =0,648		
Многоводие	2	8,7	2	3,3	2	5,4	p _{III-V} =0,669		
							p _{IV-V} =0,984		

Таблица 23 — Сравнительная характеристика осложнений гестации у женщин с врастанием плаценты, обследованных на ретроспективном и проспективном этапах работы

Осложнения беременности	I (n=	=75)	III (r	n=23)	p
	абс.	%	абс.	%	
Ранний токсикоз	3	4,0	2	8,7	0,723
Угрожающий аборт (до 21 недели 6 дней)	29	38,7	7	30,4	0,635
Угрожающие преждевременные роды	40	53,3	8	34,8	0,177
(с 22,0 недель до 36 недель 6 дней)	10	33,3		3 1,0	0,177
Преждевременные роды	62	82,7	17	73,9	0,527
Умеренная преэклампсия	2	2,7	0	0	0,967
Анемия	28	37,3	9	39,1	0,928
Результаты ультразвукового обс	ледован	ия во II і	и III три	местрах	
Маточно-плацентарные гемодинамические	11	14,7	7	30,4	0,164
нарушения (ІА тип)		1,,,	,	5 0,1	0,101
Плодово-плацентарные гемодинамические	3	4,0	0	0	0,777
нарушения (IB тип)		.,,	Ů		9,777
Задержка роста плода	2	2,7	0	0	0,967
Маловодие	5	6,7	3	13,0	0,596
Многоводие	2	2,7	2	8,7	0,504

При анализе сроков беременности на момент родов установлено, что абсолютное большинство пациенток I (78,7%) и III (73,9%, p=0,844) групп были родоразрешены при сроке беременности более 34 недель. Максимальная частота операций приходилась на поздние преждевременные роды в сроке гестации 34,0-36,6 недель и не имела значимых различий в сравниваемых группах (таблица 24). При этом следует отметить, что у каждой шестой пациентки І группы роды произошли при сроке беременности 37 недель (17,3%). Возможность пролонгирования беременности была связана с отсутствием антенатальной диагностики врастания плаценты у пациенток с неполным ее предлежанием отсутствием клинических показаний досрочному родоразрешению (кровотечения). У пациенток III группы срочные роды были зарегистрированы в 6 случаях (26,2%, p=0,520). Детальный анализ сроков родоразрешения представлен в таблице 24.

Таблица 24 – Сроки родоразрешения пациенток с врастанием плаценты

Сроки родоразрешения		ппа I =75)	Груп (n=	р	
	абс.	%	абс.	%	
22-27 недель и 6 дней	2	2,7	0	0	0,967
28-30 недель и 6 дней	1	1,3	1	4,3	0,962
31-33 недели и 6 дней	13	17,3	5	21,7	0,866
34-36 недель и 6 дней	46	61,4	11	47,8	0,360
37 недель и более	13	17,3	6	26,2	0,520

Таким образом, в результате проведенного сравнительного анализа установлено, что у пациенток с врастанием плаценты на I и II этапах исследования сроки родоразрешения не имели достоверных различий.

4.2 Родоразрешение женщин с врастанием плаценты

При сравнительной оценке исходов беременности у женщин I и III групп в качестве критериев эффективности предложенной системы прогнозирования врастания плаценты были использованы следующие показатели: частота гистерэктомий, продолжительность операции, общий объем кровопотери, объем и качество инфузионно-трансфузионной терапии. Также выполнен анализ перинатальных исходов.

Известно, что главной проблемой при родоразрешении пациенток с врастанием плаценты является профузное неконтролируемое кровотечение, которое может являться причиной материнской смертности. В мировой практике протяжении длительного времени в качестве единственного метода, позволяющего сохранить жизнь женщины, рассматривалась акушерская гистерэктомия. Однако последние ГОДЫ ознаменовались разработкой мультидисциплинарных стратегий, направленных снижение на интраоперационной кровопотери производить И позволяющих органосохраняющее хирургическое вмешательство, суть которого заключается в реконструкции стенки матки после резекции измененного участка миометрия единым блоком с подлежащей плацентой. Поэтому на ретроспективном этапе работе гистерэктомия преобладала в структуре родоразрешения (53 случая, что составляет 70,7%) пациенток с данным осложнением (рисунок 16). На втором (проспективном) этапе работы данный объем оперативного вмешательства был выполнен только в двух случаях (8,7%, p<0,0001).



Рисунок 16 – Структура методов оперативного родоразрешения женщин с врастанием плаценты (2012-2020 годы)

В настоящее время российские исследователи широко применяют и описывают разнообразные методы хирургической профилактики и остановки эмболизация кровотечения (лигирование И магистральных сосудов, сосудистых использование временных зажимов Сатинского, наложение турникетных жгутов на основание широких связок и шеечно-перешеечную область, компрессионные швы различных модификаций, управляемая баллонная тампонада матки и др.), которые наряду с современными технологиями кровесбережения и адекватным инфузионно-трансфузионным обеспечением позволяют проводить органосохраняющие операции без фатальных последствий для матери и плода. Вместе с тем, по мнению многих авторов, вышеописанные мероприятия далеко не всегда могут являться гарантией адекватного гемостаза,

а продолжающееся кровотечение, в ряде случаев, вынуждает хирурга принимать интраоперационное решение о проведении гистерэктомии [7, 44, 48, 70].

С целью установления факторов, обусловливающих объем оперативного вмешательства и обеспечивающих успешное проведение метропластики, на заключительном этапе исследования нами проведен анализ показаний, объемов, технических особенностей и основных показателей, характеризующих исходы операции для матери плода у всех 98 пациенток (75 – І группы и 23 – ІІІ группы), родоразрешенных в КГБУЗ «Алтайский краевой клинический центр охраны материнства и детства. Перинатальный центр» (главный врач – к.м.н. Смирнов К.В.) в период с 2012 по 2020 годы.

В зависимости от объема операции 75 пациенток I этапа исследования (I группа) были разделены на 2 подгруппы: IA составили 53 женщины с выполненной гистерэктомией, в IB были включены 22 пациентки, которым после проведения кесарева сечения была выполнена органосохраняющая операция (метропластика). По аналогичному принципу 23 женшины II этапа исследования (III группа) сформировали подгруппы IIIA (2 пациентки) и IIIB (21 пациентка).

Всем пациенткам I и II этапа исследования на первой стадии хирургического лечения после проведения лапаротомии были выполнены различные модификации кесарева сечения (донное, корпоральное, в нижнем сегменте). При этом детальный анализ протоколов операций показал, что всем беременным с подозрением на врастание плаценты вскрытие брюшной полости проводилось нижнесрединным доступом, в ряде случаев (при проведении сагиттального разреза в дне матки), с обходом пупка слева. Лапаротомия по Пфанненштилю или Джоэл-Кохену свидетельствовала об отсутствии подозрения на врастание плаценты до операции.

Анализ последующей хирургической тактики показал, что на I этапе исследования (до 2017 года включительно) после проведенного кесарева сечения тотальная гистерэктомия была выполнена у 30 женшин (40,0%), субтотальная – у 23 пациенток (30,7%) и только в 22 случаях (29,3%) проведена органосохраняющая операция. При этом следует отметить, что до 2015 года

преобладали у пациенток Ι группы радикальные объемы оперативного вмешательства. Так, из 21 гистерэктомии, выполненной в данный промежуток времени, экстирпация матки проведена у 19 (90,5%), а ампутация – только у 2 пациенток (9,5%, p<0,0001). Данный факт во многом обусловлен отсутствием собственного клинического опыта (в том числе недостаточными навыками специалистов УЗ-диагностики) и при наличии любого подозрения на врастание плаценты по данным УЗИ в большинстве случаев, в качестве операции выбора, позволяющей предотвратить летальный исход, нами рассматривалась экстирпация матки. Кроме того, на I этапе исследования из 75 пациенток диагноз врастания плаценты (или подозрение на него) антенатально был установлен только у 61 (81,3%) беременной. В 14 (18,7%) случаях наличие патологической инвазии плаценты было заподозрено интраоперационно. При интраоперационной диагностике врастания плаценты после проведения соответствующей подготовки (формирование квалифицированной бригады и подключение аппарата для реинфузии эритроцитов) в большинстве случаев, также была выполнена тотальная гистерэктомия.

Исходный настрой на проведение тотальной гистерэктомии в данный промежуток времени во многом определял выбор разреза на матке при проведении кесарева сечения. При этом у большинства пациенток выполнялся сагиттальный разрез в дне матки с последующей экстирпацией. Помимо этого, донное кесарево сечение считалось фактором, ограничивающим возможность проведения органосохраняющей операции, поскольку препятствовало иссечению передней стенки с подлежащей плацентой, непосредственно из разреза. В этих случаях для проведения метропластики приходилось производить второй разрез на матке на передней стенке выше верхнего края плаценты, тем самым формируя дополнительный рубец на матке. По мере увеличения количества пациенток, а также обретения навыков УЗ-диагностики и хирургического опыта выполнения оперативных вмешательств, уже на I этапе исследования после 2015 года существенно возросло количество субтотальных гистерэктомий органосохраняющих операций. Так, из 32 гистерэктомий, выполненных

в 2015-2017 гг., экстирпация матки произведена только у 11 женщин (34,4%), а в 21 случае (65,6%) проведена субтотальная гистерэктомия, преимуществами которой были снижение величины кровопотери и длительности операции. Если при проведении экстирпации средний объем кровопотери составлял 2220,0±1515,3 мл, а длительность операции 152,9±73,4 мин, то при ампутации матки данные показатели снижались до 1866,0±1153,95 мл и 131,0±64,4 мин соответственно (p=0,1208 и p=0,0270).

Анализ статистики органосохраняющих операций на I этапе исследования подчинялся той же закономерности. Из 22 проведенных метропластик только 3 (13,6%) были выполнены до 2015 года, а в период 2016-2017 гг. произошел существенный рост числа органосохраняющих операций (19 случаев, что составляет 86,4%, p<0,0001).

При анализе хирургической тактики на II этапе исследования установлено, что с 2018 года произошли радикальные изменения в структуре объемов оперативного вмешательства. Так, из 23 проведенных операций тотальная гистерэктомия произведена только у двух пациенток III группы (8,7%), а в 21 случае была выполнена метропластика (91,3%, p<0,0001). При этом у беременных III группы в 100% случаев имела место антенатальная диагностика врастания плаценты.

По мере увеличения количества органосохраняющих операций менялся и подход к локализации разреза на матке при проведении кесарева сечения. Если на І этапе исследования преобладал донно-сагитальный разрез с последующей экстирпацией, то на ІІ этапе ведущее место стал занимать поперечный корпоральный разрез на матке выше верхнего края плаценты, позволяющий проводить иссечение измененной передней стенки с ее последующей реконструкцией и формированием единого рубца на матке.

При анализе величины кровопотери мы не выявили достоверных различий между пациентками I и II этапа исследования (таблица 25).

Таблица 25 – Общая характеристика объема кровопотери у женщин с врастанием плаценты

Объем кровопотери,	Группа I (n=75)		Группа 1	III (n=23)	n
МЛ	абс.	0/0	абс.	%	р
Менее 999	15	20	5	21,7	0,906
1000-1499	14	18,7	4	17,4	0,868
1500-1999	17	22,7	6	26,1	0,956
2000-2999	19	25,3	3	13,1	0,347
Более 3000	10	13,3	5	21,7	0,517

С целью уменьшения объема кровопотери на I этапе исследования в ряде случаев применялись экстравазальные методы дополнительного гемостаза с привлечением сосудистого хирурга. При этом из 53 пациенток подгруппы IA данные методы были использованы у 12 (22,6%) женщин (лигирование ВПА – у 6, временное клиппирование ВПА – у 6), а у 41 (77,4%) пациентки оперативное вмешательство проводилось без использования дополнительных методов деваскуляризации. При выполнении органосохраняющих операций в подгруппе IB временное клиппирование ВПА имело место в 2 (9,1%) случаях, а у 20 (90,9%) пациенток дополнительные методы гемостаза использованы не были.

Оценка эффективности дополнительных способов интраоперационного гемостаза у пациенток I этапа исследования представлена в таблице 26.

Ретроспективный анализ эффективности способов гемостаза в зависимости от объема оперативного вмешательства показал, что в подгруппе IA (гистерэктомия) средний объем кровопотери при перевязке ВПА составил 2775±1173 мл, при временном клиппировании ВПА – 2260±1825 мл, а без проведения дополнительных методов деваскуляризации – 1876±1117 мл (р=0,0734 и р=0,4405). При этом частота массивной кровопотери (2 000 мл и более) при использовании экстравазальных методов в среднем увеличивалась в 1,3 раза.

Таблица 26 — Оценка эффективности дополнительных способов интраоперационного гемостаза у пациенток I этапа исследования

		Подгрупг	ıa IA		Подгруппа IB				
Объем	(гис	терэктом	ия, n=5	3)	(ме	тропласти	22)		
кровопотери, мл	перевязка/ без де-		де-	пере	вязка/	без де-			
/ способ	клиппи	рование	васк	уля-	клиппи	ирование	васк	уля-	p
гемостаза	ВП	A (1)	ризац	ии (2)	ВП	A (3)	ризац	ии (4)	
Temocrasa	(n=	=12)	(n=	41)	(n	=2)	(n=	20)	
	абс.	%	абс.	%	абс.	%	абс.	%	
Менее 999	0	0	11	26,8	0	0	4	20,0	p ₂₋₄₌ 0,793
									$p_{1-2}=0,779$
1000-1499	2	16,7	6	14,6	1	50,0	5	25,0	$p_{1-4}=0,914$
									$p_{2-4}=0,524$
									$p_{1-2}=0,686$
1500-1999	4	16,7	7	17,1	1	50,0	5	25,0	p ₁₋₄ =0,934
									p ₂₋₄ =0,699
									$p_{1-2}=0,927$
2000-2999	2	33,3	12	29,3	0	0	5	25,0	$p_{1-4}=0,921$
									$p_{2-4}=0,962$
									$p_{1-2}=0,202$
Более 3000	4	33,3	5	12,2	0	0	1	5,0	$p_{1-4}=0,103$
									$p_{2-4}=0,668$

У пациенток подгруппы IB при проведении метропластики перевязка ВПА не применялась ни в одном случае, а временное клиппирование ВПА, использованное у 2-х женщин, не привело к уменьшению величины кровопотери в сравнении с пациентками, у которых экстравазальные методы гемостаза отсутствовали. Данный факт вполне согласуется с мнением других исследователей о недостаточной эффективности данных способов гемостаза при врастании плаценты в связи с наличием коллатерального кровоснабжения перешеечной области и нижнего сегмента матки [91, 97, 133].

Принимая во внимание низкую эффективность вышеописанных методов гемостаза и необходимость привлечения смежных специалистов, на II этапе исследования от их использования отказались. При этом с целью уменьшения объема кровопотери стали широко применяться другие кровесберегающие деваскуляризация матки посредством двусторонней перевязки маточных сосудов, наложение компрессионных швов различных модификаций на нижний сегмент матки, управляемая баллонная тампонада маточным вагинальным модулем, а также их комбинация. Учитывая, что на втором этапе исследования гистеэктомия была выполнена только у двух пациенток, провести сравнение эффективности различных способов гемостаза в зависимости от объема оперативного вмешательства не представляется возможным. Поэтому выполнена сравнительная оценка эффективности дополнительных способов интраоперационного гемостаза только в подгруппе женщин с выполненной метропластикой (таблица 27).

Таблица 27 – Оценка эффективности дополнительных способов интраоперационного гемостаза у пациенток II этапа с метропластикой

	Подгруппа III В (метропластика, n=21)						
Объем	компрессиионные		управляемая баллонная		сочетание двух и		
кровопотери, мл /	швы (1)		тампонада (2)		более методов (3)		
способ гемостаза	(n=9)		(n=13)		(n=12)		p
	абс.	%	абс.	%	абс.	%	
							$p_{1-2}=0,734$
Менее 999 мл	1	11,1	2	15,4	2	16,7	p ₁₋₃ =0,789
							p ₂₋₃ =0,648
							$p_{1-2}=0,876$
1000-1499	2	22,2	2	15,4	3	25	$p_{1-3}=0,712$
							p ₂₋₃ =0,921
							$p_{1-2}=0,833$
1500-1999	3	33,4	5	38,4	3	25	$p_{1-3}=0,947$
							$p_{2-3}=0,773$

Продолжение таблицы 27

	Подгруппа III В (метропластика, n=21)						
Объем	компрессиионные швы (1)		управляемая баллонная тампонада (2)		сочетание двух и более методов (3)		p
кровопотери, мл /							
способ гемостаза	(n=9)		(n=13)		(n=12)		
	абс.	%	абс.	%	абс.	%	
							$p_{1-2}=0,734$
2000-2999	1	11,1	2	15,4	2	16,7	$p_{1-3}=0,789$
							$p_{2-3}=0,648$
							$p_{1-2}=0,876$
Более 3000	2	22,2	2	15,4	2	16,7	$p_{1-3}=0,807$
							p ₂₋₃ =0,648

В соответствии с Порядком оказания медицинской помощи по профилю «акушерство и гинекология» и клиническим протоколом МЗ РФ «Профилактика, лечение и алгоритм ведения при акушерских кровотечениях» от 2014 г., в качестве базового метода деваскуляризации матки у пациенток подгруппы ШВ при проведении органосохраняющих операций в 100% случаев была использована перевязка маточных сосудистых пучков с обеих сторон и во всех случаях проводилась реинфузия аутоэритроцитов посредством использования аппарата «Cell-Saver 5+», который после сбора крови из операционной раны осуществляет отмывание эритроцитов в центрифуге и их возврат в сосудистое русло. Результаты проведенного анализа показали, что для обеспечения адекватного 9 случаях (42,9%)интраоперационного гемостаза В было достаточно изолированной перевязки маточных сосудов. У 12 (57,1%) пациенток было предпринято сочетание нескольких способов уменьшения кровопотери. При этом у 6 (28,6%) женщин были использованы два дополнительных метода гемостаза и еще у 6 (28,6%) – 3 метода. Оценка величины кровопотери показала, что при изолированной перевязке маточных артерий средний объем потери крови составил 1192,8±306,3 мл, а при сочетании нескольких методов остановки

кровотечения — 1850±1127,8 (p=0,154), в том числе двух методов — 1233,3±647,04 мл (p=0,885), трех — 2466,7±1211,1 мл (p=0,0206). Однако данный факт не может свидетельствовать о максимальной эффективности изолированной деваскуляризации матки, но указывает на то, что отсутствие полноценного гемостаза после лигирования маточных сосудов всегда требует проведения дополнительных мероприятий по остановке кровотечения.

Для сравнения исходов беременности и оценки эффективности предложенной системы прогнозирования в рамках собственного исследования представлены два клинических случая.

Первый клинический случай. Пациентка К., 35 лет. Настоящая беременность пятая. Первая завершилась преждевременными родами путем кесарева сечения в связи с отсутствием эффекта от родовозбуждения при дородовом излитии околоплодных вод в 34 недели гестации. Вторая закончилась плановым абдоминальным родоразрешением в доношенном сроке. Исходом третьей беременности было искусственное прерывание в 9 недель, осложненное перфорацией матки с последующим ушиванием перфорационного отверстия и гемотрансфузией. Четвертая завершена в 32 недели оперативным путем в экстренном порядке в связи с несостоятельностью послеоперационного рубца на матке. Настоящая беременность наступила через 1 год после предыдущих родов.

Результаты скрининг-обследования: при проведении УЗ-скрининга в сроке 11 недель и 5 дней диагностировано формирование хориона по передней стенке матки. По данным УЗ-скрининга в сроке 22 недели — плацента расположена по передней стенке, нижний край на уровне внутреннего зева, структура плаценты неоднородная за счет субхориального расширения МВП, мышечный слой в проекции рубца толщиной 3,5 мм.

Исследование концентраций специфических белков беременности: PAPP-A 1,39 MoM, XГЧ – 1,12 MoM.

Риск врастания плаценты (оценка выполнена ретроспективно) по оценочнопрогностической шкале составил 13 баллов (**высокий**). В сроке гестации 34 недель госпитализирована в перинатальный центр в связи с появлением симптомов угрожающих преждевременных родов. При проведении УЗИ установлено: плацента располагается по передней стенке в проекции рубца на матке, нижний край плаценты определяется на 30 мм выше внутреннего зева, в структуре плаценты преобладает чередование зон повышенной и пониженной эхогенности, рубец на матке состоятелен на всем протяжении. При оценке состояния плода диагностировано наличие двойного контура туловища, гидроторакса, кардиомегалии. В связи с наличием фетопатии неясного генеза принято решение о необходимости досрочного завершения беременности в интересах плода.

Родоразрешение: После проведения нижнесрединной лапаротомии и адгезиолизиса установлено, что передняя стенка нижнего сегмента матки формированием всей истончена «маточной грыжи» ПО площади послеоперационного рубца на матке и пролабированием плацентарной ткани по центру (рисунок 17). Матка вскрыта во внеплацентарной области поперечным корпоральным разрезом. За ножки извлечен живой недоношенный плод мужского пола, массой 2 320 грамм, длиной 42 см, с оценкой по шкале Апгар 2/4 балла. Плацента оставлена *in situ*. Матка сократилась, признаков отделения плаценты нет, четко сформировались границы плацентации. После низведения мочевого пузыря и поэтапного лигирования множественных мелких кровоточащих сосудов, произведено обширное иссечение передней стенки матки и нижнего сегмента по границам плаценты в пределах полноценного миометрия (рисунок 18) с последующим восстановлением ее целостности за счет отдельных викриловых перитонизацией пузырно-маточной складкой. Общая швов частичной кровопотеря — 1 800 мл. Продолжительность операции — 106 минут.

Исходный Нв перед операцией -97 г/л, после окончания операции -76 г/л.

Течение послеродового периода без осложнений. Продолжительность послеродовой госпитализации: 7 суток

Гистологическое заключение: placenta increta с локальным врастанием в область послеоперационного рубца и нижнего сегмента матки.



Рисунок 17 – «Маточная грыжа» области несостоятельного рубца на матке



Рисунок 18 — Макропрепарат: плацента с фрагментом миометрия нижнего сегмента в месте врастания

Второй клинический случай. Пациентка Ш., 33 лет, настоящая беременность четвертая. Первая закончилась срочными абдоминальными родами в связи с отсутствием эффекта от родовозбуждения при дородовом излитии околоплодных вод. Вторая беременность — неразвивающаяся, завершилась выскабливанием полости матки в первом триместре. Третья завершена посредством планового кесарева сечения при наличии рубца на матке в сочетании с крупными размерами плода. Настоящая беременность наступила через 1,5 года после предыдущих родов.

Результаты скрининг-обследования: УЗИ в 11 недель и 5 дней – диагностировано предлежание хориона без атипического кровотока. Уровень специфических белков беременности: РАРР-А – 1,783 МоМ, ХГЧ – 0,68 МоМ. Риск врастания плаценты по оценочно-прогностической шкале составил 15 баллов (высокий), что послужило поводом для повторного УЗ-исследования при сроке 13 недель и 3 дня; описаны признаки неполноценности послеоперационного рубца на матке (истончение мышечного слоя до 1 мм с полным его отсутствием на участке 23 мм и наличием в этой зоне множественных сосудов с радиальным расположением) и маркеры патологической инвазии: хорион лакунарного строения с множественными расширениями МВП до 15-20 мм и турбулентным током крови. УЗ-скрининг при сроке гестации 20 недель и 4 дня выполнен в отделении УЗ-диагностики перинатального центра, результат подтвердил наличие центрального предлежания плаценты со структурой лакунарного типа и наличие признаков несостоятельности рубца на матке.

Уровень ФРП в 16 недель составил 237 пкг/мл; АФП в 24 недели – **104,03 МЕ/мл.**

При сроке беременности 30 недель и 4 дня госпитализирована в перинатальный центр. В период госпитализации проводилась антианемическая терапия, осуществлена заготовка 990,0 мл аутоплазмы.

Родоразрешение произведено в плановом порядке в сроке гестации 35 недель и 3 дня в связи с появлением признаков угрожающих преждевременных родов без эффекта от токолитической терапии. Операция начата в условиях развернутого аутогемотрансфузиологического обеспечения. До начала операции на операционном столе во влагалище введен вагинальный модуль без наполнения баллона. При вскрытии брюшной полости диагностирована несостоятельность послеоперационного рубца на матке с формированием «маточной грыжи» размером 6×5 см (рисунок 19). Матка вскрыта поперечным корпоральным разрезом во внеплацентарной области. За ножки извлечен живой недоношенный плод женского пола массой 2 380 г, длиной 50 см, с оценкой по шкале Апгар 6/7 баллов.

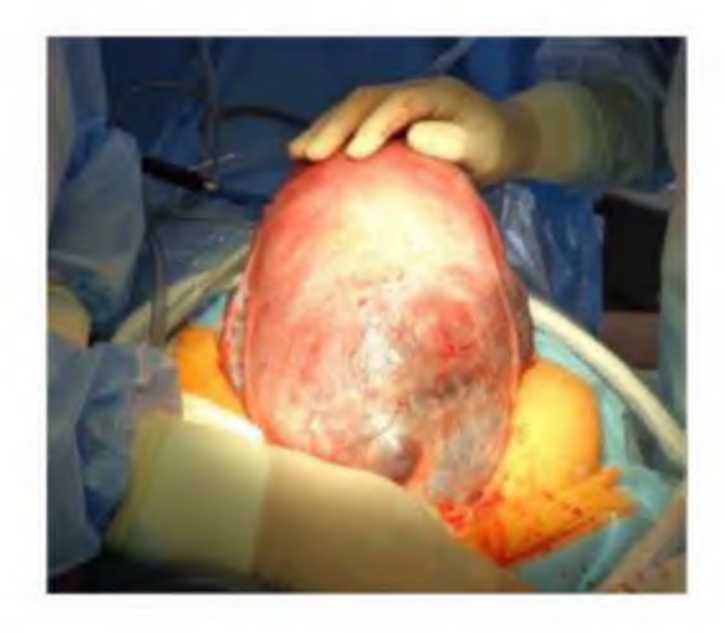


Рисунок 19 – Несостоятельный рубец на матке с формированием «маточной грыжи»

Плацента оставлена in situ. Матка сократилась, признаков отделения плаценты нет, четко сформировались границы «маточной грыжи». Произведено наполнение баллона вагинального модуля стерильным раствором. После низведения мочевого пузыря и перевязки восходящих ветвей маточных артерий с обеих сторон начато бережное отделение плаценты от задней стенки матки. По мере отделения плаценты и обнажения кровоточащих сосудов плацентарной площадки проводилось наложение отдельных поперечных компрессионных швов. В области истончения миометрия использовалось наложение отдельных наружноматочных сборочных швов на заднюю стенку матки. Область истонченного послеоперационного рубца и часть нижнего сегмента матки с несостоятельным миометрием иссечена в пределах неизмененной мышечной ткани вместе с вросшей плацентой. Иссечение проводилось поэтапно, с временным наложением кровоостанавливающих зажимов на края раны. В дальнейшем произведена обширной реконструкция (метропластика) раны передней стенки матки посредством наложения отдельных викриловых швов. Общая кровопотеря -1800 мл. Длительность операции – 110 минут. Интраоперационно: собрано 1 680 мл аутокрови, возвращено 870 мл отмытых аутоэритроцитов. Исходный показатель гемоглобина -97 г/л, на пике кровопотери -77 г/л, после трансфузии

аутоэритроцитов — 92 г/л. Течение послеоперационного периода: без осложнений. Продолжительность послеродовой госпитализации: 6 суток.

Гистологическое заключение: При исследовании иссеченного фрагмента стенки нижнего маточного сегмента в миометрии обнаружены группы склерозированных ворсин, выпадение фибриноида (рисунок 20).

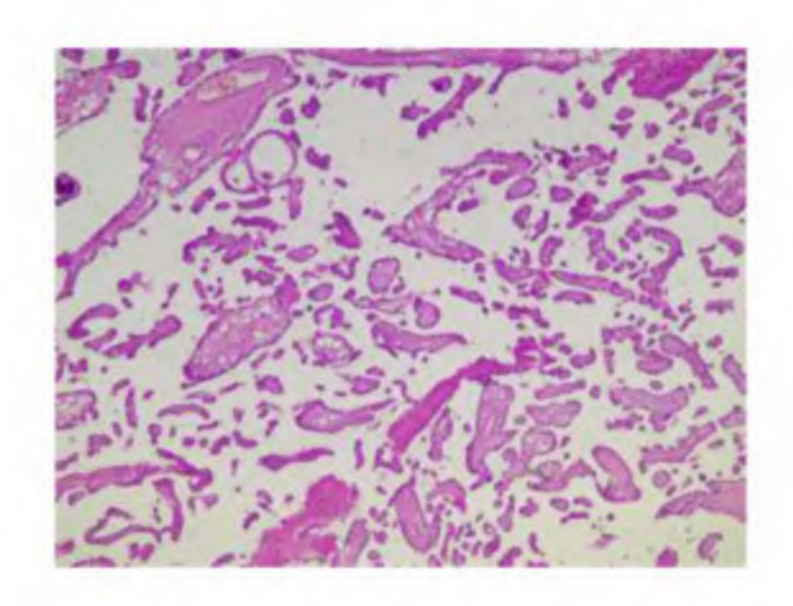


Рисунок 20 — микропрепарат: Placenta increta. Фрагмент передней стенки нижнего сегмента матки с кровеносными сосудами, имеющими расширенный просвет, в которомопределяются ворсины хориона. Мышечные пучки разволокнены.

Окраска гематоксилином и эозином, ×200.

Таким образом, несмотря на более обширный участок врастания плаценты с большей глубиной инвазии у пациентки Ш. (обследованной на проспективном этапе работы) в сравнении с пациенткой К. (случай из ретроспективного этапа работы), благодаря своевременной диагностике врастания плаценты и проведенной предоперационной подготовке удалось провести органосохраняющее оперативное вмешательство с сопоставимой кровопотерей.

Интересным аспектом, с нашей точки зрения, является оценка величины кровопотери в зависимости от гистологического варианта врастания плаценты. Распределение морфологических вариантов врастания плаценты по результатам гистологического исследования в общей выборке пациенток представлено на рисунке 21.

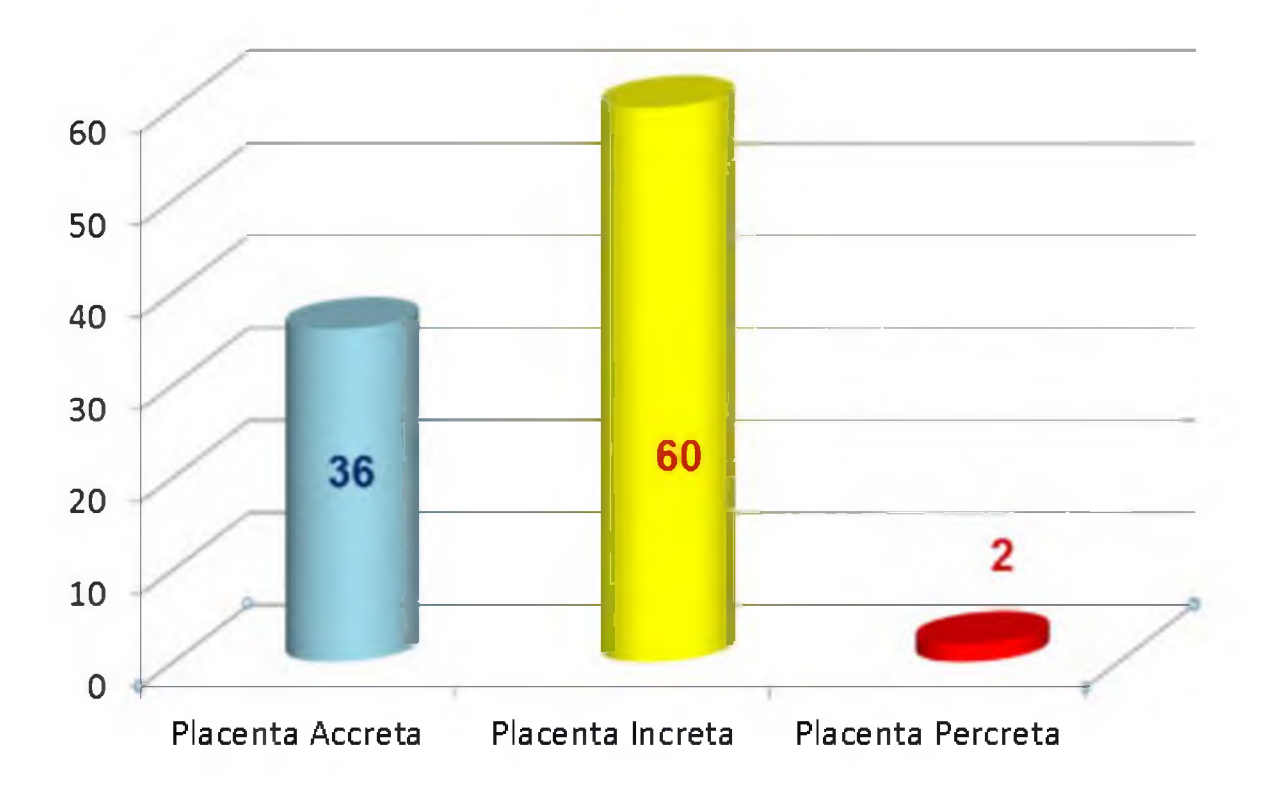


Рисунок 21 – Гистологические варианты врастания плаценты (в абсолютных цифрах)

При этом удельный вес аналогичных гистологических вариантов среди женщин, обследованных на I и II этапах работы, был сопоставимым: placenta асстеtа выявлена в 29 случаях на I этапе работы (38,7%) и в 7 – на II этапе (30,4%, p=0,635) placenta increta – у 44 (58,7%) и 16 женщин (69,6%, p=0,488) соответственно, placenta регстеtа зарегистрирована только в двух случаях на ретроспективном этапе исследования (2,7%, p=0,967).

Характеристика продолжительности операции, количественные и качественные показатели объёма кровопотери и инфузионно-трансфузионной терапии в зависимости от глубины инвазии плаценты по результатам гистологического исследования представлены в таблицах 28 и 29.

Из представленных в таблицах 28, 29 данных видно, что объем кровопотери сопряжен с глубиной инвазии плаценты.

Таблица 28 — Продолжительность операции (мин), объем кровопотери (мл) и инфузионно-трансфузионной терапии (мл) в зависимости от глубины инвазии плаценты

	Гистологический вари			
Показатели	placenta accreta	placenta increta/percreta	p	
	(n=36)	(n=62)		
Продолжительность операции,	116,4±53,4	140,3±65,5	0,0761	
мин	110, 1=33, 1	110,3=03,3	0,0701	
Общий объём кровопотери, мл	1548,9±1328,0	2177,9±1246,3	0,0291	
Общий объём ИТТ, мл	4524,9±4639,3	5750,9±3411,5	0,1461	
В том числе:				
Объём трансфузии донорской	1089,1±944,6	931,5±531,7	0,5164	
СЗП, мл	1005,1=511,0	331,34331,7	0,3101	
Объём трансфузии	981,8±534,1	1157,3±268,9	0,0897	
аутоплазмы, мл	J01,0±33 1,1	1137,3=200,5	0,0007	
Объём трансфузии	469,4±396,7	854,7±467,9	0,0003	
аутоэритроцитов, мл	707,74370,7	037,1-701,2	0,000	

Таблица 29 — Характеристика объёма кровопотери и инфузионно-трансфузионной терапии в зависимости от глубины инвазии плаценты по результатам гистологического исследования

	Гистолог				
Показатели	placenta accreta		placenta increta/percreta		p
Показатели	(n=36)		(n=62)		
	абс.	%	абс.	%	
Кровопотеря до 1500 мл	22	61,1	16	25,8	0,0012
Кровопотеря 1500-1999 мл	9	25,0	14	22,6	0,9816
Кровопотеря 2000 мл и более	4	11,1	32	51,6	0,0001
Применение аппаратной	25	69,4	57	91,9	0,0088
реинфузии аутоэритроцитов	25	, , ,		, ,,,	,,,,,,,,,,,,,,,,,,,,,,,,,,,,,,,,,,,,,,,
Трансфузия аутоплазмы	19	52,8	43	69,4	0,1538

Продолжение таблицы 29

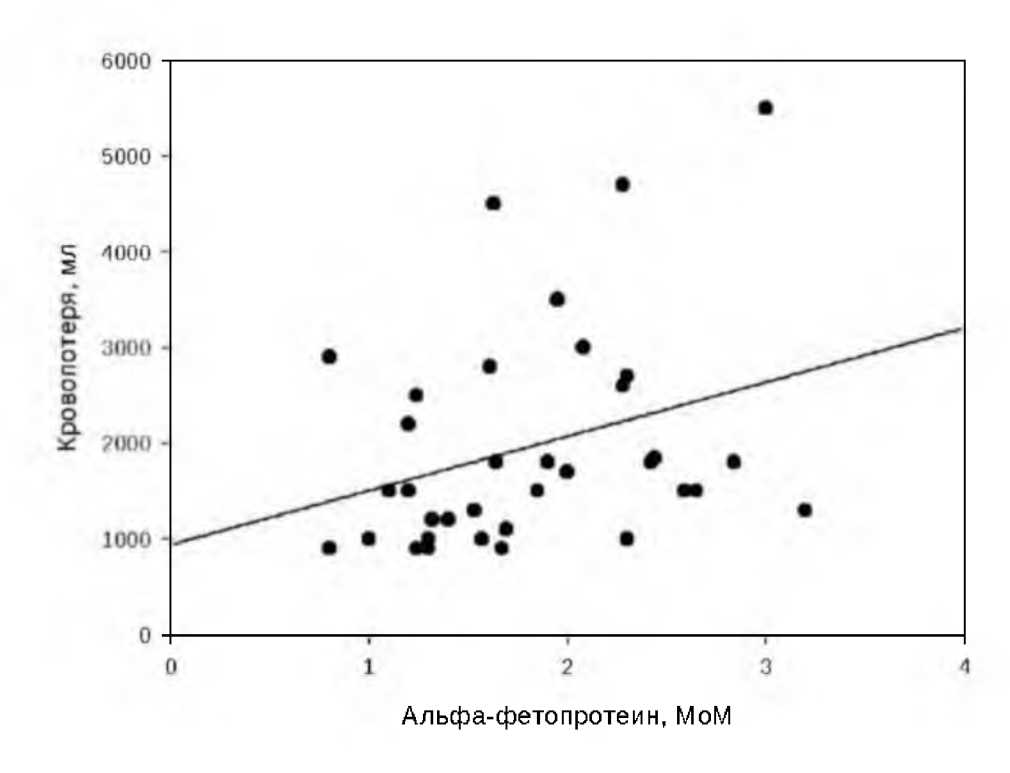
Показатели	Гистолог				
	placenta accreta		placenta increta/percreta		р
	(n=36)		(n=62)		
	абс.	%	абс.	%	
Трансфузия донорских эритроцитов	4	11,1	13	20,9	0,3373
Трансфузия донорской СЗП	11	30,6	34	54,8	0,0351

Определенный интерес представляет также стратификация пациенток с врастанием плаценты в зависимости от глубины ее инвазии в сопоставлении с белков показателей специфических удельным весом беременности, диагностический порог. В превышающих рамках нашего исследования определение концентрации двух и более биохимических маркеров было выполнено у 94 пациенток (в том числе у 34 беременных с placenta accreta и 60 женщин с placenta increta). Анализ распределения удельного веса концентраций специфических белков беременности, превышающих диагностический порог, в зависимости от глубины инвазии плаценты представлен в таблице 30.

Таблица 30 – Удельный вес показателей специфических белков беременности, превышающих диагностический порог, в зависимости от глубины инвазии плаценты

	Группы женщин с врастанием плаценты				
Показатели	placenta accreta		placenta increta/percreta		р
	абс.	%	абс.	%	
PAPP более 1,41 MoM (n=88)	11/28	39,3	30/60	50,0	0,4791
АФП более 1,64 MoM (n=40)	2/12	16,7	16/28	57,1	0,0448
ХГЧ более 1,41 МоМ	16/34	47,1	32/60	53,3	0,7165
Повышение двух маркеров выше	8/34	23,5	19/60	31,7	0,5439
диагностического порога					

данных видно, что глубина инвазии Из представленных оказалась статистически значимо сопряжена с повышением концентрации АФП выше диагностического порога и показатель белка, составляющий 1,64 МоМ и более, в 3,4 раза чаще регистрировался у пациенток с placenta increta (p=0,0448). Поэтому глубины установленная прямая связь инвазии плаценты интраоперационной кровопотери позволила провести корреляционный анализ между показателями АФП и объемом кровопотери (рисунок 22). После оценки характера распределения объема кровопотери (W=0,805, p<0,001) и показателей АФП было установлено, что концентрация белка достоверно не подчиняется нормальному (параметрическому) распределению (W=0,963, p=0,300), поэтому корреляционного анализа был использован коэффициент корреляции r Spearman.



Примечание: результаты представлены в виде коэффициента корреляции r Spearman (r=0,339, p=0,0462).

Рисунок 22 — Линейная зависимость между концентрацией альфа-фетопротеина в сыворотке крови (в виде показателя MoM) и величиной интраоперационной кровопотери у беременных с врастанием плаценты

Полученный результат (r=0,339, p=0,0462, рисунок 22) позволяет предположить, что повышение концентрации $A\Phi\Pi$ выше диагностического порога может косвенно указывать не только на высокий риск врастания плаценты, но и на глубину ее инвазии.

4.3 Перинатальные исходы у женщин с врастанием плаценты

В ходе исследования нами проведена сравнительная оценка антропометрических и клинических параметров детей, рожденных пациентками I и III групп.

Все дети родились живыми, случаев перинатальной смертности не было. Масса тела детей при рождении в І группе варьировала от 740 г до 3 760 г. Средняя масса новорожденных ІІІ группы (2510,0±597,4 г) существенно не отличалась от показателя І группы (2586,7±541,3, p=0,763) с размахом колебаний от 1 700 г до 3 540 г. При этом следует отметить, что подавляющее большинство детей обеих групп имели массу тела более 2 000 г (81,4% в І группе и 82,6% в ІІІ группе, p=0,859), поскольку в структуре сроков гестации преобладали поздние преждевременные роды.

Анализ состояния детей при рождении показал, что в реанимационных ДРО мероприятиях интенсивной терапии В **УСЛОВИЯХ** нуждались 48 новорожденных I группы (64,0%) и 14 детей III группы (60,9%, p=0,982), а различные способы респираторной поддержки сразу после рождения были необходимы большинству новорожденных, как І (41 ребенок, что составляет 54,7%), так и ІІІ групп (14 детей, т.е. 60,9%, p=0,776). В обеих группах преобладали неинвазивные (CPAP, NIV) способы вентиляции легких, которые были применены у 28 новорожденных I группы (37,3%) и 11 детей III группы (47,8%, p=0,511). ИВЛ потребовалась 13 новорожденным І группы (17,3%) и 3 детям III группы (13,0%, p=0,868).

При анализе особенностей течения раннего неонатального периода достоверных различий по удельному весу заболеваний новорожденных в группах сравнения не выявлено (таблица 31). В детское реанимационное отделение сразу после рождения были переведены 48 новорожденных І группы (64,0%) и 14 детей ІІІ группы (60,9%, p=0,982). Продолжительность неонатальной госпитализация у детей на І и ІІ этапе исследования была практически одинаковой и составила 5,4±4,4 к/дня и 5,5±3,6 к/дней соответственно (p=0,9672).

Большинство новорожденных обеих групп (76,0% детей I группы и 69,6% III группы, p=0,732) были переведены на II этап выхаживания, а 24,0% и 30,4% детей соответственно — выписаны из родильного дома в удовлетворительном состоянии на педиатрический участок.

Таблица 31 — Удельный вес основных показателей здоровья новорожденных І и III групп в раннем неонатальном периоде

	Группы новорожденных							
Показатели	I (n=75)		III (n=23)		p			
	абс.	%	абс.	%				
Масса тела при рождении, г:								
до 1999	14	18,6	4	17,4	0,868			
2000-2499	20	26,7	7	30,4	0,936			
2500-2999	26	34,7	5	21,8	0,571			
3000 и более	15	20	7	30,4	0,447			
Длина тела, см:								
до 45	17	22,7	2	8,7	0,237			
от 45 до 49	30	40,0	11	47,8	0,673			
50 и более	28	37,3	10	43,5	0,772			
Заболевания в неонатальном периоде:								
РДС	30	40,0	12	52,2	0,252			
Пневмония	13	17,3	5	21,7	0,313			
Гипоксически-ишемическое поражение ЦНС	44	58,7	12	52,2	0,756			

Продолжение таблицы 31

	Группы новорожденных				
Показатели	I (n=75)		III (n=23)		р
	абс.	%	абс.	%	
Анемия	9	12	2	8,7	0,951
Неонатальная желтуха	25	33,3	7	30,4	0,996
Задержка внутриутробного развития	6	8,0	2	8,7	0,367
Сочетание двух и более					0,936
нозологических форм	42	56,0	12	52,2	

Таким образом, в результате проведенного исследования установлено, что по основным показателям здоровья новорожденные I и II этапа исследования были практически идентичны, а их состояние после рождения определялось, главным образом, сроком беременности на момент родоразрешения.

Резюме

Проведенный анализ родоразрешения беременных с рубцом на матке и врастанием плаценты позволяет заключить, что комплексный подход к поэтапному прогнозированию и диагностике данного осложнения способствует улучшению исходов беременности для женщин за счет увеличения числа органосохраняющих операций. В то же время в нашей работе не было получено значимого различия по объему кровопотери в зависимости от вариантов дополнительных использования методов гемостаза как на первом (перевязка/клиппирование ВПА), так и на втором этапах исследования (УБТ, компрессионные швы или их сочетание).

Стратификация объема кровопотери и инфузионно-трансфузионной терапии показала четкую сопряженность объема интраоперационной кровопотери и необходимости трансфузии донорской СЗП (несмотря на идентичный удельный

вес аутоплазмодонорства) с глубиной врастания плаценты по результатам гистологического исследования. Также было установлено, что глубина инвазии статистически значимо сопряжена с повышением концентрации АФП выше диагностического порога. Корреляционный анализ между объемом кровопотери и показателями АФП, основанный на выявленной взаимосвязи глубины врастания плаценты с обеими стратами (г=0,339, p=0,0462), позволяет предположить, что повышение концентрации АФП может косвенно указывать не только на высокий риск врастания плаценты, но и на глубину ее инвазии, что создает возможности планирования оперативной стратегии для улучшения акушерских исходов с учетом результатов биохимического тестирования беременных.

ЗАКЛЮЧЕНИЕ

В последние годы фиксируется многократное увеличение числа случаев врастания плаценты, представляющего угрозу для жизни и здоровья женщины и до настоящего времени являющегося диагностической проблемой для акушеров. проблемы, обусловленные Возрастающие «молчаливой эпидемией» патологического прикрепления плаценты и трудностями диагностики данного осложнения, способствовали созданию Международного общества под названием «International Society for Abnormally Invasive Placenta (IS-AIP)» [76]. В ряде работ 70% сообщается, ДΟ всех случаев что врастания плаценты диагностируется во время родов или операции [79]. В виду высокого риска массивного кровотечения и витальной угрозы для матери, изучение возможностей прогнозирования и ранней диагностики врастания плаценты остается одним из современного актуальных направлений акушерства, поскольку может способствовать своевременной госпитализации пациентки в стационар III уровня для проведения предоперационной подготовки и выбора оптимальной технологии оперативного родоразрешения. На сегодняшний день имеются многочисленные исследования, указывающие на основные факторы риска врастания плаценты – рубец на матке после кесарева сечения и предлежание плаценты, причем большинство авторов отмечает возрастание риска по мере увеличения числа абдоминальных родов в анамнезе [99, 100, 119, 120, 149, 183]. Золотым стандартом диагностики врастания плаценты в настоящее время является УЗИ с обязательным использованием режима цветового допплеровского картирования [86, 89, 164, 168]. Однако, использование визуализирующих методов до конца не решило проблему диагностики врастания плаценты, многие ультразвуковые критерии имеют неоднозначную оценку [31, 90, 93, 130, 156]. В обзоре литературы по данной проблеме, опубликованном в 2020 году Е.Г. Гуменюк и И.С. Рудаковой, отмечено, что, согласно отечественным источникам, эхографические критерии врастания плаценты не описываются в 20,2% случаев

[15]. Кроме того, наиболее ранним сроком гестации для ультразвуковой диагностики данного осложнения принято считать конец второго триместра беременности [11, 31]. Это послужило основанием для проведения двухэтапного исследования, целью которого было оптимизировать тактику диспансеризации беременных с рубцом на матке и локализацией плаценты в проекции рубца по результатам первого УЗИ-скрининга для более точного прогнозирования и ранней диагностики врастания плаценты на основе выделения группы риска и динамического обследования и наблюдения пациенток в стационарах III уровня.

Задачей первого этапа исследования явилась оценка клиникоанамнестических факторов риска врастания плаценты на основе исследования случай-контроль (75)ретроспективного женщин данным осложнением и 150 пациенток с рубцом на матке без аномалий прикрепления Полученные плаценты). результаты полностью согласуется мировой статистикой эпидемиологии врастания плаценты относительно основного фактора риска – наличия двух и более кесаревых сечений в анамнезе [13, 88, 114, 115, 125]. В то же время, в рамках нашего исследования, половина (48%) женщин с врастанием плаценты имели в анамнезе однократное кесарево сечение, что несколько отличается от результатов многофакторного анализа, выполненного А.А. Винницким (2018): автор пришел к заключению, что значимое влияние на риск оказывает не факт наличия рубца на матке, а количество кесаревых сечений в анамнезе, причем каждый эпизод абдоминальных родов повышает шанс врастания плаценты в 2,6 раза [10]. Поэтому нельзя не согласиться с мнением В.Б. Цхая и соавт. (2019) о возможности врастания плаценты не только у беременных с рубцом на матке после предшествующей операции кесарева сечения, но и у повторнородящих пациенток с выскабливанием стенок матки в анамнезе [51]. Результаты проведенного исследования позволяют предположить, что анамнестическая отягощенность оказывает не меньшее влияние на риск абдоминального врастания плаценты, чем неоднократные ЭПИЗОДЫ родоразрешения: имеет значение возраст женщин старше 30 лет, 4-я и более настоящая беременность, наличие трех и более случаев прерывания беременности

до 22 недель (как самопроизвольных, так и искусственных) в анамнезе. Достоверная сопряженность данного осложнения установлена интергенетическим интервалом менее двух лет, инфекционно-воспалительными предшествующих операций, осложнениями после наличием хронических инфекционно-воспалительных заболеваниями матки и придатков, а также курением. Возрастание риска врастания плаценты в старшем возрасте, у курящих, при высоком акушерским паритете, наличии инфекционно-воспалительных осложнений в послеродовом периоде и гнойно-септических заболеваний гениталий в анамнезе отмечено многими авторами, тогда как ряд предикторов, отраженных других работах (индекс массы тела, позднее неразвивающаяся беременность в анамнезе) в рамках нашего исследования подтверждения не нашли [10, 110, 123, 144, 150, 153, 183, 130]. При анализе соматической отягощенности установлено, что шансы увеличиваются в 2,2 раза при наличии у пациентки признаков синдрома недифференцированной дисплазии соединительной ткани, что в доступной литературе практически не отражено, имеются лишь единичные наблюдения о повышении риска врастания плаценты у пациенток с варикозной болезнью вен нижних конечностей [10, 29]. В то же время в литературе имеются сведения об увеличении частоты акушерских осложнений у женщин с синдромом нДСТ и повышении риска формирования неполноценного рубца на матке после кесарева сечения у этих пациенток [2, 29, 46, 47, 63].

Ключевым моментом патогенеза врастания плаценты считается дефект децидуальной оболочки, способствующий аномальному гравидарному росту маточных сосудов и избыточной инвазии трофобласта, поскольку такие свойства трофобласта, как инвазия, пролиферация и миграция могут значительно меняться при неполноценном децидуальном слое [87, 92, 145]. В норме процесс имплантации плодного яйца происходит за счет повышения экспрессии генов ряда регуляторных белков [28], и немаловажную роль в этом процессе играют специфические белки беременности. В качестве маркера плацентации рассматривается уровень хорионического гонадотропина (ХГЧ), поскольку

дифференцировке цитотрофобластов доказано его участие его В И [184]. В период высокой активности трофобласта иммуносупрессии возрастающих количествах продуцируется ассоциированный с беременностью плазменный протеин А (РАРР-А), который относится к цинксодержащим металлопротеиназам и повышает активность инсулиноподобных факторов роста (IGF), расщепляя IGF-связывающий белок (IGFBP-4) [27, 67]. Сравнительный анализ сывороточных концентраций ХГЧ, РАРР-А и альфа-фетопротеина (АФП), выполненный на основании результатов обследования женщин в рамках стандартной скрининг-программы (результаты выражали в виде MoM – multiply of median), установил существенное увеличение показателей всех исследованных специфических белков беременности у женщин с рубцом на матке и врастанием плаценты в сравнении с данными группы беременных с рубцом на матке без аномалий прикрепления плаценты. Посредством ROC-анализа произведен расчет диагностического порога концентраций исследованных белков: отношение шансов (OR) врастания плаценты у женщин с рубцом на матке в случаях превышения диагностического порога концентрации РАРР-А (1,41 МоМ) составило 4,58 [95% CI 2,39-8,75] (p<0,0001), АФП (1,64 MoM) – 4,0 [95% CI 1,14-14,05] (p=0,0305), ХГЧ - 2,46 [95% CI 1,38-4,41] (p=0,0024). Полученные в рамках нашего исследования результаты согласуются с наблюдениями других авторов о повышении экспрессии белков, способствующих пролиферации и инвазии трофобласта (ХГЧ, РАРР-А), при врастании плаценты [101, 146]. Дискуссионным остается вопрос о механизме повышения в материнской сыворотке уровня АФП – белка плодового происхождения, концентрация которого превышает нормальные значения (2,0 MoM), по данным разных авторов, в 45-100% случаев врастания плаценты [142, 172, 188]. Вероятно, повышение уровня АФП у матери является результатом усиленной диффузии белка через плацентарный барьер вследствие аномальной васкуляризации, увеличения площади поверхности и наличия сосудистых нарушений (плацентарных лакун, инфарктов) [142,172], гематом И поскольку аномалии плацентации

сопровождаются более высокой интенсивностью маточно-плацентарной гемодинамики на всех этапах беременности [9].

Таким образом, изученные лабораторно-диагностические маркеры сывороточные концентрации специфических белков беременности – могут рассматриваться в комплексе акушерского мониторинга в качестве тестов, объективно оценивающих риск врастания плаценты, однако ни один из них не может претендовать на идеальный скрининг, а многофакторность врастания плаценты определяет необходимость поиска комплексных методов эффективного прогнозирования с перспективой использования не одного, а целого ряда клинико-анамнестических и биохимических показателей. Оценка клинической информативности определения специфических белков беременности показывает, быть данные тесты МОГУТ использованы в системе комплексного прогнозирования врастания плаценты у беременных с рубцом на матке как дополнение к оценке клинико-анамнестических факторов риска, т.е. достоверная оценка факторов риска врастания плаценты и выделение группы пациенток для проведения углубленного мониторинга возможны в ранние сроки гестации. Поэтому в рамках нашего исследования выполнена стратификация беременных с рубцом на матке по степени риска посредством формирования балльной измерительной системы оценки с использованием как клинико-анамнестических, так и лабораторных маркеров, что повысило точность оценки степени риска. Оценочно-прогностическая шкала риска врастания плаценты, составленная с учетом лабораторно-диагностических маркеров, предполагает выделение группы женщин с благоприятным прогнозом (при оценке менее 12 баллов) и группы риска врастания плаценты (при суммарной оценке 12 баллов и более). Предложенная балльная измерительная система обладала не только хорошей чувствительностью (82,7%), но и высокой специфичностью (99,3%).

В процессе диспансеризации беременных с рубцом на матке для формирования группы риска врастания плаценты особое внимание следует уделять беременным, у которых плацента формируется в области рубца. В процессе проведения УЗИ в сроки 12-14 недель беременности формирование

плаценты в проекции рубца было выявлено у 73 пациенток с врастанием плаценты (97,3%) и у 32 женщин без данного осложнения (21,3%, р<0,0001), отношение шансов врастания плаценты при этом возрастало (ОR=134,6 [95% СІ 31,3-578,5], р<0,0001). Значимыми факторами также являлись расположение плаценты на передней стенке матки (OR=3,25 [95% СІ 1,75-6,04], р=0,0002) и полное предлежание хориона (OR=24,6 [95% СІ 7,43-81,7], р<0,0001). Полученные данные полностью согласуются с результатами исследований других авторов [31]. В то же время, формирование плаценты в проекции рубца было выявлено не у всех пациенток с врастанием плаценты, и у половины беременных группы сравнения было зарегистрировано полное предлежание хориона. Данный факт, безусловно, затрудняет прогнозирование врастания плаценты на основе исключительно первого УЗИ-скрининга.

Следует также отметить, что целесообразность определения локализации хориона при проведении ультразвукового исследования в І триместре беременности до сих пор является предметом дискуссий, поскольку при втором скрининговом исследовании расположение нижнего края плаценты относительно внутреннего зева часто изменяется за счет ее «миграции» [9]. В то же время нельзя не согласиться с мнением А.В. Буштырева (2017), что информация о локализации хориона в І триместре беременности имеет чрезвычайно важное значение, так как в совокупности с данными анамнеза позволяет формировать группу риска предлежания плаценты для проведения расширенного обследования с прицельным поиском признаков врастания плаценты [9].

Во II триместре гестации предлежание плаценты существенно чаще регистрировались у беременных с врастанием плаценты и максимально увеличивало шансы данного осложнения (OR=303,3 [95%CI 81,9-1121,7], р<0,0001), что полностью согласуется с многочисленными литературными данными [31, 111, 137]. Поскольку пациентки с предлежанием плаценты относятся к группе «высокого риска» врастания плаценты, предложенная балльная измерительная система была протестирована на независимой выборке из 50 женщин с предлежанием плаценты без аномалий ее прикрепления. Результаты

оценки риска врастания плаценты у пациенток данной группы подтвердили высокую информативность предложенной шкалы: при индивидуальной оценке средний показатель в группе женщин с предлежанием плаценты составил 6,98±3,92 балла [95% СІ 5,86-8,09] (р<0,0001 в сравнении с показателем І группы), и только 5 беременных имели суммарную оценку 12 баллов и более. Таким образом, специфичность предложенного метода прогнозирования врастания плаценты при наличии ее предлежания составила 90,0%.

Не менее дискуссионным остается вопрос о возможности миграции при ее врастании. Некоторые авторы считают этот процесс плаценты невозможным [9], но в рамках нашего исследования у каждой четвертой беременной (25,3%) этот процесс был зарегистрирован в ІІІ триместре, что можно объяснить формированием и ростом нижнего сегмента матки, непрерывно продолжаются до конца III триместра гестации [56]. Поскольку данный факт может дезориентировать врача и уменьшить настороженность относительно риска врастания плаценты, решающее диагностическое значение в поздние сроки беременности имеют характерные ультразвуковые критерии данного осложнения. По данным некоторых авторов, среди всех ультразвуковых маркеров наиболее информативным для диагностики врастания плаценты является отсутствие гипоэхогенной зоны между миометрием и плацентой, но в ряде публикаций данный признак имеет неоднозначную оценку [9, 31, 90, 156]. По данным ретроспективного этапа нашего исследования данный признак во II триместре беременности выявлялся только в 4% случаев, при скринингобследовании в III триместре – у 16% пациенток, но был наиболее информативным в конце III триместра. Общепризнанным УЗ-маркером врастания плаценты является визуализация сосудистых лакун в области плацентарной площадки (картина «швейцарского сыра») [31, 93, 130], однако, более чем у половины пациенток с врастанием плаценты, обследованных на ретроспективном этапе, данный признак отсутствовал даже в период дородовой госпитализации, но был наиболее информативным при обследовании беременных на втором этапе работы при условии прицельного поиска ультразвуковых маркеров в группе риска (чувствительность признака составила 78,3%). Таким образом, полученные в рамках нашего исследования результаты информативности УЗИ для диагностики врастания плаценты отличаются от данных, опубликованных в течение последних лет, что обусловлено, вероятно, субъективным подходом к визуальной оценке ультразвуковых маркеров.

При динамическом наблюдении беременных с рубцом на матке для более формирования группы риска врастания плаценты целесообразно использование наиболее информативных из доступных тестов оценки фетоплацентарного гомеостаза. Поскольку УЗИ в первой половине беременности не дает достаточной диагностической информации, в течение последних лет внимание исследователей привлечено к проблеме разработки альтернативных методов предикции, а именно поиску молекулярных маркеров, позволяющих с высокой вероятностью прогнозировать врастание плаценты [10, 167]. Известно, что правильное развитие плаценты зависит от экспрессии сосудистых факторов роста – белковых соединений, представленных сосудисто-эндотелиальным фактором роста (СЭФР) и фактором роста плаценты (ФРП), продукция которого преобладает в сравнении с СЭФР [16]. А.И. Давыдов и соавт. (2012) высказывают мнение, что изменение экспрессии СЭФР и ФРП обусловлено нарушением баланса между факторами, способствующими и препятствующими инвазии трофобласта (т.е. не является специфическим изменением для прикрепления плаценты) [16], что не умаляет диагностической ценности исследования маркеров плацентарного ангиогенеза и сопряженных с ними специфических белков беременности для более детального формирования группы риска врастания плаценты. В связи с этим, на втором этапе работы было выполнено исследование концентрации фактора роста плаценты и альфафетопротеина в сыворотке крови 120 женщин с рубцом на матке, в то числе у 83 пациенток с локализацией формирующейся плаценты в проекции рубца по результатам УЗИ в конце первого триместра гестации. Исследование было наблюдении и динамическом основано на проспективном обследовании 23 пациенток с врастанием плаценты и 97 беременных с рубцом на матке

без аномалий прикрепления плаценты. В ходе проведенного исследования было установлено увеличение концентрации ФРП и АФП в течении ІІ триместра беременности у беременных с врастанием плаценты, а экспрессия фактора роста плаценты находилась в прямой корреляционной взаимосвязи с сывороточной концентрацией альфа-фетопротеина (r=0,955; p<0,0001).

Одним этапов нашего исследования ИЗ определение являлось диагностического порога концентрации АФП посредством ROC-анализа, как наиболее доступного теста для использования в практическом акушерстве. информативности Оценка прогностической данного теста при беременности от 20 до 25 недель позволила определить диагностический порог для прогноза врастания плаценты, который составил 97,8 МЕ/мл (площадь под ROC-кривой=0,833); чувствительность (80,0%) и специфичность (85,0%) теста оказались достаточно высокими. Риск данного осложнения при показателе концентрации АФП более 97,8 МЕ/мл возрастает в 5,3 раза. Таким образом, включение данного теста в программу обследования беременных группы высокой высокого риска возможность c долей вероятности создает прогнозировать врастание плаценты, что, в свою очередь, может способствовать повышению точности доклинической диагностики с помощью визуализирующих методов обследования в специализированных стационарах с достаточными диагностическим возможностями. Благодаря точности прогнозирования в рамах 100%-ная второго этапа нашего исследования отмечена антенатальная диагностика врастания плаценты, что позволило обеспечить заблаговременную госпитализацию пациенток в стационар третьего уровня для планирования родоразрешения.

В отечественной и зарубежной литературе имеется много публикаций, в которых специалисты делятся опытом ведения и родоразрешения пациенток с аномалиями прикрепления плаценты, описываются как относительно благоприятные исходы для женщин, так и случаи материнской смертности [15]. Многие авторы отмечают, что этапе предоперационной подготовки большое значение имеет лечение анемии и заготовка аутоплазмы, а в процессе оперативного

родоразрешения основными целями являются сохранение матки, снижение объема обеспечение безопасности техники кровопотери и за счет минимальной инвазивности и снижения времени операции. Благодаря этому возможно снижение послеоперационных осложнений И длительности частоты госпитализации родильницы [35]. В последние годы наблюдается стойкая тенденция к увеличению частоты органосберегающих операций на матке при врастании плаценты, основанных на иссечении пораженного миометрия в ходе лапаротомии. А.А. Виницкий (2018) считает, что органосохраняющий принцип родоразрешения пациенток с врастанием плаценты возможен в большинстве случаев при условии использования комплексного компрессионного гемостаза, способствующего минимизации кровопотери за счет остановки кровоснабжения по сосудам, максимально приближенным к матке [49]. В то же время, по данным некоторых авторов, органосохраняющего эффекта удается достичь менее чем в половине случаев [35]. В рамках нашего исследования у женщин, родоразрешенных на этапе ретроспективного исследования, гистерэктомия была выполнена в 70,7% случаев. В то же время результаты родоразрешения 23 пациенток с врастанием плаценты, обследованных на втором этапе нашей работы, демонстрируют существенное гистерэктомий: у 21 женщины (91,3%) был снижение числа органосохраняющий объем хирургического вмешательства с минимальным донорской благодаря использованием препаратов крови точности предоперационной диагностики и готовности операционной бригады. Анализ величины кровопотери В процессе выполнения метропластики может свидетельствовать о надежности выполнения методики того или иного метода хирургического гемостаза. Однако, оценка величины кровопотери показала, что при изолированной перевязке маточных артерий средний объем потери крови составлял 1192,8±497,01 мл, а при сочетании нескольких методов остановки кровотечения $-1850\pm1127,8$ мл (p=0,154). Очевидно, что данный факт не может свидетельствовать об эффективности изолированной деваскуляризации матки, а указывает на то, что отсутствие полноценного гемостаза после лигирования маточных сосудов всегда требует проведения дополнительных мероприятий по остановке кровотечения. В целом, в нашей работе не было получено значимого различия по объему кровопотери в зависимости от вариантов использования дополнительных методов гемостаза как на первом (перевязка/клиппирование ВПА), так и на втором этапах исследования (управляемая баллонная тампонада, компрессионные швы или их сочетание). Наши данные несколько отличаются от результатов, полученных А.А. Виницким (2018), указывающим на наиболее высокую эффективность комплексного компрессионного гемостаза в плане минимизации кровопотери, хотя по уровню осложнений автор не выявил преимуществ той или иной методики гемостаза и сделал вывод об их равноценности с данной точки зрения [10]. Многочисленные работы, указывающие на значение анастамозов в бассейне маточных и яичниковых артерий и в перешеечно-влагалищной области, указывают на необходимость дальнейшего поиска эффективных методов гемостаза при выполнении органосохраняющих операций у пациенток с врастанием плаценты [43, 48, 133].

Стратификация объема кровопотери инфузионно-трансфузионной И зависимости от глубины инвазии плаценты по терапии результатам гистологического исследования показала четкую сопряженность объема кровопотери и необходимости трансфузии донорской СЗП (несмотря идентичный удельный вес аутоплазмодонорства) с глубиной врастания, что находит отражение и в работах других исследователей [31].

Одним из аспектов нашей работы явилась стратификация глубины инвазии плаценты в сопоставлении с удельным весом показателей специфических белков беременности, превышающих диагностический порог. Исследование показало, глубина инвазии оказалась статистически значимо сопряжена не только с объемом интраоперационной кровопотери, но и с повышением концентрации АФП выше диагностического порога, что позволило провести корреляционный анализ между показателями АФП и объемом кровопотери. Полученный статистически значимый результат (r=0,339, p=0,0462) позволяет предположить, что повышение концентрации АФП выше диагностического порога может

косвенно указывать не только на высокий риск врастания плаценты, но и на глубину ее инвазии.

Важным клиническим показателем эффективности предложенной методики прогнозирования врастания плаценты являются неонатальные исходы. Однако, в рамках нашего исследования было установлено, что состояние новорожденных и показатели заболеваемости определялись, главным образом, ИХ беременности на момент родоразрешения, а объем оперативного вмешательства, по результатам сравнения состояния новорожденных ретроспективного и проспективного этапов работы, не отражается на состоянии здоровья детей. Нельзя не согласиться с мнением других авторов, что данная тема остается дискуссионной, так как в настоящее время отсутствует доказательная база, позволяющая определить оптимальный срок родоразрешения каждом конкретном случае [9, 31].

Таким образом, проведенная работа позволила на основании изучения клинико-анамнестических данных и результатов стандартного тестирования составить оценочно-прогностическую шкалу риска врастания плаценты у беременных с рубцом на матке. В результате исследования определено диагностическое и прогностическое значение лабораторных маркеров (фактора роста плаценты и АФП), показана связь между объемом интраоперационной кровопотери, глубиной врастания плаценты и повышением концентрации АФП выше диагностического порога. На основании полученных данных был разработан алгоритм поэтапного прогнозирования и диагностики, а также дальнейшей тактики ведения беременных с рубцом на матке и врастанием плаценты (рисунок 23).

Комплексный подход к поэтапному прогнозированию и диагностике врастания плаценты может способствовать своевременной антенатальной диагностике данного осложнения, планированию оперативной стратегии, тщательной подготовке к родоразрешению и улучшению исхода беременности для матери.

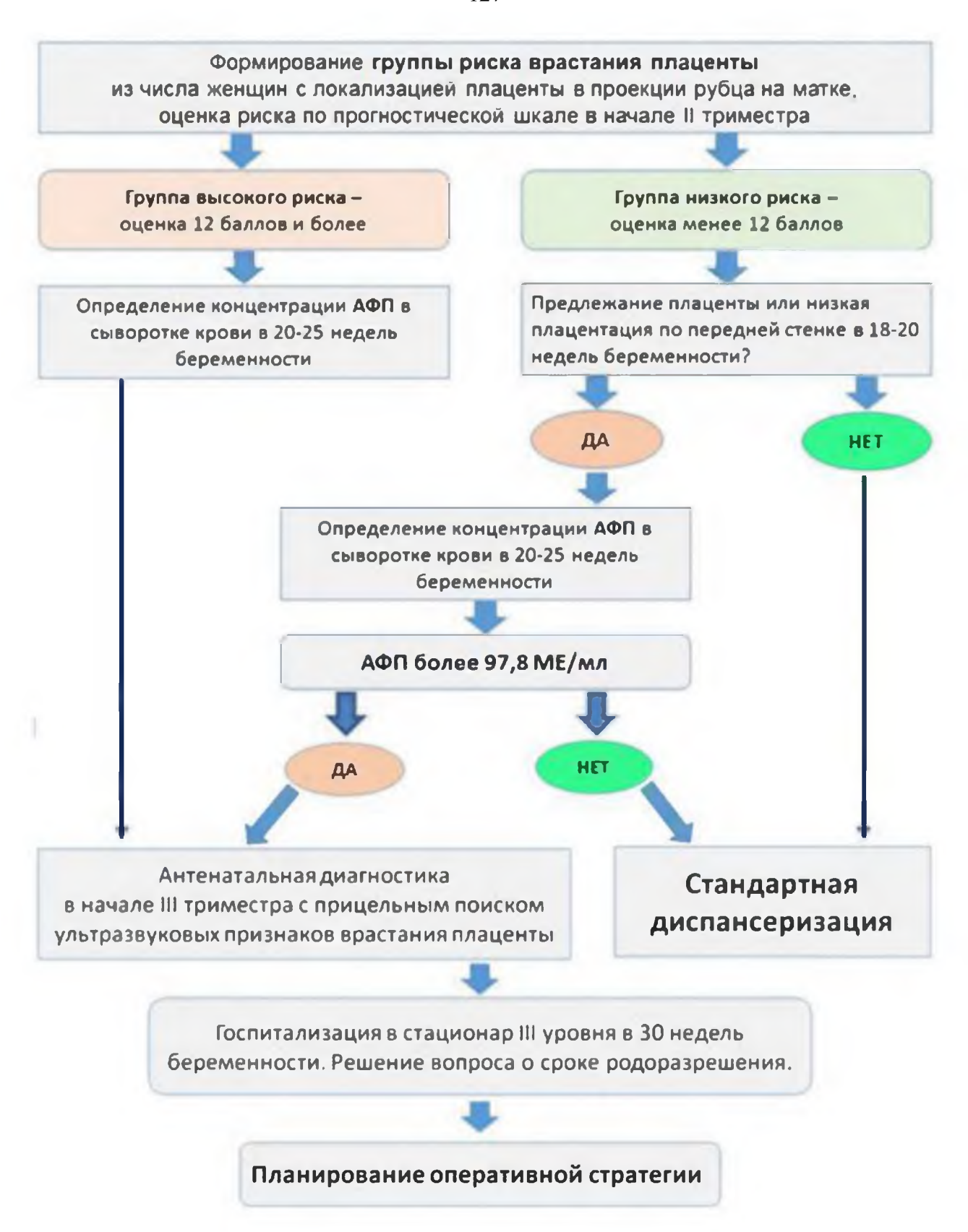


Рисунок 23 – Алгоритм поэтапного прогнозирования врастания плаценты у беременных с рубцом на матке

выводы

- Клинико-анамнестическими факторами, значимо повышающими риск врастания плаценты у беременных с рубцом на матке после кесарева сечения, являются инфекционно-воспалительные осложнения после предшествующих операций кесарева сечения (OR=12,7 [95% CI 2,74-59,0], p=0,0012), наличие в анамнезе трех и более беременностей (OR=4,0 [95% CI 2,23-7,19], p<0,0001), двух и более эпизодов абдоминального родоразрешения (OR=3,69 [95% CI 2,04-6,69], p<0.0001) И хронических инфекционно-воспалительных заболеваний матки и придатков (OR=3,68 [95% CI 1,83-7,42], p=0,0003). Неоднократные эпизоды абдоминального родоразрешения в анамнезе по влиянию на увеличение риска врастания плаценты сопоставимы со значением факторов отягощенного акушерско-гинекологического анамнеза.
- 2. Биохимические маркеры, специфичные для гестационного процесса, могут рассматриваться в качестве факторов, объективно оценивающих риск аномальной инвазии плаценты у женщин с рубцом на матке. Превышение диагностического порога концентрации АФП в 15-20 недель гестации (1,64 MoM) способствует увеличению шансов врастания плаценты в 4 раза (OR=4,0 [95% CI 1,14-14,05], p=0,0305), ХГЧ (1,41 MoM) − более чем в 2 раза (OR=2,46 [95% CI 1,38-4,41], p=0,0024). Наиболее информативным показателем является сывороточная концентрация ассоциированного с беременностью плазменного протеина А (диагностический порог 1,41 MoM) в 11-14 недель гестации (OR=4,58 [95% CI 2,39-8,75], p<0,0001).
- 3. Оценочно-прогностическая шкала риска врастания плаценты у беременных с рубцом на матке, составленная с учетом клинико-анамнестических факторов и специфичных для гестационного процесса лабораторно-диагностических маркеров, предполагает выделение группы риска врастания плаценты при суммарной оценке 12 баллов и более с чувствительностью 82,7% и специфичностью 99,3%.

- 4. Врастание плаценты у беременных с рубцом на матке сопряжено с увеличением сывороточных концентраций фактора роста плаценты и альфафетопротеина, находящихся в прямой корреляционной зависимости (r=0,955, p<0,0001). Лабораторно-диагностическим показателем, объективно оценивающим риск врастания плаценты, является сывороточная концентрация альфа-фетопротеина, составляющая 97,8 МЕ/мл и более в сроки 20-25 недель гестации (RR=5,33 [95% CI 1,82-15,6], p=0,0022).
- 5. Увеличение концентрации альфа-фетопротеина выше диагностического порога (1,64 MoM) зарегистрировано в 57,1% случаев формирования placenta increta (при placenta accreta у 16,7% женщин, p=0,0448), что может служить косвенным критерием глубокой инвазии плаценты, поскольку показатели белка находятся в прямой корреляционной взаимосвязи с объемом интраоперационной кровопотери (r=0,339, p=0,0462), величина которой также сопряжена с глубиной инвазии плаценты (p=0,0291).
- 6. Алгоритм акушерского мониторинга беременных с рубцом на матке после кесарева сечения, включающий поэтапную оценку риска с использованием оценочно-прогностической шкалы и определением сывороточной концентрации альфа-фетопротеина во ІІ триместре, позволяет обосновать необходимость прицельного поиска ультразвуковых маркеров врастания плаценты в группе риска и заблаговременно планировать оперативное родоразрешение беременных с аномалиями инвазии плаценты.

ПРАКТИЧЕСКИЕ РЕКОМЕНДАЦИИ

- 1. В процессе диспансеризации беременных с рубцом на матке риск врастания плаценты необходимо оценивать в конце I в начале II триместров беременности. Для выделения беременных в группу риска целесообразно использование предложенной оценочно-прогностической шкалы с учетом результатов стандартного ультразвукового и биохимического тестирования (таблица 17), при суммарной оценке 12 баллов и более пациентку необходимо включить в группу риска врастания плаценты.
- 2. Для более точного выделения беременных с рубцом на матке в группу риска врастания плаценты объем обследования целесообразно расширить исследованием сывороточной концентрации альфа-фетопротеина в сроки беременности 20-25 недель, показатель 97,8 МЕ/мл (и более) косвенно указывает на высокий риск врастания плаценты. Ведение пациенток может осуществляться в соответствии с предложенным алгоритмом (рисунок 23).
- 3. У беременных группы высокого риска врастания плаценты рекомендуется прицельный поиск УЗ-маркеров данного осложнения в начале III триместра гестации, госпитализация пациентки в стационар III уровня и планирование родоразрешения с использованием кровесберегающих технологий (лечение анемии, аутоплазмодонорство, готовность использования аппаратной реинфузии аутоэритроцитов в процессе оперативного родоразрешения).

СПИСОК СОКРАЩЕНИЙ И УСЛОВНЫХ ОБОЗНАЧЕНИЙ

АФП – альфа-фетопротеин

ВПА – внутренняя подвздошная артерия

ВПР – врожденный порок развития

ДИ – доверительный интервал

ДСТ – дисплазия соединительной ткани

ДРО – детское реанимационное отделение

ИВЛ – искусственная вентиляция легких

КС – кесарево сечение

КТГ – кардиотокография

МВП – межворсинчатое пространство

МПК – маточно-плацентарный кровоток

MPT — магнитно-резонансная томография

нДСТ – недифференцированная дисплазия соединительной ткани

ППК – плодово-плацентарный кровоток

ПЩОР – прогностическая ценность отрицательного результата

(negative predictive value)

ПЦПР – прогностическая ценность положительного результата

(positive predictive value)

СЗП – свежезамороженная плазма

СЭФР – сосудисто-эндотелиальный фактор роста

УБТ – управляемая баллонная тампонада

УЗИ – ультразвуковое исследование

ФРП – фактор роста плаценты

ЦДК – цветное допплеровское картирование

β-ХГЧ – свободная бета-субъединица хорионического гонадотропина

человека

AFP – альфа-фетопротеин

AUC – area under curve, площадь под ROC-кривой

CI – confidence interval, доверительный интервал

СРАР – режим искусственной вентиляции легких постоянным

Положительным давлением

FIGO — международная федерация акушерства и гинекологии

IGF – insulin-like growth factor, инсулиноподобный фактор роста

LR — likelihood ratios, отношение правдоподобия

ММР – матриксная металлопротеиназа

MoM – кратное медианы (multiple of median)

NIV — неинвазивная вентиляция легких

OR — отношение шансов (odds ratio)

р уровень значимости

РАРР-А – ассоциированный с беременностью протеин А плазмы

(pregnancy-associated plasma protein-A)

PIGF — фактор роста плаценты (placental growth factor)

ROC – характеристическая кривая обнаружения

(receiver operating characteristic analysis)

RR — относительный риск (relative risk)

СПИСОК ЛИТЕРАТУРЫ

- 1. Агрба, И.Б. Органосохраняющее хирургическое лечение родильниц с патологией прикрепления плаценты : автореф. дис. ... канд. мед. наук : 14.00.01 / Агрба Илона Беслановна. Москва, 2014. 24 с.
- Акушерские осложнения и недифференцированная дисплазия соединительной ткани / Н.Е. Кан, В.Л. Тютюник, Э.Ю. Амирасланов [и др.] // Журн. им. акад. Б.В. Петровского. 2015. № 2. С. 47-52.
- 3. Акушерство : национальное руководство / под ред. Г.М. Савельевой, Г.Т. Сухих, В.Н. Серова, В.Е. Радзинского. 2-е изд., перераб. и доп. Москва: ГЭОТАР-Медиа, 2018. 1088 с. (Серия «Национальные руководства»).
- 4. Акушерство : национальное руководство / под ред. Э.К. Айламазяна, В.И. Кулакова, В.Е. Радзинского, Г. М. Савельевой. Москва: ГЭОТАР-Медиа, 2014. 1200 с. (Серия «Национальные руководства»).
- Альфа2-фетопротеин при неосложненной беременности и гестозе / В.Г. Левченко, В.Н. Зорина, С.В. Архипова, Н.В. Мальцева // Бюл. СО РАМН. 2004. № 14. С. 15-17.
- Антенатальная диагностика врастания плаценты у женщин с кесаревым сечением в анамнезе / О.А. Латышкевич, М.А. Курцер, Г.М. Савельева [и др.] // Вопр. гинекологии, акушерства и перинатологии. 2013. Т. 12, № 6. С. 36-41.
- 7. Асеева, Е.В. Прогнозирование острой массивной кровопотери в послеродовом периоде : автореф. дис. ... канд. мед. наук : 14.00.01 / Асеева Евгения Владимировна. Волгоград, 2017. 24 с.
- 8. Баринова, И.В. Особенности патогенеза врастания плаценты в рубец после кесарева сечения / И.В. Баринова, Н.И. Кондриков, И.Н. Волошук // Арх. патологии. 2018. Т. 80, № 2. С. 18-23. doi: 10.17116/patol201880218-23.

- 9. Буштырев, А.В. Предикция и профилактика акушерских кровотечений при аномалиях плацентации : дис. ... канд. мед. наук : 14.01.01 / Буштырев Александр Валерьевич. Санкт-Петербург, 2017. 148 с.
- Виницкий, А.А. Врастание плаценты: диагностика и органосохраняющая тактика при оперативном родоразрешении: дис. ... кан. мед. наук: 14.00.01 / Виницкий Александр Анатольевич. Москва, 2018. 158 с.
- 11. Возможности эхографии в выявлении патологической инвазии трофобласта / Ю.В. Бойкова, Э.А. Илиева, Н.Е. Кан [и др.]. // Акушерство и гинекология. 2016. № 12. С. 82-86. doi: 10.18565/aig.2016.12.82-6.
- Врастание плаценты как причина послеродового кровотечения: вопросы и ответы / А.И. Давыдов, Л.Д. Белоцерковцева, И.И. Киличева, И.Н. Волощук // Вопр. гинекологии, акушерства и перинатологии. 2014. Т. 13, № 3. С. 52-62.
- 13. Врастание предлежащей плаценты (placenta accreta) у пациенток с рубцом на матке после кесарева сечения. Клинико-морфологическое сопоставление / Г.М. Савельева, М.А. Курцер, И.Ю. Бреслав, [и др.]. Текст : электронный // Акушерство и гинекология. 2015. № 11. С. 41-45. URL: https://aigjournal.ru/ articles/Vrastanie-predlejashei-placenty-placenta-accreta-u-pacientok-srubcom-na-matke-posle-kesareva-secheniya-Kliniko-morfologicheskoe-sopostavlenie.html.
- 14. ГОСТ Р ИСО 24153-2012. Статистические методы. Процедуры рандомизации и отбора случайной выборки = Statistical methods. Randomization and random sampling procedures : национальный стандарт Российской Федерации : издание официальное : утвержден и введен в действие Приказом Федерального агентства по техническому регулированию и метрологии от 29 ноября 2012 г. № 1272-ст. / подготовлен Автономной некоммерческой организацией «Научно-исследовательский центр контроля и диагностики технических систем». Москва, 2014. 35 с.
- 15. Гуменюк, Е.Г. Врастание плаценты: Обзор литературы с обсуждением клинического случая «near miss» / Е.Г. Гуменюк, И.С. Рудакова // Медико-

- фармацевтический журнал «Пульс». 2020. Т. 22, № 1. С. 21-33. doi: 10.26787/nydha-2686-6838-2020-22-1-21-33.
- Давыдов, А.И. Патогенез патологии прикрепления плаценты: роль факторов роста и других иммуногистохимических маркеров / А.И. Давыдов, И.Б. Агрба, И.Н. Волощук // Вопр. гинекологии, акушерства и перинатологии. 2012. Т. 11, № 1. С. 48-54.
- 17. Декларация Тысячелетия ООН. Заседание Генеральной Ассамблеи ООН от 8.09.2000. Текст : электронный. URL: https://www.un.org/ru/documents/decl conv/declarations/summitdecl. shtml (дата обращения: 21.03.2020).
- 18. Диагностическое значение определения в крови беременных женщин уровней хорионического гонадотропина, альфа-фетопротеина и лактоферрина / Л.А. Мерзликина, Л.А. Акинфеева, Э.А. Юркина [и др.] // Диагностическая значимость выявления маркёров фетоплацентарного комплекса в контроле развития беременности и онкозаболеваний. Кольцово: ЗАО «Вектор-Бест», 2005. С. 34-40.
- 19. Жаркин, Н.А. Интраоперационное лечение и профилактика акушерских кровотечений / Н.А. Жаркин // Арх. акушерства и гинекологии им. В.Ф. Снегирева. 2015. Т. 2, № 3. С. 54-55.
- 20. Жаркин, Н.А. Кесарево сечение: медицинские, социальные и моральноэтические проблемы / Н.А. Жаркин, Л.С. Логутова, Т.Г. Семихова // Рос. вестн. акушера-гинеколога. — 2019. — Т. 19, № 4. — С. 5-10. — doi: 10.17116/ rosakush2019190415.
- Заманская, Т.А. Особенности маточно- и фетоплацентарной гемодинамики у беременных с предлежанием и врастанием плаценты / Т.А Заманская, А.В. Буштырев, И.О. Буштырева // Акушерство, гинекология и репродукция. 2017. Т. 1, № 3. С. 5-10. doi: 10.17749/2313-7347.2017.11.3.005-010.
- Зубенко, В.Б. К вопросу о влиянии тромбофилии на локализацию плаценты / В.Б. Зубенко // Акушерство, гинекология и репродукция. 2018. Т. 12, № 1. С. 17-22. doi: 10.17749/2313-7347.2018.12.1.017-022.

- 23. Иванец, Т.Ю. Диагностическая значимость определения альфа-фетопротеина в онкологии, перинатологии и неонатологии (обзор литературы) / Т.Ю. Иванец, М.Л. Алексеева, В.Г. Колодько. Текст : электронный // Проблемы репродукции. 2012. № 6. С. 14-19. URL: https://www.mediasphera.ru/issues/problemy-reproduktsii/2012/6/031025-7217201264.
- 24. Игитова, М.Б. Беременность высокого риска (клинико-патогенетические аспекты) / М.Б. Игитова. Барнаул: Краевой справочно-информационный фармацевтический центр, 2013. 124 с.
- 25. Игитова, М.Б. Прогнозирование, диагностика и лечение осложнений гестации у женщин с высоким перинатальным риском : автореф. дис. ... д-ра ... мед. наук : 14.00.01 / Игитова Марина Борисовна. Москва, 2010. 42 с.
- 26. Игитова, М.Б. Прогнозирование неблагоприятных перинатальных исходов на основе определения фактора роста плаценты / М.Б. Игитова, К.В. Дмитриенко Текст: электронный // Мать и дитя в Кузбассе. 2014. Т. 59, № 4. С. 38-41. URL: https://www.elibrary.ru/contents.asp?id= 34030760&selid=22309140.
- 27. Каюмова, Г.Х. Факторы роста и повреждения: Прогностическое значение при остром коронарном синдроме / Г.Х. Каюмова, В.А. Разин // Ульяновский мед.-биол. журн. 2016. № 2. С. 36-44.
- 28. Клиническая оценка экспрессии иммуногистохимических маркеров в патогенезе врастания плаценты / А.И. Давыдов, И.Б. Агрба, И.Н. Волощук [и др.]. // Вопр. гинекологии, акушерства и перинатологии. 2013. Т. 12, № 2. С. 9-15.
- 29. Комиссарова, Л.М. Течение беременности и родов при дисплазии соединительной ткани / Л.М. Комиссарова, А.Н. Карачаева, М.И. Кесова // Акушерство и гинекология. 2012. № 3. С. 4-8.
- 30. Комплексная лучевая диагностика placenta increta: клиническое наблюдение / А.В. Поморцев, О.В. Астафьева, Е.Д. Худорожкова, Е.Н. Каранадзе // Медицинская визуализация. 2015. № 6. С. 125-129.

- 31. Латышкевич, О.А. Врастание плаценты у пациенток с рубцом на матке после кесарева сечения. Органосохраняющие операции : дис. ... кан. мед. наук : 14.00.01 / Латышкевич Олег Александрович. Москва, 2015. 133 с.
- 32. Лучевая диагностика врастания плаценты у беременных с рубцом на матке после кесарева сечения / А.В. Поморцев, Е.Д. Худорожкова, М.А. Матосян [и др.] // Кубанский науч. мед. вестн. 2018. Т. 25, № 3. С. 97-106. doi: 10.25207/1608-6228-2017-25-3-97-106.
- 33. Медведев, М.В. Задержка внутриутробного развития плода / М.В. Медведев, Е.В. Юдина. – Москва: РАВУЗДПГ, 1998. – 208 с.
- 34. Медицинская эвакуация беременных и родильниц. Клинические рекомендации (протокол лечения) / Н.В. Артымук, Т.Е. Белокриницкая, И.В. Братищев [и др.]. Москва, 2015. 16 с.
- 35. Менеджмент пациенток с врастанием плаценты на разных сроках гестации / Г.А. Пенжоян, Т.Б. Макухина, Н.В. Мингалева [и др.] // Акушерство и гинекология: новости мнения, обучение. 2019. Т. 7, № 1. С. 79-84. doi: 10.24411/2303-9698-2019-11011.
- 36. Методические рекомендации по оценке качества статистического анализа в клинических исследованиях. Текст: электронный // ФГБУ «ЦЭККМП» МЗ РФ. URL: https://rosmedex.ru/wp-content/uploads/2018/01/Metodicheskie-rekomendatsii-po-otsenke-kachestva-stat.analiza-v-klinicheskih-issledovaniyah-2017-g.pdf.
- Милованов, А.П. Особенности цитотрофобластической инвазии при полном предлежании и врастании плаценты / А.П. Милованов, А.В. Буштырев, Т.В. Фокина // Арх. патологии. 2017. № 6. С. 30-35. doi: 10.17116/patol201779630-35.
- 38. Милованов, А.П. Спорные вопросы патогенеза врастания плаценты в стенку матки / А.П. Милованов, Е.А. Димова // Арх. патологии. 2011. Т. 73, № 2. С. 54-57.

- 39. Милованов, А.П. Цитотрофобластическая инвазия ключевой механизм развития нормальной и осложненной беременности / А.П. Милованов, А.К. Кириченко. Красноярск: ГОУ ВПО КГМУ, 2009. 161 с.
- Операционные исходы при предлежании плаценты / Г.Н. Балмагамбетова,
 А.Б. Айдымбекова, М.И. Мамитниязова [и др.] // Вестн. Казахского Нац. мед.
 ун-та. 2016. № 1. С. 18-20.
- 41. Оппенхаймер, Л. Клиническое практическое руководство ассоциации акушеров-гинекологов Канады (SOGC): диагностика и ведение предлежания плаценты (placenta previa) / Л. Оппенхаймер // Акушерство и гинекология: новости, мнения, обучение. 2014. № 1. С. 77-84.
- 42. Опыт использования временной баллонной окклюзии общих подвздошных артерий при органосохраняющих операциях у пациенток с врастанием плаценты / М.А. Курцер, И.Ю. Бреслав, А.М. Григорьян [и др.] // Акушерство и гинекология. 2013. № 7. С. 80-84.
- 43. Опыт осуществления органосохраняющих операций при врастании плаценты
 / М.А. Курцер, И.Ю. Бреслав, М.В. Лукашина [и др.] // Акушерство и Гинекология. 2011. № 8. С. 86-90.
- 44. Опыт применения вагинального и маточного катетеров Жуковского, местного гемостатика при лечении послеродовых кровотечений во время кесарева сечения / С.В. Баринов, Я.Г. Жуковский, И.В. Медянникова [и др.] // Акушерство и гинекология. 2016. № 7. С. 34-40. doi: 10.18565/ aig.2016.7.34-40.
- 45. Основные показатели здоровья матери и ребенка, деятельность службы охраны детства и родовспоможения в Российской Федерации / А.В. Поликарпов, Г.А. Александрова, Н.А. Голубев [и др.]. Москва: ФГБУ «ЦНИИОИЗ» Минздрава РФ, 2019. 169 с.
- 46. Особенности течения беременности и родов у женщин с синдромом недифференцированной дисплазии соединительной ткани / Т.Л. Смирнова, Л.И. Герасимова, А.Е. Сидоров [и др.] // Практ. медицина. 2018. Т. 16, № 6. С. 39-44. doi: 10.32000/2072-1757-2018-16-6-39-44.

- 47. Особенности формирования рубца на матке после кесарева сечения при недифференцированной дисплазии соединительной ткани / Н.Е. Кан, В.Л. Тютюнник, Т.А. Демура, М.И. Кесова // Акушерство и гинекология. 2015. № 1. С. 93-97.
- 48. Оценка эффективности эмболизации маточных артерий в снижении интраоперационной кровопотери у беременных с полным предлежанием плаценты / В.Б. Цхай, А.В. Павлов, Ю.Г. Гарбер [и др.]. Текст : электронный // Акушерство и гинекология. 2015. № 8. С. 59-65 URL: https://aig-journal.ru/articles/Ocenka-effektivnosti-embolizacii-matochnyh-arterii-v-snijenii-intraoperacionnoi-krovopoteri-u-beremennyh-s-polnym-predlejaniem-placenty. html.
- 49. Патент № 2627633 Российская Федерация, МПК А61В 17/42 (2006.01). Комплексный компрессионный гемостаз при выполнении органосохраняющего оперативного родоразрешения У пациенток врастанием плаценты : № 2016148856 : заявл. 13.12.2016 : опубл. 09.08.2017 / Шмаков Р.Г., Чупрынин В.Д., Виницкий А.А.; заявитель ФГБУ «Научный центр акушерства, гинекологии и перинатологии имени академика В.И. Кулакова» МЗ РФ. – Бюл. 22. – 12 с.
- 50. Патент № 2679641 Российская Федерация, МПК А61В 10/00(2006.01), G01N 33/48(2006.01), G01N 33/53(2006.01). Способ прогнозирования врастания плаценты при беременности : № 2018113887 : заявл. 16.04.2018 : опубл. 12.02.2019 / Лукашевич А.А., Аксёненко В.А., Дубовой А.А. ; заявитель ФГБОУ ВО СтГМУ МЗ РФ. Бюл. 5 9 с.
- 51. Предлежание и врастания плаценты в миометрий нижнего сегмента и цервикальный канал с наличием маточной аневризмы у беременных без рубца на матке / В.Б. Цхай, Ю.Н. Глызина, П.К. Яметов [и др.] // Акушерство и гинекология. 2019. № 5. С. 194-199. doi: https://dx.doi.org/10.18565/aig.2019.5.194-199.
- 52. Прогнозирование гестационных и перинатальных осложнений на основе определения фактора роста плаценты / М.Б. Игитова, Н.А. Абзалова,

- Ю.В. Кореновский [и др.]. Текст : электронный // Сиб. мед. журн. (г. Томск). 2011. Т. 26. № 2-1. С. 80-84. URL: https://www.elibrary.ru/contents.asp?id=33666190& selid=16545538/.
- 53. Радзинский, В.Е. Акушерский риск: Максимум информации минимум опасности для матери и младенца / В.Е. Радзинский, С.А. Князев, И.Н. Костин Москва: Эксмо, 2009. 288 с.
- 54. Роль плацентарных белков в поддержании успешной беременности / О.Ф. Серова, Н.В. Зароченцева, Л.Н. Липовенко [и др.] // Вопр. гинекологии, акушерства и перинатологии. 2003. Т. 2, № 4. С. 61-66.
- 55. Российская Федерация. М-во здравоохранения. О внедрении порядка оказания медицинской помощи по профилю «акушерство и гинекология» (утратил силу) : приказ Главного управления по здравоохранению и фармацевтической деятельности Алтайского края от 31.07.2013 г. № 579. Доступ из справочно-правовой системы Гарант.
- 56. Российская Федерация. М-во здравоохранения. О порядке проведения патолого-анатомических вскрытий: приказ Министерства здравоохранения РФ от 06.06.2013 г. № 354н [зарегистрировано в Минюсте РФ 16.12.2013 № 30612]. Доступ из справочно-правовой системы Гарант.
- 57. Российская Федерация. М-во здравоохранения. О правилах проведения патолого-анатомических исследований : приказ Министерства здравоохранения РФ от 24.03.2016 г. № 179н [зарегистрировано в Минюсте РФ 14.04.2016 № 41799]. Доступ из справочно-правовой системы Гарант.
- 58. Российская Федерация. М-во здравоохранения. О трехуровневой системе оказания помощи по профилю «акушерство и гинекология» и маршрутизация беременных в Алтайском крае : приказ Минздрава Алтайского края от 03.06.2017 г. № 166. Доступ из справочно-правовой системы Гарант.
- 59. Российская Федерация. М-во здравоохранения. Об утверждении Порядка оказания медицинской помощи по профилю «акушерство и гинекология» (за исключением использования вспомогательных репродуктивных технологий) : приказ Министерства здравоохранения РФ от 01.11.2012 г.

- № 572н [зарегистрировано в Минюсте РФ 02.04.2013 № 27960]. Доступ из справочно-правовой системы Гарант.
- 60. Рябова, Е.С. Уровень РАРР-А в І триместре и исход беременности у первородящих / Е.С. Рябова, Л.М. Бадалова // Вестн. новых мед. технологий.
 2017. Т. 24, № 4. С. 131-136. doi: 10.12737/article_5a38fa22b94109. 69590302.
- 61. Современные техники снижения массивных акушерских кровотечений при предлежании плаценты / Л.Д. Белоцерковцева, Л.В. Коваленко, В.В. Панкратов [и др.]. // Вестн. Новгородского гос. ун-та им. Ярослава Мудрого. 2017. Т. 3, № 101. С. 45-50.
- 62. Солуянова, Л.А. Акушерские аспекты биохимического скрининга беременных на альфа-фетопротеин и хорионический гонадотропин : автореф. дис. ... канд. мед. наук : 14.00.01 / Солуянова Людмила Анатольевна. Пермь: 2007. 27 с.
- 63. Тышкевич, О.С. Дисплазия соединительной ткани актуальная проблема современного акушерства. Обзор литературы / О.С. Тышкевич, Е.Н. Кравченко // Мать и Дитя в Кузбассе. 2014. Т. 58, № 3. С. 4-7.
- 64. Фенотипический симптомокомплекс дисплазии соединительной ткани у женщин / Т.Ю. Смольнова, С.Н. Буянова, С.В. Савельев [и др.] // Клин. медицина. 2003. № 8. С. 42-48.
- 65. Хасанов, А.А. Диагностика, профилактика и органосохраняющие методы родоразрешения беременных с врастанием плаценты / А.А. Хасанов // Казанский мед. журн. 2016. Т. 97, № 4. С. 477-485.
- 66. Хирургическая тактика при врастании плаценты с различной глубиной инвазии / Р.Г. Шмаков, М.М. Пирогова, О.Н. Васильченко [и др.] // Акушерство и гинекология. 2020. № 1. С. 78-82. doi: 10.18565/aig.2020.1.78-82.
- 67. Хохлов, П.П. Ассоциированный с беременностью белковый комплекс «PAPP-A/PROMBP». Физико-химические свойства, молекулярное строение и физиологическая роль / П.П. Хохлов, С.А. Сельков. Текст : электронный //

- Журн. акушерства и женских болезней. 2003. № 2. С. 130-138. URL: https://cyberleninka.ru/article/n/assotsiirovannyy-s-beremennostyu-belkovyy-kompleks-papp-a-prombp-fiziko-himicheskie-svoystva-molekulyarnoe-stroenie-i.
- 68. Цхай, В.Б. Способы хирургического гемостаза при врастании плаценты. Поиски оптимального варианта: [презентация: материалы 125-й Всерос. образовательного форума ассоциации акушерских анестезиологов-реаниматологов «Теория и практика анестезии и интенсивной терапии: мультидисциплинарный подход» 4-5 июня 2020 г.] / В.Б. Цхай. Текст: электронный. URL: https://webinaaar.ru/forum 125.
- 69. Шмагель, К.В. Иммунитет беременной женщины / К.В. Шмагель, В.А. Черешнев. Москва: Медицинская книга, Н. Новгород: Изд-во НГМА, 2003. 226 с.
- 70. Эффективность комплексного компрессионного гемостаза при различных степенях врастания плаценты / Т.М. Забелина, О.Н. Васильченко, Р.Г. Шмаков [и др.] // Акушерство и гинекология. 2020. № 6. С. 30-36. doi: 10.18565/aig.2020.6.30-3.
- 71. Эхографическое обследование плаценты: Приращение плаценты / А. Флейшер, Ф. Мэнинг, Ф. Дженти, Р. Ромеро // Эхография в акушерстве и гинекологии: теория и практика. 6-е изд. Ч. 1. Москва: Дом Видар, 2005. С. 231-233.
- 72. A case of placenta percreta with massive hemorrhage during cesarean section / K. Kume, Y.M. Tsutsumi, T. Soga [et al.] // J. Med. Investig. 2014. Vol. 61. P. 208-212. doi: 10.2152/jmi.61.208.
- 73. A Marked Increase in Obstetric Hysterectomy for Placenta Accreta / X.Y. Pan, Y.P. Wang, Z. Zheng [et al.] // Chin. Med. J. 2015. Vol. 128, № 16. P. 2189-2193. doi: 10.4103/0366-6999.162508.
- 74. A novel in vitro co-culture system for the study of maternal decidual endothelial cell-trophoblast interactions in human pregnancy / E.D. Gallery, S. Campbell, B. Ilkovski [et al.] // BJOG. − 2001. − Vol. 108, № 6. − P. 651-653. − doi: 10.1111/j.1471-0528.2001.00127.x.

- 75. A prior placenta accreta is an independent risk factor for post-partum hemorrhage in subsequent gestations / A. Vinograd, T. Wainstock, M. Mazor [et al.] // Eur. J. Obstet. Gynecol. Reprod. Biol. − 2015. − Vol. 187, № 1. − P. 20-24. − doi: 10.1016/j.ejogrb.2015.01.014.
- 76. A proposal for standardized magnetic resonance imaging (MRI) descriptors of abnormally invasive placenta (AIP) From the International Society for AIP / O. Morela, S.L. Collins, J. Uzan-Augu [et al.] // Diagnost. Intervent. Imaging. 2019. Vol. 100, Iss. 6. P. 319-325. doi: 10.1016/j.diii.2019.02.004.
- 77. A rare case report of placenta previa increta with incomplete uterine rupture / R. Sharma, U.K. Chaudhary, N. Mahajan [et al.] // Int. J. Biol. Med. Res. 2015. Vol. 6, № 3. P. 5196-5198.
- 78. Abnormal placentation and selective embolization of the uterine arteries / G. Descargues, F. Douvrin, S. Degré [et al.] // Eur. J. Obstet. Gynecol. Reprod. Biol. 2001. Vol. 99, № 1. P. 47-52. doi: 10.1016/s0301-2115(01)00355-4.
- 79. Abnormally invasive placenta-prevalence, risk factors and antenatal suspicion: results from a large population-based pregnancy cohort study in the nordic countries / L. Thurn, P. Lindqvist, M. Jakobsson [et al.] // BJOG. 2016. Vol. 123, № 8. P. 1348-1355. doi: 10.1111/1471-0528.13547.
- 80. Accreta complicating complete placenta previa is characterized by reduced systemic levels of vascular endothelial growth factor and by epithelial-to-mesenchymal transition of the invasive trophoblast / M.J. Wehrum, I.A. Buhimschi, C. Salafia [et al.] // Am. J. Obstet. Gynecol. − 2011. − Vol. 204, № 5. − P. 411. e1-411. e11. − doi: 10.1016/j.ajog.2010.12.027.
- 81. American College of Radiology White Paper on MR Safety: 2004 update and revisions / E. Kanal, J.P. Borgstede, A.J. Barkovich [et al.] // Am. J. Roentergenol. 2004. Vol. 182. P. 1111-1114. doi: 10.2214/ajr.182.5.1821111.
- 82. Analysis of first and second trimester maternal serum analytes for the prediction of morbidly adherent placenta requiring hysterectomy / E. Oztas, S. Ozler, A. Turhan Caglar, A. Yucel // Med. Sci. − 2016. − Vol. 32, № 11. − P. 535-597, E1-E13. − doi:10.1016/j.kjms.2016.08.011.

- 83. Ayres-de-Campos, D. FIGO consensus guidelines on intrapartum fetal monitoring: Cardiotocography / D. Ayres-de-Campos C.Y. Spong, E. Chandraharan // Int. J. Gynaecol. Obstet. 2015. Vol. 131, № 1. P. 13-24. doi: 10.1016/j.ijgo.2015.06.020.
- 84. Bajwa, S.K. Contemporary issues in the management of abnormal placentation during pregnancy in developing nations: An Indian perspective / B.S. Bajwa S.K. Singh // Int. J. Crit. Illn. Inj. Sci. − 2013. − Vol. 3, № 3. − P. 183-189. − doi: 10.4103/2229-5151.119197.
- 85. Bauer, S.T. Abnormal placentation / S.T. Bauer, C. Bonanno // Semin. Perinatol. 2009. Vol. 33, № 2. P. 88-96.
- 86. Belfort, M.A. Placenta accreta. Society for Maternal-Fetal Medicine / M.A. Belfort // Am. J. Obstet. Gynecol. 2010. Vol. 203. P. 430-439.
- 87. Cheung, C.S. The sonographic appearance and obstetrics management of placenta accrete / C.S. Cheung, B.S. Chan // Int. J. Womens Health. 2012. № 4. P. 587-594.
- 88. Clark, S.L. Placenta previa/accreta and prior cesarean section / S.L. Clark, P.P. Koonings, J.P. Phelan // Obstet. Gynecol. 1985. Vol. 66, № 1. P. 89-92.
- 89. Comstock, C.H. Antenatal diagnosis of placenta accrete: a review / C.H. Comstock // Ultrasound Obstet. Gynecol. 2005. Vol. 26, № 1. P. 89-96.
- 90. Comstock, C.H. The antenatal diagnosis of placenta accrete / C.H. Comstock, R.A. Bronsteen // BJOG. 2014. № 1. P. 171-181. doi: 10.1111/1471-0528. 12557.
- 91. Conservative management of invasive placenta using combined prophylactic internal iliac artery ballon occlusion and immediate postoperative uterine artery embolization / D.L. D'Souza, J.C. Kingdom, H. Amsalem [et al.] // Can. Assoc. Radiol. J. −2015. − Vol. 66, № 2. − P. 179-184. − doi: 10.1016/j.carj.2014.08.002.
- 92. Control of proliferation, migration, and invasiveness of human extravillous trophoblast by decorin, a decidual product / G. Xu, M.J. Guimond, C. Chakraborty, P.K. Lala // Biol. Reprod. − 2002. − Vol. 67, № 2. − P. 681-689. − doi: 10.1095/biolreprod67.2.681.

- 93. Diagnosis and morbidity of placenta accreta / T.F. Esakoff, T.N. Sparks, A.J. Kaimal [et al.] // Ultrasound Obstet. Gynecol. 2011. Vol. 37, № 3. P. 324-327. doi: 10.1002/uog.8827.
- 94. Differential expression of angiopoietin-1, angiopoietin-2, and Tie receptors in placentas from pregnancies complicated by placenta accreta / J.J. Tseng, S.L. Hsu, E.S. Ho [et al.] // Am. J. Obstet. Gynecol. 2006. Vol. 194, № 2. P. 564-571. doi: 10.1016/j.ajog.2005.07.012.
- 95. Differential expression of vascular endothelial growth factor, placenta growth factor and their receptors in placentae from pregnancies complicated by placenta accreta / J. Tseng, M.M. Chou, Y.T. Hsieh [et al.] // Placenta. 2006. Vol. 27, № 1. P. 70-78. doi: 10.1016/j.placenta.2004.12.011.
- 96. Does soluble fms-like tyrosine kinase-1 regulate placental invasion? Insight from the invasive placenta / K. McMahon, S.A. Karumanchi, I.E. Stillman [et al.] // Am. J. Obstet. Gynecol. − 2014. − Vol. 210, № 68. − P. 61-64. − doi: 10.1016/j.ajog. 2013.08.032.
- 97. Doumouchtsis, S.K. Systematic review of conservative management of postpartum hemorrhage: what to do when medical treatment fails / S.K. Doumouchtsis, A.T. Papageorghiou, S. Arulkumaran // Obstet. Gynecol. Surv. − 2007. − Vol. 62, № 8. − P. 540-547. − doi: 10.1097/01.ogx.0000271137.81361.93.
- 98. Down-regulation of soluble fms-like tyrosine kinase 1 expression in invasive placentation / S.A. Shainker, K. Dannheim, K.D. Gerson [et al.] // Arch. Gynecol. Obstet. 2017. Vol. 296, № 2. P. 257-262. doi: 10.1007/s00404-017-4432-7.
- 99. Effect of predelivery diagnosis in 99 consecutive cases of placenta accrete / C.R. Warshak, G.A. Ramos, R. Eskander [et al.] // Obstet. Gynecol. 2010. Vol. 115. P. 65-69. doi: 10.1097/AOG.0b013e3181c4f12a.
- 100. Effects of local decidua on trophoblast invasion and spiral artery remodeling in focal placenta creta an immunohistochemical study / T. Hannon, B.A. Innes, G.E. Lash [et al.] // Placenta. 2012. Vol. 33, № 12. P. 998-1004. doi: 10.1016/j.placenta.2012.09.004.

- 101. Elevated first trimester PAPP-A associated with increased risk of placenta accrete / N. Desai, D. Krantz, A. Roman [et al.] // Prenatal Diagnosis. 2014. Vol. 34. P. 159-162. doi: 10.1002/pd.4277.
- 102. Evaluation of sonographic diagnostic criteria for placenta accreta / H.S. Wong, Y.K. Cheung, J. Zuccollo [et al.] // J. Clin. Ultrasound. 2008. Vol. 36, № 9. P. 551-559. doi: 10.1002/jcu.20524.
- 103. Expression of angiopoietin-1, angiopoietin-2, and Tie2 genes in normal ovary with corpus luteum and in ovarian cancer / K. Hata, J. Udagawa, R. Fujiwaki [et al.] // Oncology. 2002. Vol. 62, № 4. P. 340-348. doi: 10.1159/000065066.
- 104. Expression of kallikrein, bradykinin b2 receptor, and endothelial nitric oxide synthase in placenta in normal gestation, preeclampsia, and placenta accreta / J. Corthorn, A.A. Germain, C. Chacon [et al.] // Endocrine. 2006. Vol. 29, № 3. P. 491-499.
- 105. FIGO consensus guidelines on placenta accreta spectrum disorders: Prenatal diagnosis and screening / E. Jauniaux, A. Bhide, A. Kennedy [et al.] // Int. J. Gynecol. Obstet. 2018. Vol. 140. P. 274-280. doi: 10.1002/ijgo.12408.
- 106. First trimester maternal serum biochemical markers of aneuploidy in pregnancies with abnormally invasive placentation / O. Thompson, C. Ogbah, A. Nnochiri [et al.] // Int. J. Obstet. Gynaecol. 2015. Vol. 122, № 10. P. 1370-1376. doi: 10.1111/1471-0528.13298.
- 107. First-trimester maternal serum pregnancy associated plasma protein-A and preeclampsia / L.C. Poon, N. Maiz, C. Valencia [et al.] // Ultrasound Obstet. Gynecol. 2009. Vol. 33, №1. P. 23-33. doi: 10.1002/uog.6280.
- 108. Florkowski, C.M. Sensitivity, Specificity, Receiver Operating Characteristic (ROC) Curves and Likelihood Ratios: Communicating the Performance of Diagnostic Tests / C.M. Florkowski // Clin. Biochem. Rev. 2008. Vol. 29, № 1. P. 83-87.
- 109. Hemochorial placentation in the primate: expression of vascular endothelial growth factor, angiopoietins, and their receptors throughout pregnancy / C. Wulff,

- H. Wilson, S.E. Dickson [et al.] // Biol. Reprod. 2002. № 66. P. 802-811. doi: 10.1095/biolreprod66.3.802.
- 110. Hung, T.H. Risk factors for placenta accreta / T.H. Hung, W.Y. Shau, C.C. Hsieh // Obstet. Gynecol. 1999. Vol. 93, № 4. P. 545-550. doi: 10.1016/s0029-7844(98)00460-8.
- 111. Incidence and risk factors for placenta accreta/increta/percreta in the UK: a national case-control study / K.E. Fitzpatrick, S. Sellers, P. Spark [et al.] // PLoS One. 2012. Vol. 7, № 12. P. e52893. doi: 10.1371/journal.pone.0052893.
- 112. Insulin-like growth factor binding protein 7 modulates estrogen-induced trophoblast proliferation and invasion in HTR-8 and JEG-3 cells / Z.K. Liu, H.Y. Liu, W.N. Fang [et al.] // Cell. Biochem. Biophys. 2012. Vol. 63, № 1. P. 73-84. doi: 10.1007/s12013-012-9342-5.
- 113. Irving, C. A study of placenta accreta / C. Irving, A.T. Hertig // Surg. Gynecol. Obstet. 1937. Vol. 38, № 6. P. 1088-1200.
- 114. Jauniaux, E. Placenta accreta: pathogenesis of a 20th century iatrogenic uterine disease / E. Jauniaux, D. Jurkovic // Placenta. − 2012. − Vol. 33, № 4. − doi: 10.1016/j.placenta.2011.11.010.
- 115. Khong, T.Y. Placenta creta and placenta praevia creta / T.Y. Khong, W.B. Robertson // Placenta. 1987. Vol. 8, № 4. P. 399-409. doi: 10.1016/0143-4004(87)90067-1.
- 116. Khong, T.Y. The pathology of placenta accreta, a world wide epidemic / T.Y. Khong // J. Clin. Pathol. 2008. Vol. 61, № 12. P. 1243-1246. doi: 10.1136/jcp.2008.055202.
- 117. Klar, M. Cesarean section and placental disorders in subsequent pregnancies A meta-analysis / M. Klar, K.B. Michels // J. Perinat. Med. 2014. Vol. 42, № 5. doi: 10.1515/jpm-2013-0199.
- 118. Liu, D.F. Pathologic findings in pregnancies with unexplained increases in midtrimester maternal serum human chorionic gonadotropin levels / D.F. Liu, L.H. Dickerman, R.W. Redline // Am. J. Clin. Pathol. 1999. Vol. 111, № 2. P. 209-215. doi: 10.1093/ajcp/111.2.209.

- 119. Maternal morbidity associated with multiple repeat cesarean Deliveries / R.M. Silver, M.B. Landon, D.J. Rouse [et al.] // Obstet. Gynecol. 2006. Vol. 107, № 6. P. 1226-1232. doi: 10.1097/01.AOG.0000219750.79480.84.
- 120. Maternal morbidity in cases of placenta accrete managed by a multidisciplinary care team compared with standard obstetric care / A.G. Eller, M.A. Bennett, M. Sharshiner [et al.] // Obstet. Gynecol. − 2011. − Vol. 117, № 2, Pt 1. − P. 331-337. − doi: 10.1097/aog.0b013e3182051db2.
- 121. Maternal serum markers, characteristics and morbidly adherent placenta in women with previa / D. Lyell, A. Faucett, R. Baer [et al.] // J. Perinatology. 2015. Vol. 35, № 8. P. 570-574. doi: 10.1038/jp.2015.40.
- 122. Maternal serum placental growth factor and pregnancy associated plasma protein A measured in the first trimester as parameters of subsequent pre-eclampsia and small-for-gestational-age infants: A prospective observational study / K.U. Sung, J.A. Roh, K.J. Eoh, E.H. Kim // Obstet. Gynecol. Sci. 2017. Vol. 60, № 2. P. 154-162. doi: 10.5468/ogs.2017.60.2.154.
- 123. Miller, D.A. Clinical risk factors for placenta previa-placenta accreta / D.A. Miller, J.A. Chollet, T.M. Goodwin // Am. J. Obstet. Gynecol. 1997. Vol. 177, № 1. P. 210-214. doi: 10.1016/s0002-9378(97)70463-0.
- 124. Mooney, E.E. Non-neoplastic maternal gestational diseases / E.E. Mooney, E.M. Doyle // Pathology of the female reproductive tract / G.L. Mutter, J. Prat. 3 ed. London: Churchill Livingstone Elsevier, 2014. P. 775-776.
- 125. Morbidity associated with cesarean delivery in the United States: is placenta accreta an increasingly important contributor? / A.A. Creanga, B.T. Bateman, A.J. Butwick [et al.] // Am. J. Obstet. Gynecol. 2015. Vol. 213, № 3. P. 384. el-11. doi: 10.1016/j.ajog.2015.05.002.
- 126. Morbidity associated with nonemergent hysterectomy for placenta accreta / M.S. Hoffman, R.A. Karlnoski, D. Mangar [et al.] // Am. J. Obstet. Gynecol. 2010. Vol. 202, № 6 P. 628. e1-5. doi: 10.1016/j.ajog.2010.03.021.
- 127. Morbidly adherent placenta treatments and outcomes / J.L. Bailit, W.A. Grobman, M.M. Rice [et al.] // Obstet. Gynecology. 2015. Vol. 125, № 3. P. 683-689.

- 128. Norwitz, E.R. Implantation and the survival of earlypre gnancy / E.R. Norwitz, D.J. Schust, S.J. Fisher // N. Engl. J. Med. 2001. Vol. 345, № 19. P. 1400-1408. doi: 10.1056/NEJMra000763.
- 129. Ohlsson, R. Growth factors, protooncogenes and human placental development / R. Ohlsson // Cell. Differ Dev. 1989. Vol. 28, № 1. P. 1-15. doi: 10.1016/0922-3371(89)90018-x.
- 130. Ott, J. Reliability and predictive value of sonography for placental invasion / J. Ott // The 18th World Congress on Controversies in Obstetrics, Gynecology and Infertility. Oct. 24-27, 2013. Vienna, 2013. P. 25.
- 131. Oyelese, Y. Placenta previa, placenta accreta, and vasa previa / Y. Oyelese, J.C. Smulian // Obstet. Gynecol. 2006. Vol. 107, № 4. P. 927-994. doi: 10.1097/01.AOG.0000207559.15715.98.
- 132. Palacios-Jaraquemada, JM. Buttock necrosis and paraplegia after bilateral internal iliac artery embolization for postpartum hemorrhage / J.M. Palacios-Jaraquemada // Obstet. Gynecol. − 2012. − Vol. 120, № 5. − P. 1210. − doi: 10.1097/aog.0b013e318271f931.
- 133. Palacios-Jaraquemada, J.M. Caesarean section in cases of placenta praevia and accreta / J.M. Palacios-Jaraquemada // Best. Pract. Res. Clin. Obstet. Gynaecol. 2013. Vol. 27, № 2. P. 221-232. doi: 10.1016/j.bpobgyn.2012.10.003.
- 134. Palacios-Jaraquemada, J.M. Efficacy of surgical techniques to control obstetric hemorrhage: analysis of 539 cases / J.M. Palacios-Jaraquemada // Acta Obstet. Gynecol. Scand. 2011. Vol. 90, № 9. P. 1036-1042. doi: 10.1111/j.1600-0412.2011.01176.x.
- 136. Partanen, J. Functions of Tie1 and Tie2 receptor tyrosine kinases in vascular development / J. Partanen, D. J. Dumont // Vascular growth factors and

- angiogenesis / ed. L. Claesson-Welsh. Berlin : Springer-Verlag, 1999. P. 159-172.
- 137. Placenta accreta: сохраняем матку. Опыт органосохраняющих операций при врастании плаценты / М.А. Курцер, Ю.Ю. Кутакова, И.Ю. Бреслав [и др.] // StatusPraesens. Гинекология, акушерство, бесплодный брак. 2013. Т. 14, № 3. С. 14-19.
- 138. Placenta accreta: an association with fibroids and Ashermansyndrome / A. Al-Serehi, A. Mhoyan, M. Brown [et al.] // J. Ultrasound Med. 2008. Vol. 27, № 11. P. 1623-1628.
- 139. Placenta accreta: imaging by gray-scale and contrast-enhanced color Doppler sonography and magnetic resonance imaging / P. Kirkinen, H.L. Helin-Martikainen, R. Vanninen [et al.] // J. Clin. Ultrasound. − 1998. − № 26. − P. 90-94. − doi: 10.1002/(sici)1097-0096(199802)26:2<90::aid-jcu7>3.0.co;2-d.
- 140. Placenta accreta is an independent risk factor for late pre-term birth and perinatal mortality / A. Vinograd, T. Wainstock, M. Mazor [et al.] // J. Matern. Neonatal Med. 2015. Vol. 28, № 12. P. 1381-1387. doi: 10.3109/14767058. 2014.955004.
- 141. Placenta accreta is associated with decreased decidual natural killer (dNK) cells population: a comparative pilot study / M. Laban, E.A. Ibrahim, M.S. Elsafty, A.S. Hassanin // Eur. J. Obstet. Gynecol. Reprod. Biol. 2014. Vol. 181. P. 284-288. doi: 10.1016/j.ejogrb.2014.08.015.
- 142. Placenta accreta is associated with elevated maternal serum alpha-fetoprotein / M.J. Kupferminc, R.K. Tamura, T.R. Wigton [et al.] // Obstet. Gynecol. 1993. Vol. 82, № 2. P. 266-269.
- 143. Placenta accreta is associated with IVF pregnancies: a retrospective chart review / E. Esh-Broder, I. Ariel, N. Abas-Bashir [et al.] // BJOG. 2011. Vol. 118, № 9. P. 1084-1089. doi: 10.1111/j.1471-0528.2011.02976.x.
- 144. Placenta accreta: mild cases diagnosed by placental examination / S.M. Jacques, F. Qureshi, V.S. Trent [et al.] // Int. J. Gynecol. Pathol. 1996. Vol. 15, № 1. P. 28-33. doi: 10.1097/00004347-199601000-00005.

- 145. Placenta accreta: Screening, management and complications / D. Hequet, A. Ricbourg, D. Sebbag [et al.] // Gynecol. Obstet. Fertilite. 2013. Vol. 41, № 1. P. 31-37. doi: 10.1016/j.gyobfe.2012.11.001.
- 146. Placenta Accreta Spectrum: A Review of Pathology, Molecular Biology, and Biomarkers / H.C. Bartels, J.D. Postle, P. Downey, D.J. Brennan. Text: electronic // Dis. Markers. 2018. № 3. 11 pages. URL: https://doi.org/10.1155/2018/1507674.
- 147. Placenta accreta summary of 10 Years: a Survey of 310 Cases / Y. Gielchinsky, N. Rojansky, S.J. Fasouliotis, Y. Ezra // Placenta. 2002. Vol. 23. P. 210-214. doi: 10.1053/plac.2001.0764.
- 148. Placenta Acereta/Percreta/Increta: A Cause of Elevated Maternal Serum Alpha–Fetoprotein / C. Zelop, A. Nadel, F. Frigoletto [et al.] // Obstet. Gynecol. 1992. Vol. 80, № 4. P. 693-694.
- 149. Placenta Praevia, Placenta Praevia Accreta and Vasa Praevia: Diagnosis and Management: (Green-top Guideline № 27) // Royal College of Obstetricians and Gynaecologists. Text: electronic. 2011. URL: https://www.rcog.org.uk/en/guidelines-research- services/guidelines/gtg27a/.
- 150. Placenta previa-accreta: risk factors and complications / I.M. Usta, E.M. Hobeika, A.A. Musa [et al.] // Am. J. Obstet. Gynecol. 2005. Vol. 193, № 3, Pt. 2 P. 1045-1049. doi: 10.1016/j.ajog.2005.06.037.
- 151. Placental bed spiral arteries in the hypertensive disorders of pregnancy / R. Pijnenborg, J. Anthony, D.A. Davey [et al.] // Br. J. Obstet. Gynaecol. 1991. Vol. 98, № 7. P. 648-655. doi: 10.1111/j.1471-0528.1991.tb13450.x.
- 152. Popek, E.J. Placenta accreta / E.J. Popek // Diagnostic pathology: placenta / A. Heerema-McKenney, E.J. Popek, M.E. De Paepe. 1st edition. Elsevier, 2015. P. 2-7.
- 153. Prediction of early, intermediate and late pre-eclampsia from maternal factors, biophysical and biochemical markers at 11-13 weeks / R. Akolekar, A. Syngelaki, R. Sarquis [et al.] // Prenat. Diagn. − 2011. − № 31. − P. 66-74. − doi:10.1002/pd.2660.

- 154. Prenatal diagnosis of placenta accreta: sonography or magnetic resonance imaging? / B.K. Dwyer, V. Belogolovkin, L. Tran [et al.] // J. Ultrasound Med. 2008. Vol. 27, № 9. P. 1275-1281. doi: 10.7863/jum.2008.27.9.1275.
- 155. Prenatal diagnosis of placental accrete and percreta with ultrasonography, color Doppler, and magnetic resonance imaging / P. Taipale, M.R. Orden, M. Berg [et al.] // Obstet. Gynecol. 2004. Vol. 104. P. 537-540. doi: 10.1097/01. AOG.0000136482.69152.7d.
- 156. Prenatal sonography can predict degree of placental invasion / K.M. Chalubinski, S. Pils, K. Klein [et al.] // Ultrasound Obstet. Gynecol. – 2013. – Vol 42. – P. 518-524. – doi: 10.1002/uog.12451.
- 157. Pro forma for ultrasound reporting in suspected abnormally invasive placenta (AIP): an international consensus / Z. Alfirevic, A.W. Tang, S.L. Collins [et al.] // Ultrasound Obstet. Gynecol. 2016. Vol. 47, Iss. 3. P. 276-278. doi: 10.1002/uog.15810.
- 158. Read, J.A. Placenta accreta: changing clinical aspects and outcome / J.A. Read, D.B. Cotton, F.C. Miller // Obstet. Gynecol. 1980. Vol. 56. P. 31-34.
- 159. Real increasing incidence of hysterectomy for placenta accreta following previous caesarean section / M. Higgins, C. Monteith, M. Foley, C. O'Herlihy // Eur. J. Obstet. Gynecol. Reprod. Biol. − 2013. − Vol. 171, № 1. − P. 54-56. − doi: 10.1016/j.ejogrb.2013.08.030.
- 160. Regulation of placental vascular endothelial growth factor (VEGF) and placenta growth factor (PIGF) and soluble Flt-1 by oxygen a review / A. Ahmed, C. Dunk, S. Ahmad, A. Khaliq // Placenta. 2000. Vol. 21, Suppl. A. P. 16-24. doi: 10.1053/plac.1999.0524.
- 161. Relationship between first trimester aneuploidy screening test serum analytes and placenta accreta / B. Büke, H. Akkaya, S. Demir [et al.] // J. Maternal-Fetal Neonatal Med. 2017. Vol. 31, № 1. P. 59-62.
- 162. Relationships between TGFbeta proteins and oxygen concentrations inside the first trimester human gestational sac / S. Muttukrishna, S. Suri, N. Groome, E. Jauniaux

- // PLoS One. 2008. Vol. 3, № 6. P. e2302. doi: 10.1371/journal.pone. 0002302.
- 163. Relaxin, its receptor (RXFP1), and insulin-like peptide 4 expression through gestation and in placenta accreta / W. Goh, S.Y. Yamamoto, K.S. Thompson, G.D. Bryant-Greenwood // Reprod. Sci. 2013. Vol. 20, № 8. P. 968-980. doi: 10.1177/1933719112472735.
- 164. Residents' teaching files. Prenatal diagnosis of placenta accreta with pathologic correlation / H. Kim, M.C. Hill, A.B. Winick, T. Shen // Radiographics. 1998. Vol. 18, № 1. P. 237-242. doi: 10.1148/radiographics.18.1.9460128.
- 165. Risk factors for placenta accreta / T.H. Hung, W.Y. Shau, C.C. Hsieh [et al.] // Obstet. Gynecol. 1999. Vol. 93, № 4. P. 545-550. doi: 10.1016/s0029-7844(98)00460-8.
- 166. Risk of uterine rupture and placenta accreta with prior uterine surgery outside of the lower segment / C. Gyamfi-Bannerman, S. Gilbert, M.B. Landon [et al.] // Obstet. Gynecol. 2012. Vol. 120, № 6. P. 1332-1337. doi: 10.1097/AOG. 0b013e318273695b.
- 167. Role of deciduas in trophoblastic invasion / M. Cohen, C. Wuillemin, O. Irion, P. Bischof // Neuro Endocrinol. Lett. 2010. Vol. 31, № 2. P. 193-197.
- 168. Role of three-dimensional power Doppler in the antenatal diagnosis of placenta accreta: comparison with gray-scale and color Doppler techniques / J.C. Shih, J.M. Palacios-Jaraquemada, Y.N. Su [et al.] // Ultrasound Obstet. Gynecol. 2009. Vol. 33, № 1. P. 193-203. doi: 10.1002/uog.6284.
- 169. Roles of microRNA-34a in the pathogenesis of placenta accreta / K. Umemura, S. Ishioka, T. Endo [et al.] // J. Obstet. Gynaecol. Res. 2013. Vol. 39, № 1. P. 67-74. doi: 10.1111/j.1447-0756.2012.01898.x.
- 170. Saving Lives, Improving Mothers' Care Lessons Learned to Inform Maternity Care from the UK and Ireland Confidential Enquiries into Maternal Deaths and Morbidity 2013-2015 / M. Knight, M. Nair, D. Tuffnell [et al.] Text: electronic. National Perinatal Epidemiology Unit. Oxford: University of Oxford, 2017. 104 p. URL: https://www.hqip.org.uk/national-programmes.

- 171. Second-trimester maternal serum alpha-fetoprotein and risk of adverse pregnancy outcome / T.G. Krause, P.Christens, J. Wohlfahrt [et al.] // Obstet. Gynecol. 2001. Vol. 97, № 2. P. 277-282. doi: 10.1016/s0029-7844(00)01109-1.
- 172. Second-trimester maternal serum markers and placenta accrete / S. Dreux, L.J. Salomon, F. Muller [et al.] // Prenat. Diagn. 2012. Vol. 32, № 10. P. 1010-1012. doi: 10.1002/pd.3932.
- 173. Silver, R.M. Implications of the first cesarean: perinatal and future reproductive health and subsequent cesareans, placentation issues, uterine rupture risk, morbidity, and mortality / R.M. Silver // Semin. Perinatol. − 2012. − Vol. 36, № 5. − P. 315-323. − doi: 10.1053/j.semperi.2012.04.013.
- 174. Surgical management of placenta accreta: a cohort series and suggested approach / T. Angstamm, G. Gard, T. Harrington [et al.] // Am. J. Obstet. Gynecol. 2010. Vol. 202. P. 38-39.
- 175. Tantbirojn, P. Pathophysiology of placenta creta: the role of deciduas and extravillous cytotrophoblast / P. Tantbirojn, C.D. Crum, M.M. Parast // Placenta. 2008. Vol. 29, № 7. P. 639-645. doi: 10.1016/j.placenta.2008.04.008.
- 176. Temporary prophylactic intravascular balloon occlusion of the common iliac arteries before cesarean hysterectomy for controlling operative blood loss in abnormal placentation / M.M. Chou, H.F. Kung, J.I. Hwang [et al.] // Taiwan. J. Obstet. Gynecol. − 2015. − Vol. 54, № 5. − P. 493-498. − doi: 10.1016/j.tjog. 2014.03.013.
- 177. The fms-like tyrosine kinase, a receptor for vascular endothelial growth factor / C. De Vries, J. Escobedo, H. Ueno [et al.] // Science. 1992. Vol. 255. P. 989-991. doi: 10.1126/science.1312256.
- 178. The Increasing Trend in Caesarean Section Rates: Global, Regional and National Estimates: 1990-2014 / A.P. Betran, J. Ye, A.-B. Moller [et al.] Text: electronic // PLoS One. 2016. Vol. 11, № 2. URL: https://doi.org/10.1371/journal.pone. 0148343.
- 179. The management and outcomes of placenta accreta, increta, and percreta in the UK: a population-based descriptive study / K.E. Fitzpatrick, S. Sellers, P. Spark

- [et al.] // Int. J. Obstet. Gynaecol. 2014. Vol. 121, № 1. P. 62-71. doi: 10.1111/1471-0528.12405.
- 180. Transverse uterine fundal incision for placenta praevia with accreta, involving the entire anterior uterine wall: A case series / F. Kotsuji , K. Nishijima , T. Kurokawa [et al.] // Int. J. Obstet. Gynaecol. 2013. Vol. 120, № 9. P. 1144-1149.
- 181. Tseng, J.J. Differential Expression of Growth-, Angiogenesis- and Invasion-Related Factors in The Development of Placenta Accreta / J.J. Tseng, M.M. Chou // Taiwan. J. Obstet. Gynecol. 2006. Vol. 45, № 2. P. 100-106. doi: 10.1016/S1028-4559(09)60205-9.
- 182. Uhrin, P. uPAR: A modulatorof VEGF-induced angiogenesis / P. Uhrin, J.M. Breuss // Cell. Adh. Migr. 2013. Vol. 7, №1. P. 23-26. doi: 10.4161/cam.22124.
- 183. Ultrasound examination of the placenta: Placenta accreta / A. Flesher, F. Mening, F. Jeanty, R. Romero // Sonography in obstetrics and gynecology: Theory and practice. 6 ed. Ch. 1. Moscow.: Dom Vidar, 2005. P. 231-233.
- 184. Unexplained elevated maternal serum α-fetoprotein and/or human chorionic gonadotropin and the risk of adverse outcomes / S. Chandra, H. Scott, L. Dodds [et al.] // Am. J. Obstet. Gynecol. 2003. Vol. 189. № 3. P. 775-781.
- 185. Usefulness of transverse fundal incision method of cesarean section for women with placentas widely covering the entire anterior uterine wall / R. Nishida, T. Yamada, R. Akaishi [et al.] // J. Obstet. Gynaecol. Res. 2013. Vol. 39, № 1. P. 91-95. doi: 10.1111/j.1447-0756.2012.01921.x.
- 186. Uszycski, W. Placenta accreta: epidemiology, molecular mechanism (hypothesis) and some clinical remarks / W. Uszycski, M. Uszycski // Ginekol. Pol. 2004. Vol. 75, № 12. P. 971-978.
- 187. VEGF, its receptors and the Tie receptors in recurrent miscarriage / P. Vuorela, O. Carpen, M. Tulppala, E. Halmesmaki // Mol. Hum. Reprod. 2000. № 6. P. 276-282. doi: 10.1093/molehr/6.3.276.
- 188. Verma, P. To study analyze maternal serum alpha-fetoprotein as a biomarker of placental adherence in low lying placenta / P. Verma, K.N. Singh, V. Ghanghoriya

- // Int. J. Reprod. Contracept. Obstet. Gynecol. 2016. Vol. 5, № 6. P. 1959-1963. doi: 10.18203/2320-1770.ijrcog20161698.
- 189. Williams obstetrics / G. Cunningham, K. Leveno, S. Bloom [et al.]. 23 ed. McGraw-Hill, 2010. 341 p.
- 190. Wu, S. Abnormal placentation: Twenty-year analysis / S. Wu, M. Kocherginsky, J. U. Hibbard // Am. J. Obstet. Gynecol. 2005. Vol. 192, № 5. P. 1458-1461. doi: 10.1016/j.ajog.2004.12.074.